

(19) საქართველოს  
ინტელექტუალური  
საკუთრების  
ეროვნული ცენტრი  
საქართველო



(11) GE P 2013 5931 B

(10) AP 2013 12280 A  
(51) Int. Cl. (2006)  
**C 07 K 16/00**  
**C 07 K 16/28**  
**C 07 K 16/46**  
**A 61 K 39/395**  
**A 61 P 35/00**

(12) გამოგონებაზე პატენტის აღმოჩენისას

(21) AP 2009 12280  
(31) IB2008/055664; 61/184,406  
(44) 2013 06 25 №12  
(85) 2011 07 01

(22) 2009 12 02  
(32) 2008 12 02; 2009 06 05  
(45) 2013 10 10 №19  
(86) PCT/EP 2009/066205, 2009 12 02

(24) 2009 12 02  
(33) IB; US

(73) პიერ ფაბრ მედიკამენტ (FR)  
45, პლას აბელ განს, 92100 ბულონ-  
ბილანჯური (FR)  
(72) ლილიან გოეთშ (FR);  
ტიერი ვურშ (FR)  
(74) გიორგი მეიფარიანი

(56) 1. DALL'ACQUA W.F., et al.,  
"Modulation of the effector  
functions of a human IgG1 through  
engineering of its hinge region",  
JOURNAL OF IMMUNOLOGY,  
AMERICAN ASSOCIATION OF  
IMMUNOLOGISTS, US, 2006,  
vol. 177, no. 2, pages 1129-1138;  
2. WO 2006/116260 (MEDIMMUNE  
INC (US)), 02.11.2006.

(54) მონოკლონური ანტისხეულის ანტაბონისტური აძლიერების

(57) მოცემულია IgG1 მონოკლონური ანტისხეულის ანტაბონისტური აქტივ-  
ობის გაუმჯობესების ხერხი, რომელიც ითვალისწინებს ანტისხეულის სახს-  
რული უბნის რეკონფიგურაციის ეტაპს, რომელიც ხორციელდება სახსრული  
უბნის ამინომჟავური თანამიმდევრობის მოდიფიკაციის გზით.

მუხლები: 3 დამოუკიდებელი  
6 დამოკიდებული

ფიგურა: 17

GE P 2013 5931 B

## gamogonebaze patentis aRweril oba

წინამდებარე გამოგონება ეხება ანტისეულების ინჟინერიის სფეროს და უფრო ზუსტად, ანტისეულების სკრინინგის და/ან ანტისეულების აგონისტური/ანტაგონისტური აქტივობის მოდულაციის ხერხს. უფრო ზუსტად, გამოგონება ეხება მონოკლონური ანტისეულის, ან მისი ორგალენტიანი ფუნქციური ფრაგმენტის ან მისი წარმოებულის ანტაგონისტური აქტივობის მოდულაციის ხერხს გენეტიკური ინჟინერიის მეშვეობით. გამოგონება ასევე ეხება პოლიპეპტიდებს, რომლებიც გამოსადეგია მოდულაციის ასეთი ხერხისათვის და მიღებული ანტისეულებისათვის.

ტერმინები “ანტისეული”, “ანტისეულები” ან “იმუნოგლობულინი” გამოყენებულია ურთიერთშენაცვლებადად ფართო გაგებით და შეიცავს მონოკლონურ ანტისეულებს (მაგ., სრული სიგრძის ან ინტაქტურ მონოკლონურ ანტისეულებს), პოლიკლონურ ანტისეულებს, მრავალგალენტიან ანტისეულებს ან მრავალსპეციფიკურ ანტისეულებს (მაგ., ბისპეციფიკურ ანტისეულებს, რამდენადაც ისინი ამჟღავნებენ საჭირო ბიოლოგიურ აქტივობას).

უფრო ზუსტად, ასეთ მოლეკულას შეესაბამება გლიკოპროტეინი, რომელშიც შედის, სულ მცირე, ორი მძიმე (H) ჯაჭვი და ორი მსუბუქი (L) ჯაჭვი, რომლებიც ურთიერთდაკავშირებულია დისულფიდური ბმებით. თითოეული მძიმე ჯაჭვი შეიცავს მძიმე ჯაჭვის ვარიაბელურ უბანს (ან დომენს) (აქ აღინიშნება აბრევიატურით HCVR ან VH) და მძიმე ჯაჭვის მუდმივ უბანს. მძიმე ჯაჭვის მუდმივ უბანში შედის სამი დომენი: CH1, CH2 და CH3. თითოეული მსუბუქი ჯაჭვი შეიცავს მსუბუქი ჯაჭვის ვარიაბელურ უბანს (აქ აღინიშნება აბრევიატურით LCVR ან VL) და მსუბუქი ჯაჭვის მუდმივ უბანს. მსუბუქი ჯაჭვის მუდმივ უბანში შედის ერთი დომენი CL. შესაძლებელია VH და VL უბნების დამატებით დაყოფა პიპერვარიაბელურ ქვეუბნებად, ე.წ. კომპლექნტარულობის განმსაზღვრელ უბნებად (CDR), რომელთა შორის ჩართულია უფრო დაცული, ე.წ. კარკასული უბნები (FR). თითოეული VH და VL შედგება სამი CDR და ოთხი FR უბნისგან, რომლებიც განლაგებულია ამინოჯგუფიანი ბოლოდან კარბოქსილჯგუფიან ბოლომდე შემდეგი რიგით: FR1, CDR1, FR2, CDR2, FR3, CDR3, FR4. მძიმე და მსუბუქი

ჯაჭვების ვარიაბელური უბნები შეიცავს ბმის (მაკავშირებელ) დომენს, რომელიც ანტიგენთან ურთიერთმოქმედებს. ანტისეულების მუდმივ უბნებს შეუძლია მედიატორობა გაუწიოს იმუნოგლობულინის ბმას მასპინძელ ქსოვილებთან ან ფაქტორებთან, რომლებშიც იმუნური სისტემის სხვადასხვა უჯრედები (მაგ., ეფექტორული უჯრედები) და კლასიკური კომპლემენტი სისტემის პირველი კომპონენტი (Clq) შედის.

იმუნოგლობულინების მძიმე ჯაჭვები შეიძლება დაიყოს სამ ფუნქციურ უბნად: Fd უბნად, სახსრულ უბნად, Fc უბნად (კრისტალიზებადი ფრაგმენტი). Fd და Fc უბნების მაკავშირებელია დრეკადი სახსრული უბანი. Fd უბანი შედგება VH და CH1 დომენებისაგან და მსუბუქ ჯაჭვთან ერთად ქმნის Fab – ანტიგენ-მბმელ ფრაგმენტს. Fc ფრაგმენტი პასუხისმგებელი არის იმუნოგლობულინის ეფექტორულ ფუნქციებზე, რომლებშიც შედის, მაგალითად, კომპლემენტის ფიქსაცია და ბმა მონათესავე Fc რეცეპტორებთან ეფექტორული უჯრედებისა. იმუნოგლობულინის IgG, IgA და IgD კლასებში აღმოჩენილი სახსრული უბანი მოქმედებს დრეკადი შუასადების მაგვარად, რაც საშუალებას აძლევს Fab ნაწილს თავისუფლად გადაადგილდეს სივრცეში Fc უბნის მიმართ. მუდმივი უბნების საპირისპიროდ, სახსრული დომენი სტრუქტურულად განსხვავებულია და იცვლება როგორც თანამიმდევრობის, ისე სიგრძის მიხედვით იმუნოგლობულინების კლასებსა და ქვეკლასებს შორის.

კრისტალოგრაფიური გამოკვლევების თანახმად, იმუნოგლობულინის სახსრული უბანი შეიძლება სტრუქტურულად და ფუნქციურად დამატებით დაყოფილ იქნეს სამ ქვეუბნად: ზედა სახსრად, ცენტრალური და ქვედა სახსრად (Shin et al., Immunological Reviews 130:87, 1992). ზედა სახსარში შედის ამინომჟავები CH1-ის კარბოქსილბოლოდან, სახსარში მოძრაობის შემზღვეველ პირველ ნაშთამდე, მირითადად პირველ ცისტეინის ნაშთამდე, რომელიც ქმნის ორ მძიმე ჯაჭვს შორის ჯაჭვთაშორის დისულფიდურ ბმას. ზედა სახსარის სიგრძეზე არის დამოკიდებული ანტისეულის სეგმენტური დრეკადობა. ცენტრალური სახსარის უბანი შეიცავს მძიმე ჯაჭვთაშორის დისულფიდურ ხიდებს. ქვედა სახსარის უბანი ესაზღვრება CH2 დომენის ამინო ტერმინალურ ბოლოს და შეიცავს მის ნაშთებს. ადამიანის IgG1-ის ცენტრალური სახსრული უბანი შეიცავს Cys-Pro-Pro-Cys (ცისტეინი-პროლინი-

პროლინი-ცისტეინი) თანამიმდევრობას, რომლის დისულფიდური ბმების ფორმირების საშუალებით დიმერიზაციის შედეგად მიიღება ციკლური ოქტაპეპტიდი, რომელიც მიაჩნიათ, რომ მოქმედებს როგორც ბრუნვის დერმი და ამრიგად უზრუნველყოფს იმუნოგლობულინის დრეკადობას. კონფორმაციულმა ცვლილებებმა, რომლებიც დაშვებულია იმუნიგლობულინის სახსრული უბნის პოლიპეპტიდური თანამიმდევრობის სტრუქტურისა და დრეკადობის გამო, შეიძლება რომ გავლენა მოახდინონ ანტისხეულის Fe ნაწილის ეფექტორულ ფუნქციებზე.

ზოგადად, თაგვის წარმომავლობის მონოკლონური ანტისხეულების ან მათი ფუნქციური ფრაგმენტების დასამზადებლად შეიძლება მივმართოთ ტექნიკას, კერძოდ, რომელიც აღწერილია სახელმძღვანელოში “ანტისხეულები” (Harlow and Lane, Antibodies: A Laboratory Manual, Cold Spring Harbor Laboratory, Cold Spring Harbor NY, pp. 726, 1988) ან ჰიბრიდომებიდან დამზადების ტექნიკას, რომელიც აღწერილია Kohler-ის და Milstein-ის მიერ (Nature, 256:495-497, 1975). ამის შემდეგ, შესაძლებელია, მაგალითად, მონოკლონური ანტისხეულების გასუფთავება აფინური ქრომატოგრაფის სვეტში, რომელშიც წინასწარ არის იმობილიზებული აღნიშნული მონოკლონური ანტისხეულების მიერ სპეციფიკურად ამოცნობილი ეპიტოპის შემცველი საინტერესო რეცეპტორი ან მისი ერთ-ერთი ფრაგმენტი. უფრო ზუსტად, მონოკლონური ანტისხეულები შეიძლება გასუფთავებულ იქნეს ქრომატოგრაფიით პროტეინ A-ზე და/ან G-ზე, რასაც შეიძლება მოხდევდეს ან არ მოხდევდეს იონური-მიმოცვლის ქრომატოგრაფია, რომლის მიზანია ნარჩენი პროტეინებით, ასევე *ان�* და LPS-ით დაბინძურების გამორიცხვა. ამას თავისთავად მოჰყვება ან არ მოჰყვება ელიმინაციური ქრომატოგრაფია Sepharose გელზე, რათა გამორიცხულ იქნეს დიმერების ან სხვა მულტიმერების თანამყოფობით განპირობებული პოტენციალური აგრეგატები. უფრო უპირატესად, მთელი ეს ტექნიკა შეიძლება გამოყენებულ იქნეს ერთდროულად ან თანამიმდევრობით.

მოცემული გამოგონების მიხედვით, ანტისხეულის ფუნქციური ფრაგმენტი, არის ანტისხეულის ფრაგმენტები, როგორიცაა Fv, scFv (sc აღნიშნავს ერთ ჯაჭვიანს), Fab, F(ab')<sub>2</sub>, Fab', scFv-Fc ფრაგმენტები ანუ დიმერები, ან ნებისმიერი ფრაგმენტი, რომლის სიცოცხლის ხანგრძლივობის ნახევარპერიოდი გაზრდილ იქნა ქიმიური მოდიფიკაციის შედეგად,

როგორიცაა პოლი(ალკილენ)გლიკოლის, მაგალითად, პოლი(ეთილენ)გლიკოლის დამატება (“PEGილირება”) (პეგილირებულ ფრაგმენტებს აღნიშნავენ Fv-PEG, scFv-PEG, Fab-PEG, F(ab')<sub>2</sub>-PEG ან Fab'-PEG) (“PEG” პოლი(ეთილენ)გლიკოლის აღსანიშნავად), ან აღნიშნული ფრაგმენტების, რომლებსაც გააჩნია, საწყისი ანტისხეულის მახასიათებელი CDR-ებიდან, სულ მცირე, ერთი მაინც, ლიპოსომში ჩადგმის შედეგად.

უპირატესად, ეს ფუნქციური ფრაგმენტები არის Fv, scFv, Fab, F(ab')<sub>2</sub>, Fab', scFv-Fc ტიპის ანუ დიმერები, რომლებსაც ძირითადად ბმის იგივე სპეციფიკურობა გააჩნია, რაც იმ ანტისხეულს, რომლისგანაც ისინი წარმოიშვა. მოცემული გამოგონების მიხედვით, გამოგონებით მოცემული ფრაგმენტების მიღება შესაძლებელია ზემოაღწერილი ანტისხეულების ენზიმებით, როგორიცაა პეპსინი ან პაპაინი, დამუშავების მეთოდით და/ან დისულფიდური ხიდების გახლებით ქიმიური ალდგენის საშუალებით. გამოგონებაში შემავალი ანტისხეულის ფრაგმენტების სხვაგვარად მიღება შესაძლებელია გენეტიკური რეკომბინაციის მსგავსი მეთოდების გამოყენებით, რომლებიც კარგად არის ცნობილი დარგის სპეციალისტებისათვის, ან პეპტიდების სინთეზის საშუალებით, მაგალითად, პეპტიდის ავტომატური სინთეზატორების საშუალებით, რომლების მოწოდება ხდება კომპანიის Applera-ს მიერ.

ტერმინი “ანტაგონისტი” აქ აღნიშნავს მოლეკულას, რომელსაც გააჩნია სამიზნე მოლეკულის ერთი ან მეტი ბიოლოგიური აქტივობის ინპიბირების უნარი, როგორიცაა უჯრედგარე ან ტრანსმემბრანული რეცეპტორი. ანტაგონისტებს შეუძლიათ იმოქმედონ ლიგანდოან რეცეპტორის ბმის ხელისშემლის საშუალებით და პირიქით, რეცეპტორის ფოსფორილების დაქვეითების საშუალებით და/ან ლიგანდით აქტივირებული მკვლელი უჯრედების გაუვნებელყოფით. ანტაგონისტს შეუძლია მთლიანად დაბლოკოს რეცეპტორ-ლიგანდის ურთიერთქმედებები ან არსებითად შეასუსტოს ასეთი ურთიერთქმედებები კონკურენციის, კონფორმაციის ცვლილების ან ქვემოთკენ რეგულირების საშუალებით. ანტაგონისტის ინტერვენციის ყველა ეს სახეობა მოცემული გამოგონების მიზნებისათვის ეპივალენტურებად უნდა იქნეს განხილული.

ტერმინი “აგონისტი” აქ გამოყენებულია აღსანიშნავად ნებისმიერი ნაერთის, პროტეინის, პოლიპეპტიდის, პეპტიდის, ანტისხეულის, ანტისხეულის

ფრაგმენტის, კონიუგატის, დიდი მოლეკულის, მცირე ზომის მოლეკულის, რომლებსაც გააჩნია სამიზნე მოლეკულის ერთი ან მეტი ბიოლოგიური აქტივობის აქტივაციის უნარი.

თერაპიული ანტისხეულების კვლევებში ხშირად გულისხმობენ, შეძლებისდაგვარად, ანტაგონისტური ანტისხეულების მიღებას.

ანტაგონისტი ანტისხეულების კლასიკური მაგალითებია Herceptin, Pertuzumab, Cetuximab, ანტი-VEGFR ან ანტი-IGF-1R ანტისხეულები.

განსაკუთრებულ ნიმუშად შეიძლება აღნიშნულ იქნეს ანტი-cMet 5D5 ანტისხეული, წარმოქმნილი Genentech-ის [WO 96/38557] მიერ, რომელიც სხვადასხვა მოდელებში ცალკე დამატებისას იქცევა როგორც ძლიერი აგონისტი. ამ ტექნიკური პრობლემის მოსაგვარებლად საჭირო გახდა გენური ინჟინერიის საშუალებით ამ ანტისხეულის Fab ფრაგმენტად ანუ მონოვალენტურ ანტისხეულად (ერთ-მხარიან 5D5-ად) გადაქცევა იმისათვის, რომ მას ანტაგონისტური აქტივობის უნარი შეეძინა. ამის შედეგად, ასეთი ანტისხეული არ შეიძლება განხილულ იქნეს როგორც ანტისხეული, არამედ ითვლება ფრაგმენტად და არ ავლენს “სრული ანტისხეულის” ფორმატისათვის დამახასიათებელ ყველა უპირატესობას (არავითარი ეფექტორული ფუნქციები, შემცირებული კლირენსი და არსებობის ნახევარპერიოდი [2-ჯერ უფრო მცირე, ვიდრე აქვთ ტრადიციულ ორვალენტიან ანტისხეულებს, როგორც აღწერილი იყო Poster 411-ში მე20 EORTC-NCI-AACR სიმპოზიუმზე, უნევა, ოქტომბერი 21-24, 2008]).

დარგის სპეციალისტებისათვის ცნობილია, რომ ეფექტორულ ფუნქციებში შედის, მაგალითად, C1q ბმა; კომპლემენტდამოკიდებული ციტოტოქსიკურობა; Fc რეცეპტორის ბმა; ანტისხეულზე-დამოკიდებული უჯრედ-მედიატორობით განხორციელებული ციტოტოქსიკურობა (ADCC); ფაგოციტოზი; და უჯრედის ზედაპირის რეცეპტორების (მაგ., B უჯრედის რეცეპტორის; BCR) ქვემოთკენ რეგულირება და არსებობის ნახევარპერიოდის გახანგრძლივება გადარჩენის რეცეპტორის მაკავშირებელი ლიგანდის (FcRn) ჩართვით, როგორც აღწერილია, მაგალითად, U.S. Patent No. 5,739,277-ში, გაცემულს 1998 წლის 14 აპრილს.

მოცემული გამოგონების, ერთ-ერთი ასპექტია ასეთი ტექნიკური პრობლემების გადაჭრა, ე.ო. ანტისეულის ანტაგონისტური აქტივობის გაუმჯობესება, “სრული ორვალენტიანი” ფორმატის შენარჩუნებით.

უნდა აღნიშნულ იქნეს აქ, რომ გამოგონების გამოყენება შესაძლებელია “ჰუმანური თაგვების” (გენეტიკურად მოდიფიცირებული თაგვები, რომლების საშუალებითაც იწარმოება ადამიანის იმუნოგლობულინები) იმუნიზაციის მოცემული გამოგონების შედეგად მიღებული ადამიანის ანტისეულების აგონისტური/ანტაგონისტური აქტივობის მოდულირებისათვის ან ფაგების დისპლეი-ტექნიკის გამოყენებით სრული ანტისეულების აგებისათვის, არჩეული scFv, Fab ან ნებისმიერი სხვა, ეკვივალენტური ფრაგმენტებიდან.

სხვა კლასიკური ტექნიკური პრობლემა შეიძლება შეგვხდეს თაგვის ანტისეულის ქიმერიზაციის და/ან ჰუმანიზაციის პროცესში. დარგის სპეციალისტებისათვის კარგად არის ცნობილი, რომ თუ თაგვის ანტისეულის ქიმერიზაციის და/ან ჰუმანიზაციის პროცესი სავსებით იოლია თეორიულად, ადვილი არ არის თაგვის ასეთი ანტისეულის ქიმერიზაციის და/ან ჰუმანიზაციის წარმართვა ყველა საწყისი თავისებურების ან ნაწილის დაკარგვის გარეშე. ქიმერულმა ან ჰუმანიზებულმა ანტისეულმა შესაძლოა დაკარგოს მისი ADCC, CDC, ანტაგნისტურ/აგონისტური, ბმის, (TBC) ... აქტივობები. მოცემული გამოგონებისათვის განსაკუთხებულ ინტერესს წარმოადგენს თაგვის ანტისეულის აგონისტური/ანტაგონისტური აქტივობის მოდიფიკაცია ქიმერიზაციის და/ან ჰუმანიზაციის პროცესის შემდეგ.

განსაკუთრებულ ნიმუშად შეიძლება მოყვანილ იქნეს ანტი-c-Met ანტისეულების ნაკრები, რომლებიც ამის შემდეგ აღწერილი იქნება როგორც 224G11, 2274H1 და 11E1, რომლებიც ძლიერი ანტაგონისტური თვისების თაგვის ანტისეულები იყო და ნაწილობრივი აგონისტები გახდა ადამიანის IgG1 ფორმატზე ქიმერიზაციის შემდეგ. ძლიერი ანტაგონისტებიდან ნაწილობრივი აგონისტებისაკენ ეს წანაცვლება გამოიხატა *in vivo* აქტივობის სრულ დაკარგვაში ქსენოტრანსპლანტაციურ მოდელებში.

მოცემული გამოგონების მიზანია ამ პრობლემების გადაჭრა და იგი განსაკუთრებით ეხება სპეციფიკური სამიზნე მოლეკულის წინააღმდეგ მიმართული მონოკლონური ანტისეულის, ან მისი ორვალენტიანი ფუნქციური ფრაგმენტის ან წარმოებულის ანტაგონისტური აქტივობის გაუმჯობესების პროცესს, ამასთან აღნიშნულ ანტისეულს გააჩნია აღნიშნული სამიზნე

მოლეკულის ერთი ან მეტი ბიოლოგიური აქტივობის ინჰიბირების უნარი, ხოლო აღნიშნულ პროცესში შედის ანტისეეულის სახსრული უბნის რეკონფიგურაციის ეტაპი, რომელიც შეიცავს აღნიშნული სახსრული უბნის ამინომჟავების თანამიმდევრობის მოდიფიკაციას, სულ მცირე, ერთი მაინც ამინომჟავას დელეციის, დამატების ან ჩანაცვლების საშუალებით.

ნათელია, რომ გამოთქმა “ანტაგონისტური აქტივობის გაუმჯობესება” უნდა ინტერპრეტირებულ იქნეს ყველაზე ფართო გაგებით, ე.ო. როგორც სასურველი შედეგის მიღება. მექანიკურად, ასეთი შედეგის მიღება შესაძლებელია ანტისეეულის დამახასიათებელი ანტაგონისტური აქტივობის გაუმჯობესების და/ან არსებული აგონისტური აქტივობის შემცირების საშუალებით.

უფრო ზუსტად, ტერმინების ძირითადი განსაზღვრებები რაოდენობრივ ფარმაკოლოგიაში დაფუძნებულია განახლებულ რეკომენდაციებზე, რომლებიც მოცემულია International Union of Pharmacology (IUPHAR) Committee on receptor Nomenclature (იხილეთ Neubig et al., 2003)-ში.

ტერმინი “აგონისტი” აღნიშნავს ლიგანდს (ნებისმიერი ტიპის მოლეკულას), რომელიც ბმაში შედის რეცეპტორთან და ცვლის რეცეპტორის მდგომარეობას, რაც გამოიხატება მის სტიმულატორულ ან გაზრდილ ბიოლოგიურ რეაქციაში. აგონისტებს შეუძლიათ სრული აგონისტებივით ან ნაწილობრივი აგონისტებივით მოქმედება:

- სრული აგონისტი: როდესაც აგონისტის მიერ ინდუცირებული რეცეპტორის გაღიზიანება აღწევს სისტემისათვის დამახასიათებელი რეაქციის უნარის მაქსიმუმს, მაშინ მიიღება სისტემის მაქსიმალური რეაქცია და აგონისტი არის სრული აგონისტი ამ სისტემაში. რამოდენიმე აგონისტმა შესაძლებელია რომ გამოამჟღავნოს ერთნაირი მაქსიმალური რეაქცია, მაშინ ისინი ყველა არის სრული აგონისტი ამ ექსპერიმენტულ სისტემაში.

- ნაწილობრივი აგონისტი: არის მოლეკულა, რომელიც მოცემულ ქსოვილში, სპეციფიკურ პირობებში, ვერ ამჟღავნებს დიდ ზეგავლენას (იმ შემთხვევაშიც კი, როდესაც გამოყენებულია ისეთი მაღალი კონცენტრაციით, რომ ყველა რეცეპტორი უნდა იყოს დაკავებული), როგორიც შეუძლია გამოავლინოს იგივე სისტემაში იმავე რეცეპტორების საშუალებით მოქმედმა სრულმა აგონისტმა. ნაწილობრივი აგონისტები, ძირითადად, ნაწილობრივი ანტაგონისტებიც არიან, ვინაიდან სრული აგონისტის თანამყოფობისას ისინი

ამცირებენ აღნიშნული სრული აგონისტის მაქსიმალურ რეაქციას საკუთარ მაქსიმალურ რეაქციამდე. სრული და ნაწილობრივი აგონისტის ეს განსაზღვრა სისტემა-დამოკიდებულია და ერთ სისტემაში ან ერთი გაზომვის დროს სრული აგონისტი შეიძლება ნაწილობრივი აგონისტი იყოს სხვა სისტემაში.

ტერმინი “ანტაგონისტი” აღნიშნავს მოლეკულას, რომელიც ასუსტებს სხვა სამკურნალო საშუალების, ძირითადად აგონისტის, მოქმედებას. მრავალი ანტაგონისტი იმავე რეცეპტორის მაკრომოლეკულაზე მოქმედებს, რაც აგონისტი.

- ანტაგონიზმის ეფექტურობა შეიძლება რომ იყოს სრული იქ, სადაც სისტემის რეაქცია ანტაგონისტისა და აგონისტის თანამყოფობისას შეესაბამება ამ სისტემის ბაზალურ (ნებისმიერი ლიგანდის გარეშე) აქტივობას.

- ანტაგონისტი შეიძლება მოქმედებდეს როგორც ნაწილობრივი ანტაგონისტი, როდესაც მაქსიმალური ინჰიბირება (იმ შემთხვევაშიც კი, როდესაც გამოყენებულია ისეთი მაღალი კონცენტრაციით, რომ ყველა რეცეპტორი უნდა იყოს დაკავებული ამ ანტაგონისტით), გამომჯდავნებული ანტაგონისტისა და აგონისტის თანამყოფობის საშუალებით, სისტემის ბაზალურ აქტივობაზე მეტია.

- ანტაგონიზმი შეიძლება იყოს კონკურენტული, როდესაც აგონისტისა და ანტაგონისტის ბმა ურთიერთგამომრიცხავია. ეს შეიძლება მოხდეს იმის გამო, რომ აგონისტი და ანტაგონისტი კონკურირებს ერთი და იგივე ადგილისათვის ან გაერთიანებულად ერთმანეთის გადამფარავ მომიჯნავე ადგილებისათვის. მესამე შესაძლებლობა იმაში მდგომარეობს, რომ ჩართული არის ბმის სხვადასხვა ადგილები, მაგრამ ისინი ისე მოქმედებს რეცეპტორის მაკრომოლეკულაზე, რომ აგონისტ და ანტაგონისტ მოლეკულებს არ შეუძლიათ ერთი და იმავე დროს ბმა.

არაკონკურენტულ ანტაგონიზმს ადგილი აქვს, როდესაც აგონისტს და ანტაგონისტს შეუძლიათ რეცეპტორთან ერთდროულად ბმა; ანტაგონისტის ბმა ამცირებს ან ხელს უშლის აგონისტის მოქმედებას აგონისტის ბმაზე რაიმე გავლენით ან მის გარეშე.

დელეციის, დამატების ან ჩანაცვლების განხორციელება შესაძლებელია კლასიკურად, დარგის სპეციალისტისათვის ცნობილი ნებისმიერი ხერხით.

დარგის სპეციალისტებმა მოცემულ ძნთ-ის თანამიდევრობაში დამატებების, დელეციებისა და ინსერციების წარმოსაქმნელად შეიძლება რომ გამოიყენონ რამოდენიმე მეთოდი. შეზღუდვების გარეშე, შეიძლება აღინიშნოს ძნთ-ის ნაწილობრივი დამუშავება პანკრეატული ძნთse I-ით, ძნთ-ის ნაწილობრივი დამუშავება რესტრიკციის ენზიმებით, ლინკერ-დაფუძნებული ჩართვების მუტანტები, დელეციების ჩართული სიმრავლის მუტანტები BAL31 ნუკლეაზას, ძნთse I ან უზონუკლეაზა III გამოყენებით. ეს მეთოდები ყოველმხრივ არის აღწერილი ლაბორატორიულ სახელმძღვანელოებში, როგორიცაა Molecular Cloning, A Laboratory manual (Sambrook, Fritsch and Maniatis). ძნთ მოლეკულაში დელეციების, ინსერციების ან ადგილზე-მიმართული მუტაგენეზის განხორციელებისათვის ასევე შეიძლება გამოყენებულ იქნეს PCR-დაფუძნებული მეთოდები, როგორიცაა გადაფარვა-გაფართოებული PCR (Wurch et al., 1998), და ეს მეთოდები ამით არ შემოიფარგლება. ადგილზე მიმართული მუტაგენეზის განხორციელებისათვის შესაძლებელია რამოდენიმე სხვა ხერხის გამოყენებაც, მაგალითისათვის და არა შეზღუდვის მიზნით, შეიძლება დასახელებულ იქნეს ოლიგონუკლეოტიდ-დაფუძნებული მუტაგენეზი, რომელიც ეფუძნება ერთ- ან ორმაგი-პრაიმერის მეთოდებს, Kunkel-ის მეთოდი, რომელიც დაფუძნებულია ურაცილის ჩართვაზე (Kunkel, 1985). ეს მეთოდები დეტალურად არის აღწერილი ლაბორატორიულ სახელმძღვანელოებში, როგორიცაა Molecular Cloning, A Laboratory manual (Sambrook, Fritsch and Maniatis).

დამატების არაშემზღდველ მაგალითად შეიძლება დასახელებულ იქნეს პროლინის დამატება სახსრულ უბანში ან მის მიმდებარედ.

გამოგონებით მოცემული პროცესის უპირატესი განხორციელების ნიმუშში აღნიშნული მოდიფიკაცია არჩეულია:

- i) აღნიშნული სახსრული უბნის ამინომჟავების თანამიმდევრობის, სულ მცირე, ერთი მაინც ამინომჟავას დელეციიდან; და/ან
- ii) აღნიშნულ სახსრულ უბანში, სულ მცირე, ერთი მაინც დისულფიდური ხიდის დამატებიდან.

გამოგონების ნათლად განმარტების მიზნით, პირველ რიგში დეტალიზებული იქნება პირველი ასპექტი (i), ხოლო შემდეგ მეორე (ii) ასპექტი. გასაგები უნდა იყოს, რომ ასეთი რიგითობა მხოლოდ ფორმალურია

და ორივე ეს ასპექტი ერთნაირი მნიშვნელობისაა, რაც ცხადი გახდება ამის შემდეგ.

განსაკუთრებულ განხორციელების ნიმუშში სახსრული უბნის ამინომჟავების თანამიმდევრობის მოდიფიცირების გზა მდგომარეობს აღნიშნული სახსრული უბნის ამინომჟავების თანამიმდევრობის, არა უმეტეს, ვიდრე 2, 3 ან 4 ამინომჟავას დელეციაში.

გამოგონების განსაკუთრებული ასპექტი იმაში მდგომარეობს, რომ აღნიშნული მონოკლონური ანტისხეული ორგალენტიანი ანტისხეულია. რეალურად, როგორც ქვემოთ იქნება ნაჩვენები, შესაძლებელია ანტისხეულის აგონისტური/ანტაგონისტური აქტივობის მოდულაცია აღნიშნული ანტისხეულის სტრუქტურის მოდულაციის საშუალებით. ჯერ გადმოცემული იქნება ასეთი აგონისტური/ანტაგონისტური აქტივობის მოდულაციის ორიგინალური გზა ანტისხეულის ორგალენტიანი ფორმის იმავდროული შენარჩუნებით, რისი მიზანია ისეთი სასარგებლო თვისებების შენარჩუნება, როგორიცაა არსებობის ხანგრძლივობის დიდი ნახევარპერიოდი ან ეფექტორული ფუნქციები.

აქ შეიძლება ასევე აღნიშნულ იქნეს, რომ იმ შემთხვევაში, თუ დარგში უკვე მოხსენიებული იყო ეფექტორული ფუნქციების გაზრდის მიზნით სახსრული უბნის მოდიფიკაციის შესახებ, პირიქით, მონოკლონური ანტისხეულის აგონისტური/ანტაგონისტური აქტივობის მოდულაციის მიზნით სახსრული უბნის მოდიფიკაციის შესახებ არსად არასდროს არ ყოფილა მოხსენიებული. ეს აშკარად მოცემული გამოგონების საგანია, რომელიც სრულიად ახალია დარგში.

გამოგონებით მოცემული პროცესის ერთი ასპექტის მიხედვით, მონოკლონური ანტისხეული არის ქიმიურული ანტისხეული.

“ქიმერული” ანტისხეული ისეთი ანტისხეულია, რომელიც შეიცავს მოცემული სახეობის ანტისხეულიდან მიღებულ ბუნებრივ ვარიაბელურ (მსუბუქი ჯაჭვი და მძიმე ჯაჭვი) უბანს, აღნიშნული მოცემული სახეობის ჰეტეროლოგიური სახეობის (მაგ., თაგვის, ცხენის, ბოცვერის, ძალლის, ძროხის, წიწილის და ა.შ.) მსუბუქი და მძიმე ჯაჭვის მუდმივ უბნებთან კომბინაციაში.

გამოგონების მიხედვით ქიმერული ტიპის ანტისხეულების ან მათი ფრაგმენტების დამზადება შესაძლებელია გუნდტიკური რეკომბინაციის

ტექნიკის გამოყენებით. მაგალითად, ქიმიური ანტისხეული შეიძლება წარმოებულ იქნეს რეკომბინანტული ძნო-ის კლონირებით, რომელიც შეიცავს პრომოტორს და თანამიმდევრობას, რომლითაც კოდირებულია გამოგონებით მოცემული არაჰიდროკარბონი, კერძოდ, თაგვის მონოკლონური ანტისხეულის ვარიაბელური უბანი, და თანამიმდევრობას, რომლითაც კოდირებულია ადამიანის ანტისხეულის მუდმივი უბანი. ასეთი რეკომბინანტული გენით კოდირებული გამოგონებით მოცემული ქიმიური ანტისხეული იქნება, მაგალითად, თაგვი-ადამიანის ქიმერა და ამ ანტისხეულის სპეციფიკურობა განისაზღვრება თაგვის ძნო-იდან მიღებული ვარიაბელური უბნით, ხოლო მისი იზოტიპი განისაზღვრება ადამიანის ძნო-იდან მიღებული მუდმივი უბნით. რაც შეეხება ქიმიური ანტისხეულების დამზადების მეთოდებს, ამისათვის შეიძლება მივმართოთ დოკუმენტებს Verhoeven et al. (BioEssays, 8:74, 1988), Morrison et al. (Proc. Natl. Acad. Sci. USA 82:6851-6855, 1984) ან US Patent No. 4,816,567.

გამოგონებით მოცემული პროცესის მეორე ასპექტის მიხედვით, მონოკლონური ანტისხეული არის ჰუმანიზებული ანტისხეული.

“ჰუმანიზებული ანტისხეული” ისეთი ანტისხეულია, რომელიც შეიცავს CDR უბნებს, მიღებულს არაჰიდროკარბონი წარმომავლობის ანტისხეულიდან, ხოლო ანტისხეულის მოლექულის სხვა ნაწილები წარმოებულია ერთი (ან რამოდენიმე) ადამიანის ანტისხეულებიდან ან ჩანასახის ხაზის თანამიმდევრობებიდან. გარდა ამისა, შესაძლებელია ანტისხეულის ჩონჩხის სეგმენტების (ე.წ. FR) ზოგიერთი ნაშთის მოდიფიცირება, რათა შენახულ იქნეს გმის აფინურობა (Jones et al., Nature, 321:522-525, 1986; Verhoeven et al., Science, 239:1534-1536, 1988; Riechmann et al., Nature, 332:323-327, 1988).

გამოგონების მიხედვით ჰუმანიზებული ანტისხეულების ან მათი ფრაგმენტების დამზადება შესაძლებელია დარგის სპეციალისტებისათვის ცნობილი ხერხებით (როგორიცაა, მაგალითად, აღწერილი დოკუმენტში Singer et al., J. Immun. 150:2844-2857, 1992; Mountain et al., Biotechnol. Genet. Eng. Rev., 10:1-142, 1992; ან Bebbington et al., Bio/Technology, 10:169-175, 1992).

ჰუმანიზაციის სხვა მეთოდი, რომელიც ცნობილია დარგის სპეციალისტებისათვის, არის “CDR დამყნობის” მეთოდი, რომელიც აღწერილია Protein Design Lab (PDL) მიერ, პატენტის განაცხადებში EP 0 451 216,

EP 0 682 040, EP 0 939 127, EP 0 566 647 ან US 5,530,101, US 6,180,370, US 5,585,089 და US 5,693,761. შეიძლება ასევე აღინიშნოს მომდევნო პატენტის გამნაცხადებიც: US 5,639,641; US 6,054,297; US 5,886,152 და US 5,877,293.

გამოგონებით მოცემული პროცესის კიდევ სხვა ასპექტის მიხედვით, მონოკლონური ანტისხეული არის ადამიანის ანტისხეული.

ტერმინში “ადამიანის ანტისხეული” შედის ყველა ანტისხეული, რომელსაც გააჩნია ერთი ან მეტი ვარიაბელური და მუდმივი უბანი, რომელიც წარმოებულია ადამიანის იმუნოგლობულინის თანამიმდევრობებიდან. გამოგონების უპირატესი განხორციელების ნიმუშში ყველა ვარიაბელური და მუდმივი დომენები (ან უბნები) წარმოებულია ადამიანის იმუნოგლობულინის თანამიმდევრობიდან (ადამიანის სრული ანტისხეული). სხვა სიტყვებით რომ ვთქვათ, მასში შედის ყველა ანტისხეული, რომელსაც გაანია ვარიაბელური და მუდმივი უბნები (თუ გააჩნია), რომლებიც ნაწარმოებია ადამიანის ჩანასახის ხაზის იმუნოგლობულინის თანამიმდევრობებიდან, ე.ო. რომელსაც გააჩნია თანამიმდევრობა, შესაბამისი ადამიანის მიერ ნაწარმოები ანტისხეულის ამინომჟავების თანამიმდევრობისა და/ან დამზადებულია დარგის სპეციალისტებისათვის ცნობილი ადამიანის ანტისხეულების დამზადების ნებისმიერი ტექნიკის გამოყენებით.

ერთ-ერთ განხორციელების მაგალითში ადამიანის მონოკლონური ანტისხეულები ნაწარმოებია ჰიბრიდომას საშუალებით, რომელიც შეიცავს B უჯრედს, მიღებულს ტრანსგენული ცხოველისაგან, გარდა ადამიანისა, მაგალითად, ტრანსგენული თაგვისაგან, რომელსაც გააჩნია გაუკვდავებულ უჯრედთან შერწყმული ადამიანის მძიმე ჯაჭვის ტრანსგენი და მსუბუქი ჯაჭვის ტრანსგენი.

ასეთი ტრანსგენული თაგვის მაგალითად შეიძლება აღნიშნულ იქნეს XENOMOUSE<sup>TM</sup>, რომელიც წარმოადგენს გენური ინჟინერიის საშუალებით გამოყვანილი თაგვის შტამს. იგი შეიცავს ადამიანის იმუნოგლობულინის ლოკუსების დიდ ფრაგმენტებს და იგი არასრულყოფილია თაგვის ანტისხეულების საწარმოებლად (Green et al., 1994, Nature Genetics, 7:13-21). XENOMOUSE<sup>TM</sup>-ის საშუალებით ხდება მოზრდილი ადამიანის სრული ანტისხეულების მთელი რეპერტუარის წარმოება და ადამიანის მონოკლონური ანტიგენ-სპეციფიკური ანტისხეულების წარმოქმნა. XENOMOUSE<sup>TM</sup>-ის მეორე

თაობა შეიცავს ადამიანის ანტისხეულების რეპერტუარის დაახლოებით 80%-ს (Green & Jakobovits, 1998, J. Exp. Med., 188:483-495).

გამოგონებით მოცემული ადამიანის ანტისხეულების წარმოქმნისათვის შესაძლებელია აგრეთვე დარგის სპეციალისტებისათვის ცნობილი ნებისმიერი სხვა ტექნიკის, როგორიცაა, მაგალითად, ფაგების დისპლეი, გამოყენებაც.

გამოგონებით მოცემული პროცესის გამოყენება შესაძლებელია სახსრული უბნის შემცველი ნებისმიერი ტიპის იმუნოგლობულინებისათვის, ე.ო. IgA, IgD და IgG-თვის.

მაგალითისათვის, IgA იზოტიპისათვის IgA1-ის სახსრული უბანი შეიცავს ამინომჟავების თანამიმდევრობას PSTPPTPSPTPPTPSPS (SEQ ID NO. 8) და IgA2-ის სახსრული უბანი შეიცავს თანამიმდევრობას PPPPP (SEQ ID No. 9).

ამის მსგავსად, IgD-ს სახსრული უბანი შეიცავს ამინომჟავების თანამიმდევრობას SPKAQASSVPTAQPQAEGSLAKATTAPATTRNTRGGEEKKKEK EKEEQERETKTP (SEQ ID No. 10).

გამოგონების განსაკუთრებული განხორციელების ნიმუშად უპირატესია IgG-ს გამოყენება, IgG1, IgG2, IgG3 ან IgG4-ის ჩათვლით.

IgG-ის სხვადასხვა იზოტიპის სახსრული უბნის შესაბამისი ამინომჟავების თანამიმდევრობებია:

PKSCDKTHTCPPCP (SEQ ID No. 11) IgG1-თვის,

RKCCVECPPCP (SEQ ID No.7) IgG2-თვის,

LKTPLFTGDTTHTCPRCPEPKSCDTPPPCPRCPEPKSCDTPPPCPRCPEPKSCDT PPPCPRCP (SEQ ID No. 12) IgG3-თვის, და

SKYGPPCPSCP (SEQ ID No. 13) IgG4-თვის.

კიდევ უფრო უპეტესია უპირატესად IgG1-ის გამოყენება. თერაპიული ანტისხეულების სფეროში, და უფრო ზუსტად კი კიბოს სამკურნალოდ, უპირატესია IgG1-ის წარმოქმნა ისეთი ეფექტორული ფუნქციების მისაღებად, როგორიცაა ADCC და CDC, სამიზნე ანტიგენთან სპეციფიკურ ბმასთან დაკავშირებულ ფუნქციებთან ერთად.

გამოგონებით მოცემული პროცესი განსხვავდება იმით, რომ აღნიშნული მონოკლონური ანტისხეული არის IgG1.

“სამიზნე მოლეკულა”, გამოგონების მიხედვით, არის ნებისმიერი მოლეკულა, რომელთანაც მონოკლონურ ანტისხეულს შეუძლია

სპეციფიკურად ბმა ან მისი აქტივობის მოდულაცია. ზოგადად, ასეთ სამიზნე მოლეკულას შეიძლება “ანტიგენი” ეწოდოს.

სამიზნე მოლეკულის არაშემზღვდავ მაგალითად შეიძლება აღნიშნულ იქნეს ხსნადი ლიგანდები, რეცეპტორები, როგორიცაა ტრანსმემბრანული რეცეპტორები, კიბოს მემბრანული მარკერები და ა.შ.

გამოგონების უპირატესი განხორციელების ნიმუშში აღნიშნული სამიზნე მოლეკულა არის ტრანსმემბრანული რეცეპტორი.

გამოთქმა “ტრანსმემბრანული რეცეპტორი” ეხება ისეთ პროტეინს, რომელიც კრცელდება უჯრედის პლაზმის მემბრანაში უჯრედგარე პროტეინის დომენით, რომელსაც ლიგანდთან ბმის უნარი გააჩნია, და უჯრედშიგა დომენით, რომელსაც ლიგანდის ბმისას აქტივობის (როგორიცაა პროტეინ კინაზა) ცვლილების (ან ზრდის ან შემცირების) უნარი გააჩნია. სხვა სიტყვებით რომ ვთქვათ, ტრანსმემბრანული რეცეპტორები არის ინტეგრალური მემბრანული პროტეინები, რომლებიც იმყოფება და ჩვეულებრივ მოქმედებს უჯრედის პლაზმის მემბრანის შიგნით, მაგრამ ასევე სუბუჯრედულ ნაწილებისა და ორგანელების მემბრანებში. მემბრანის ერთ მხარეზე მასიგნალებელ მოლეკულასთან, ან ზოგჯერ ასეთი მოლეკულების წყვილთან ბმისას, ტრანსმემბრანული რეცეპტორი ინიცირებს რეაქციას მეორე მხარეზე. ამ გზით ისინი ასრულებენ უნიკალურ და მნიშვნელოვან როლს უჯრედოვან კომუნიკაციებში და სიგნალების გადაცემაში.

მრავალი ტრანსმემბრანული რეცეპტორი შედგება ორი ან მეტი პროტეინული სუბერთულისგან, რომლებიც კოლექტიურად მოქმედებს და შეუძლიათ დისოციაცია ლიგანდების ბმის, მოცილების ან მათი “აქტივაციის” ციკლის სხვა ეტაპებზე. მათი კლასიფიკაცია ხშირად ხდება მათი მოლეკულური სტრუქტურის საფუძველზე ან, რადგანაც მათი სტრუქტურა დეტალურად უცნობია, ზოგი რეცეპტორის გამოკლებით, მათ ჰიპოთეზურ (ზოგჯერ ექსპერიმენტულად დადასტურებული) მემბრანის ტოპოლოგიის საფუძველზე. არის ნაწინასწარმეტყველები, რომ უმარტივესი რეცეპტორის პოლიპეტიდური ჯაჭვები მხოლოდ ერთხელ ჰქვეთს ლიპიდურ ბიფენას, მაშინ როცა სხვები არანაკლებ ვიდრე შვიდჯერ (ეგრეთწოდებული G-პროტეინთან ბმული რეცეპტორები ან GPCR-ები) და მეტადაც.

ნებისმიერი ინტეგრალური მემბრაბული პროტეინის მსგავსად, ტრანსმემბრანული რეცეპტორი შეიძლება დაიყოს სამ ნაწილად, ანუ

დომენებად, უჯრედგარე დომენად, ტრანსმემბრანულ დომენად და უჯრედშიგა დომენად.

უჯრედგარე დომენი არის რეცეპტორის ის ნაწილი, რომელიც გამოშვერილია მემბრანიდან უჯრედის ან ორგანელას გარეთ. თუ რეცეპტორის პოლიპეპტიდური ჯაჭვი რამოდენიმეჯერ ჰქვეთს ბიფენას, მაშინ გარე დომენი შეიძლება შეიცავდეს მემბრანიდან გამოშვერილ რამოდენიმე “მარყუჯს”. განსაზღვრის მიხედვით, რეცეპტორის მთავარი ფუნქციაა სპეციფიკური ლიგანდის ამოცნობა და რეაგირება, მაგალითად, ნეიროტრანსმიტერის ან ჰორმონის (თუმცა, ზოგი რეცეპტორი რეაგირებს ასევე ტრანსმემბრანული პოტენციალის ცვლილებაზეც), ხოლო მრავალ რეცეპტორში ეს ლიგანდები უკავშირდება უჯრედგარე დომენს.

იმ რეცეპტორების უმრავლესობის შემთხვევაში, რომლების სტრუქტურა დამტკიცებულია, ტრანსმემბრანული ალფა სპირალები წარმოადგენს ტრანსმემბრანული დომენების უმეტესობას. ზოგიერთი რეცეპტორის შემთხვევაში, როგორიცაა ნიკოტინის აცეტილქოლინის რეცეპტორი, ტრანსმემბრანული დომენი ქმნის მემბრანაში გამავალ პროტეინ-ამოგებულ ფორს ანუ იონურ არხს. შესაფერის ლიგანდთან ბმის საშუალებით უჯრედგარე დომენის აქტივაციისას, ფორი იონებისათვის გასავალი ხდება და ისინი მასში გაივლიან. სხვა რეცეპტორებში ფიქრობენ, რომ ტრანსმემბრანული დომენები ბმისას განიცდიან კონფორმაციულ ცვლილებებს, რაც გავლენას ახდენს უჯრედის შიგნით მდგომარეობაზე. ზოგიერთ რეცეპტორებში, როგორიცაა 7TM სუპეროჯახის წევრები, ტრანსმემბრანული დომენი შეიძლება შეიცავდეს ლიგანდის ბმის ჯიბეს.

რეცეპტორის უჯრედშიგა (ან ციტოპლაზმური) დომენი ურთიერთქმედებს რა უჯრედის ან ორგანელას შიგა ნაწილთან, უზრუნველყოფს სიგნალის გადაცემას. არსებობს ამ ურთიერთქმედების ფუნდამენტალურად განსხვავებული ორი გზა: ა) უჯრედშიგა დომენი სპეციფიკური პროტეინ-პროტეინ ურთიერთქმედებების საშუალებით უპაგშირდება უფერტორ პროტეინებს, რომლებიც თავის მხრივ აგზავნიან სიგნალს მასიგნალებელი ჯაჭვის გასწვრივ დანიშნულების ადგილას, და ბ) ენზიმ-დაგაგშირებული რეცეპტორებით უჯრედშიგა დომენს გააჩნია ენზიმატური აქტივობა. ხშირად ეს არის ტიროზინკინაზას აქტივობა.

ენზიმატურ აქტივობას შეიძლება ასევე ადგილი ჰქონდეს უჯრედშიგა დომენთან ასოცირებულ ენზიმზე.

უჯრედისათვის არსებობს ტრანსმემბრანული დომენის რეგულირების რამოდენიმე გზა. მათი უმეტესობა მოქმედებს უჯრედშიგა დომენის მეშვეობით. ყველაზე მნიშვნელოვანი გზებია ფოსფორილება და ინტერნალიზაცია (იხილეთ უბიკვიტინი) ან მეორადი მესენჯერ კასკადების, როგორიცაა cAMP, IP, Ca<sup>2+</sup> ან cGMP, აქტივაცია.

ყველა მემბრანული პროტეინი, რომელიც ამჟღავნებს ენზიმატურ აქტივობას, შეიძლება გახდეს გამოგონებით აღწერილი მოდიფიკაციების მქონე ანტისეულების სამიზნე. მაგალითისათვის და არა შეზღუდვის მიზნით, შეიძლება აღნიშნულ იქნეს მატრიცულ მეტალოპროტეაზას (MMP) ოჯახი, დეზინტეგრინის და მეტალოპროტეაზას დომენის პროტეაზას (ADAM) ოჯახი, ადენილატ ციკლაზები, ...

ყველა მემბრანული პროტეინი, რომლებიც მოქმედებს როგორც იონური არხები, ფორები და ტრანსპორტერები, შეიძლება იყოს წინამდებარე გამოგონებაში აღწერილი მოდიფიკაციების მქონე ანტისეულების სამიზნე. მაგალითისათვის და არა შეზღუდვის მიზნით, შეიძლება დასახელებულ იქნეს ნატრიუმის არხების ოჯახი, კალიუმის არხების ოჯახი, ნიკოტინის აცეტილქოლინის რეცეპტორის ოჯახი, სიგმა რეცეპტორები, მონოამინის ტრანსპორტერის ოჯახი.

უფრო ფართოდ შეიძლება აღინიშნოს, რომ ყველა მემბრანული პროტეინი, რომელიც კი იდენტიფიცირებულია როგორც მოცემული დაავადების მარკერი, ასევე შეიძლება გახდეს ანტისეულებით მეურნალობის სამიზნე და ეს ანტისეულებიც ასევე შეიძლება რომ გაუმჯობესებულ იქნეს გამოგონებაში აღწერილი მოდიფიკაციების საშუალებით.

გამოგონების უპირატესი განხორციელების ნიმუშში აღნიშნული ტრანსმემბრანული რეცეპტორი არჩეულია ჯგუფიდან, რომელშიც შედის: ტიროზინკინაზას რეცეპტორი, ტეტრასპანინი და GPCR-ები.

უფრო უპირატეს განხორციელების ნიმუშში აღნიშნული ტრანსმემბრანული რეცეპტორი არის ტიროზინკინაზას რეცეპტორი, რომელიც უპირატესად არჩეულია ჯგუფიდან, რომელშიც შედის IGF-1R, c-Met, RON, Ax1, VEGF, VEGFR, Her-2neu, ErbB ოჯახის ჰომოდიმერები და ჰეტეროდიმერები და ა.შ.

მოცემულ განაცხადში, და უფრო ზუსტად მომდევნო სპეციფიკაციაში, თანამიმდევრობები განსაზღვრული იქნება IMGT-ს მიხედვით. IMGT-ს ნუმერაციის უნიკალური სისტემა განსაზღვრულია ნებისმიერი ანტიგენის რეცეპტორის ვარიაბელური დომენის, ჯაჭვის ტიპის ან სახეობების შედარებისათვის [Lefranc M.-P. Immunology Today 18, 509 (1997); Lefranc M.-P., The Immunologist, 7, 132-136 (1999); Lefranc M.-P., Pommie, C., Ruiz, M., Giudicelli, V., Foulquier E., Truong, L., Thouvenin-Contet V. and Lefranc, Dev. Comp. Immunol., 27, 55-77 (2003)]. IMGT-ს უნიკალური ნუმერაციით შენახულ ამინომჟავებს ყოველთვის ერთი და იგივე პოზიცია აქვთ, მაგალითად, ცისტეინ 23 (1<sup>st</sup>-CYS), ტრიფტოფან 41 (CONSERVED-TRP), ჰიდროფობული ამინომჟავა 89, ცისტეინ 104 (2<sup>nd</sup>-CYS), ფენილალანინი ან ტრიფტოფანი 118 (J-PHE ან J-TRP). IMGT-ს ნუმერაციის უნიკალური სისტემა უზრუნველყოფს კარკასული უბნების (FR1-IMGT: პოზიციები 1-დან 26-მდე, FR2-IMGT: 39-დან 55-მდე, FR3-IMGT: 66-დან 104-მდე და FR4-IMGT: პოზიციები 118-დან 128-მდე) და კომპლექსულობის განმსაზღვრელი უბნების: CDR1-IMGT: 27-დან 38-მდე, CDR2-IMGT: 56-დან 65-მდე და CDR3-IMGT: 105-დან 117-მდე, სტანდარტიზებული საზღვრების განსაზღვრას. ვინაიდან შუალედები (ცარიელი ადგილები) დაუკავებელ პოზიციებს აღნიშნავს, CDR-IMGT სიგრძეები (რომლებიც მოცემულია ფრჩხილებს შორის და გამოყოფილია წერტილებით, მაგალითად, [8.8.13]), კრიტიკულ ინფორმაციად გვევლინება. IMGT უნიკალური ნუმერაცია გამოყენებულია 2D გრაფიკულ წარმოდგენებში, რომლებსაც IMGT-ს Colliers de Perles-მარგალიტის ყელსაბამს უწოდებენ [Ruiz, M. and Lefranc, M.-P., Immunogenetics, 53, 857-883 (2002); Kaas, Q. and Lefranc, M.-P., Current Bioinformatics, 2, 21-30 (2007)] და 3D სტრუქტურებში, IMGT/3Dstructure-DB [Kaas, Q., Ruiz, M. and Lefranc, M.-P., T cell receptor and MHC structural data. Nucl. Acids. Res., 32, D208-D210 (2004)].

დარგის სპეციალისტებს შეუძლიათ IMGT სისტემის მიხედვით აღწერილი გამოგონების ტრანსპონირება ნუმერაციის ნებისმიერ სხვა სისტემაში, როგორიცაა, მაგალითად, Kabat-ის ნუმერაციის სისტემა.

IMGT-ს ნუმერაციის უნიკალური სისტემა ყველა სახეობის IG და TR V-REGION-თვის ეფუძნება ვარიაბელური უბნის სტრუქტურის მაღალ კონსერვაციას. ამ ნუმერაციით შექმნილია, დარეგულირების შემდეგ, 5 000-ზე

მეტი თანამიმდევრობა, მხედველობაშია მიღებული და გაერთიანებულია კარკასული (FR) და კომპლემენტარულობის განმსაზღვრელი (CDR) უბნები, სტრუქტურული მონაცემები, X-სხივებით დიფრაქციული კვლევებიდან და ჰიპერვარიაბელური მარყუების მახასიათებლები. განსაზღვრულ იქნა FR-IMGT და CDR-IMGT საზღვრები. მსგავსად ამისა, IMGT-ს ნუმერაციის უნიკალური სისტემა გამოყენებულ იქნა C-DOMAIN-თვის და Ig-მსგავს დომენების ზუსტი დელიმიტაციის (საზღვრების განსაზღვრის) საშუალებას იძლევა. იმუნოგლობულინის (IG) ტიპისგან დამოკიდებულებით, C-DOMAIN (C-დომენი) შეესაბამება სრულ C-REGION-ს (C-უბანს), C-უბნის უმეტესობას ან მხოლოდ C-უბნის ნაწილს.

IMGT ნუმერაცია C-DOMAIN-თვის (IG და TR) ნაწარმოებია როგორც IMGT-ს უნიკალური ნუმერაცია V-DOMAIN-თვის, პრინცეპსიდან IMGT-ს უნიკალური ნუმერაციისა V-REGION-თვის (უბნისათვის), 104 პოზიციამდე. ამიტომ, ადვილად არის შესაძლებელი ამინომჟავების პოზიციების შედარება C-DOMAIN-ს (დომენს) და V-DOMAIN (დომენს) შორის.

სახსრული უბნების ზუსტი განლაგების მიზნით, C-დომენისათვის IMGT ნუმერაცია გამოყენებულ იქნა CH1 და CH2 დომენების ზუსტი განლაგებისათვის. სახსრული უბანი შეიცავს ყველა ამინომჟავას ნაშთს IMGT-CH1 ბოლო ნაშთსა და IMGT-CH2 პირველ ნაშთს შორის.

მოცემულ გამოგონებაში ჩართულია აგრეთვე ერთი და იგივე სახსრული დომენის გადამფარავი ყველა სხვა ნუმერაციის სქემები, როგორიცაა Kabat-ის ან A. Honegger-ის.

როგორც გამოგონების უპირატესი განხორციელების ნიმუში, ზემოაღწერილი IMGT ნუმერაციის სისტემაზე დაყრდნობით, IgG1-ის სახსრული უბნის ამინომჟავების თანამიმდევრობა შეიცავს ნაშთებს H1-დან H14-მდე, სეგმენტით H1-დან H9-მდე, რომელიც შეესაბამება ზედა სახსრულ უბანს და სეგმენტით H10-დან H14-მდე, რომელიც შეესაბამება ცენტრალურ სახსრულ უბანს. უფრო ზუსტად, ადამიანის IgG1-ის სახსრული უბანი შეიცავს ამინომჟავების თანამიმდევრობას PKSCDKTHTCPPCP (SEQ ID No. 11), ხოლო თაგვის IgG1-ის სახსრული უბანი შეიცავს ამინომჟავების თანამიმდევრობას PRDCGCKPCICT (SEQ ID No. 14).

## ცხრილი 1

სახსრული უბანი	ნუმერაცია	ადამ.-IgG1 (SEQ ID No.11)	თაგვ.-IgG1 (SEQ ID No.14)	ადამ.-IgG1 (SEQ ID No.7)	ადამ.-IgG1 (SEQ ID No.11)
ზედა სახსარი	H1	P	P	-	-
	H2	K	R	R	S
	H3	S	D	K	K
	H4	C	C	C	Y
	H5	D	G	-	-
	H6	K	-	-	-
	H7	T	C	C	G
	H8	H	K	V	P
	H9	T	P	E	P
ცენტრალური სახსარი	H10	C	C	C	C
	H11	P	I	P	P
	H12	P	-	P	S
	H13	C	C	C	C
	H14	P	T	P	P

გამოგონების უპირატეს განხორციელებაში განხილულია მოდიფიკაცია, რომელიც მიზნად ისახავს იმ პროტეინული თანამიმდევრობის სიგრძის შემცირებას, რომელითაც კოდირებულია ორგალენტიანი ანტისხეულის სახსრული უბანი. უფრო ზუსტად, გამოგონებით მოცემული პროცესი შეიცავს სახსრულ უბანში, სულ მცირე, ერთი მაინც ამინომჟავას დელეციის ეტაპს.

როგორც აღნიშნული იყო, აღნიშნულ სახსრულ უბანში უპირატესია არაუმეტეს ვიდრე 2 ამინომჟავას დელეცია.

როგორც აღნიშნული იყო, აღნიშნულ სახსრულ უბანში უპირატესია არაუმეტეს ვიდრე 3 ამინომჟავას დელეცია.

როგორც აღნიშნული იყო, აღნიშნულ სახსრულ უბანში უპირატესია არაუმეტეს ვიდრე 4 ამინომჟავას დელეცია.

გამოგონებით მოცემული პროცესის გამოყენების განსაკუთრებულ შემთხვევაში, მოდიფიკაციაში შედის, სულ მცირე, დელეცია მაინც

ამინომჟავასი, რომელიც არჩეულია ამინომჟავებიდან პოზიციაში H1, H2, H3, H5, H6, H7, H8, H9, H11, H12 ან H14.

უფრო ზუსტად, გამოგონებაში ნაჩვენებია, რომ მისი განსაკუთრებული ასპექტი მდგომარეობს განსაზღვრული ნაშთების არჩევაში.

IgG1-ის უპირატეს შემთხვევაში, ამინომჟავა პოზიციაზე H1 წარმოადგენს პროლინს; ამინომჟავა პოზიციაზე H2 წარმოადგენს ლიზინს ადამიანის ვერსიაში და არგინინს თაგვის ვერსიაში; ამინომჟავა პოზიციაზე H3 წარმოადგენს სერინს ადამიანის ვერსიაში და ასპარტატს თაგვის ვერსიაში; ამინომჟავა პოზიციაზე H5 წარმოადგენს ასპარტატს ადამიანის ვერსიაში და გლიცინს თაგვის ვერსიაში; ამინომჟავა პოზიციაზე H6 წარმოადგენს ლიზინს; ამინომჟავა პოზიციაზე H8 წარმოადგენს კისტიდინს ადამიანის ვერსიაში და ლიზინს თაგვის ვერსიაში; ამინომჟავა პოზიციაზე H9 წარმოადგენს თრეონინს ადამიანის ვერსიაში და პროლინს თაგვის ვერსიაში; ამინომჟავა პოზიციაზე H11 წარმოადგენს პროლინს ადამიანის ვერსიაში და იზოლეიცინს თაგვის ვერსიაში; და ამინომჟავა პოზიციაზე H12 წარმოადგენს პროლინს ადამიანის ვერსიაში.

უპირატესი განხორციელების ნიმუშის მიხედვით, ეს დელეცია უნდა შესრულებულ იქნეს “ზედა სახსარის” უბანში.

უფრო უპირატეს განხორციელების ნიმუშში ეს დელეცია წარმოადგენს “ზედა სახსარის” ნაწილს, რომელიც IgG1-თვის შედგება, მაგალითად, ამინომჟავებიდან H1-დან H9-მდე, განსხვავებით “ცენტრალური სახსარისაგან”, რომელიც შედგება ამინომჟავებისაგან H10-დან H14-მდე.

ზემოაღწერილის თანახმად, წარმოდგენილ განაცხადში ამინომჟავების ნუმერაცია განხორციელებულია IMGT სისტემაში. ცხადია, რომ ნებისმიერი სხვა ნუმერაციის სისტემა, ნუმერაციის, მაგრამ არა სახსრულ უბანში ჩართული ნაშთების ბუნების მოდიფიკაციით, უნდა განხილულ იქნეს, როგორც ეკვივალენტური. მაგალითისათვის, გამოგონების იდენტიფიცირებული ამინომჟავების ნაწილის (IMGT სისტემის მიხედვით) რენუმერაცია Kabat-ის სისტემაში უნდა ეკვივალენტურად იქნეს განხილული.

გამოგონების სხვა ასპექტი დაფუძნებულია, სულ მცირე, ერთი მაინც ცისტეინის დელეციაზე “ზედა სახსარის” უბანში, უპირატესად, პოზიციაზე H4 მდებარე ცისტეინისა.

გამოგონების კიდევ სხვა ასპექტი დაფუძნებულია, სულ მცირე, ერთი მაინც დისულფიდური ხიდის დამატებაზე სახსრულ უბანში.

უფრო ზუსტად, გამოგონებით მოცემული პროცესი განსხვავდება იმით, რომ მოდიფიკაცია მდგომარეობს, სულ მცირე, ერთი მაინც ცისტეინის შეყვანაში “ზედა სახსარის” უბანში.

გამოგონების მიხედვით ამის ახსნა ეფუძნება სახსრული უბნის შესაძლო “გახისტებას” სიგრძის შემცირების და/ან კიდევ სხვა დისულფიდური ხიდის შეყვანის შედეგად. ასეთი “გახისტება” ანტისხეულის შესაფერისი სიკრცეული კონფორმაციის საშუალებას იძლევა გაუმჯობესებული ანტაგონისტური აქტივობის შედეგით.

აშკარაა, რომ ნებისმიერი სხვა ხერხი, რომელიც მიზნად ისახავს სახსრული უბნის გახისტებას, უნდა განხილულ იქნეს გამოგონებით მოცემული პროცესის ეპიგალენტურ მეთოდად.

ცისტეინის შეყვანა შეიძლება განხორციელებულ იქნეს ასეთი ამინომჟავას დამატების საშუალებით და ამ დამატების განხორციელება შესაძლებელია დარგის სპეციალისტებისათვის ცნობილი ნებისმიერი ხერხით.

სახსრულ უბანში ცისტეინის შეყვანის მეორე უპირატესი გზაა, სულ მცირე, ერთი მაინც ამინომჟავას ჩანაცვლება.

უფრო ზუსტად, სახსრულ უბანში ცისტეინის შეყვანის უპირატესი გზაა, სულ მცირე, H1-დან H9-მდე პოზიციების ამინომჟავებიდან არჩეული ამინომჟავას ჩანაცვლება. ასეთი ჩანაცვლების შესრულება შესაძლებელია დარგის სპეციალისტებისათვის ცნობილი ნებისმიერი მეთოდით.

უფრო ზუსტად, გამოგონებით მოცემულ პროცესში შედის “ზედა სახსარის” უბანში ორეონინის ჩანაცვლება H7 პოზიციაზე ცისტეინით.

გამოგონების განხორციელების სხვა ნიმუშში გამოგონებით მოცემულ პროცესში შედის “ზედა სახსარის” უბანში ლიზინის ჩანაცვლება H6 პოზიციაზე ცისტეინით.

გამოგონების განხორციელების კიდევ სხვა ნიმუშში გამოგონებით მოცემულ პროცესში შედის “ზედა სახსარის” უბანში პროლინის ჩანაცვლება H1 პოზიციაზე ცისტეინით.

გამოგონების განხორციელების კიდევ სხვა ნიმუშში გამოგონებით მოცემულ პროცესში შედის “ზედა სახსარის” უბანში ლიზინის ჩანაცვლება H2 პოზიციაზე ცისტეინით.

გამოგონების განხორციელების კიდევ სხვა ნიმუშში გამოგონებით მოცემულ პროცესში შედის “ზედა სახსარის” უბანში სერინის ჩანაცვლება H3 პოზიციაზე ცისტეინით.

გამოგონების განხორციელების კიდევ სხვა ნიმუშში გამოგონებით მოცემულ პროცესში შედის “ზედა სახსარის” უბანში ასპარტატის ჩანაცვლება H5 პოზიციაზე ცისტეინით.

გამოგონების განხორციელების კიდევ სხვა ნიმუშში გამოგონებით მოცემულ პროცესში შედის “ზედა სახსარის” უბანში ჰისტიდინის ჩანაცვლება H8 პოზიციაზე ცისტეინით.

გამოგონების განხორციელების კიდევ სხვა ნიმუშში გამოგონებით მოცემულ პროცესში შედის “ზედა სახსარის” უბანში თრეონინის ჩანაცვლება H9 პოზიციაზე ცისტეინით.

სხვა განხორციელების ნიმუშის მიხედვით, ასევე შესაძლებელია სახსრული უბნის სიგრძის შემცირება და/ან დისულფიდური ხიდის დამატება მთლიანად იმ ამინომჟავების თანამიმდევრობის შეცვლით, რომლითაც კოდირებულია სახსრული უბანი.

უპირატესი ნიმუშის სახით, გამოგონებით მოცემული პროცესის მოდიფიკაცია მდგომარეობს IgG1-ის სახსრულ უბანში ამინომჟავების H1-დან H14-მდე შეცვლა IgG2-ის სახსრული უბნის ამინომჟავებით H1-დან H14-მდე, უპირატესად მაშინ, როდესაც ანტაგონისტური აქტივობის გასაუმჯიბესებლად განსაზღვრული ანტისხეული არის IgG1 ანტისხეული.

სხვა განაცხადში გამოგონება ეხება სპეციფიკური სამიზნე მოლეკულის წინააღმდეგ მიმართული ანტაგონისტური მონოკლონური ანტისხეულის, ან მისი ორვალენტიანი ფუნქციური ფრაგმენტის ან მისი წარმოებულის სკრინინგის პროცესს, აღნიშნულ ანტისხეულს გააჩნია აღნიშნული სამიზნე მოლეკულის ერთი ან მეტი ბიოლოგიური აქტივობის ინჰიბირების უნარი, ამასთან აღნიშნულ პროცესში შედის:

(a) საწყისი ანტისხეულის არჩევა აღნიშნული სამიზნე მოლეკულის აღნიშნული ერთი ან მეტი ბიოლოგიური აქტივობის ინჰიბირების საწყისი დონით,

(b) აღნიშნული საწყისი ანტისხეულის სახსრული უბნის ამინომჟავების თანამიმდევრობის მოდიფიკაცია გამოგონებით მოცემული პროცესის საშუალებით,

(c) ეტაპზე (b) მიღებული მოდიფიცირებული ანტისხეულის აღნიშნული სამიზნე მოლეკულის ერთი ან მეტი ბიოლოგიური აქტივობის ინპიბირების უნარის შეფასება, და

(d) დადებით შედეგად ეტაპის (c) ისეთი ანტისხეულის არჩევა, რომლის აღნიშნული სამიზნე მოლეკულის აღნიშნული ერთი ან მეტი ბიოლოგიური აქტივობის ინპიბირების დონე მეტია, ვიდრე აღნიშნული ინპიბირების საწყისი დონე.

საწყის ანტისხეულებად შეიძლება არჩეულ იქნეს არსებული ანტისხეულები როგორიცაა, შეზღუდვის გარეშე, IGF-1R, c-Met, RON, Axl, CD151, VEGF, VFGFR, Her-2neu-ის ანტაგონისტი ანტისხეულები, ErbB ოჯახის ჰომოდიმერები და ჰეტეროდიმერები. როგორც არაშემზღუდვები უპირატესი მაგალითი, აღნიშნული ანტისხეულები შეიძლება შედგებოდეს ჰერცეპტინიდან, ჰერტუზუმაბიდან, ცეტუქსიმაბიდან, ანტი-VEGFR ან ანტი-IGF-1R ანტისხეულებიდან.

“ინპიბირების დონე” გამოგონების მიხედვით ილუსტრირებს ანტისხეულის ანტაგონისტურ აქტივობას. ინპიბირების ამ დონის განსზღვრა შესაძლებელია დარგის სპეციალისტებისათვის ცნობილი ნებისმიერი მეთოდით, როგორიცაა, შეზღუდვის გარეშე, ა) უჯრედების უშუალო დათვლა ან პროლიფერაციის შეფასებისათვის განკუთვნილი 3[H]თიმიდინის, ბ) მარილების მარილების ან სხვა ფლუორესცენტული ნივთიერებების გამოყენება, ბ) სიგნალის ტრანსდუქციისათვის western blotting-ის, ფოსფო-ELISA-ს ან ალფა-სკრინის ანალიზების გამოყენება, გ) BRET ან FRET ანალიზი დიმერიზაციის გამოსაკვლევად, დ) მიკროსკოპიის ან ფლუორესცენტური მეთოდები მიგრაციის, ინვაზიის, ანგიოგენეზის ან მორფოგენეზის კონტროლისათვის და ე) კალიპერის (შტანგენფარგალის) გამოყენებით სიმსივნეების გაზომვა *in vivo* შეფასებებისათვის.

სკრინინგის ამ პროცესის გამოყენება შესაძლებელია შემოწმებული ანტისხეულების გასაუმჯობესებლად ან ანტისხეულების წინაპლინიკური შერჩევის ეტაპად.

გამოგონების სხვა ასპექტი ეხება სპეციფიკურ სამიზნე მოლეკულაზე მიმართულ მონოკლონურ ანტისხეულს ან მის ორგალენტიან ფუნქციურ ფრაგმენტებს ან წარმოებულებს, რომლების მიღებაც შესაძლებელია გამოგონებით მოცემული პროცესით, აღნიშნული ანტისხეული განსხვავდება

იმით, რომ იგი შეიცავს სახსრული უბნის ამინომჟავების თანამიმდევრობას არჩეულს ჯგუფიდან, რომელშიც შედის: SEQ ID No.1 (PRDCGCKPCICT), SEQ ID No. 2 (PKSCGCKPCICT), SEQ ID No.3 (PKSCGCKPCICP), SEQ ID No.4 (PRDCGCKPCPPCP), SEQ ID No.5 (PRDCGCHTCPPCP), SEQ ID No. 6 (PKSCDCHCPCP), SEQ ID No. 7 (RKCCVECPPCP), SEQ ID No. 22 (CKSCDKTHTCPCP), SEQ ID No. 23 (PCSCDKTHTCPCP), SEQ ID No. 24 (PKCCDKTHTCPCP), SEQ ID No. 25 (PKSCCKTHTCPCP), SEQ ID No. 26 (PKSCDCTHTCPCP), SEQ ID No. 27 (PKSCDKCHTCPCP), SEQ ID No. 28 (PKSCDKTCTCPCP), SEQ ID No. 29 (PKSCDKTHCCPCP), SEQ ID No. 30 (PKSCDKTHTCCPCP), SEQ ID No. 31 (PKSCDKTHTCPCCP), SEQ ID No. 32 (PKSCDKTHTCPCPCC), SEQ ID No. 33 (PSCDKTHTCPCP), SEQ ID No. 34 (PKSCDTHTCPCP), SEQ ID No. 35 (PKSCDKTHCPCP), SEQ ID No. 36 (KCDKTHTCPCP), SEQ ID No. 37 (PSCKTHTCPCP), SEQ ID No. 38 (PKSCDTHCPCP), SEQ ID No. 39 (PKSCTHTCPCP), SEQ ID No. 40 (PKSCDKTTCP), SEQ ID No. 41 (PKSCDKTHCPC), SEQ ID No. 42 (PKSCDCHTCPCP), SEQ ID No. 43 (PKSCDCTHCPCP), SEQ ID No. 44 (PCSCKHTCPCP), SEQ ID No. 45 (PSCCTHTCPCP), SEQ ID No. 46 (PSCDKHCCPCP), SEQ ID No. 47 (PKSTHTCPCP), SEQ ID No. 48 (PKSCTCPCP) ან SEQ ID No. 49 (PKSCDKCVECPPCP).

გამოგონებით მოცემული პროცესის განხორციელების შედეგად მიღებული უპირატესი მონოკლონური ანტისექული შეიძლება განსხვავდებოდეს იმით, რომ იგი შეიცავდეს ამინომჟავების თანამიმდევრობას, რომელიც არჩეულია ჯგუფიდან, რომელშიც შედის: SEQ ID No. 1 (PRDCGCKPCICT), SEQ ID No. 2 (PKSCGCKPCICT), SEQ ID No.3 (PKSCGCKPCICP), SEQ ID No.4 (PRDCGCKPCPPCP), SEQ ID No.5 (PRDCGCHTCPPCP), SEQ ID No. 6 (PKSCDCHCPCP), SEQ ID No. 7 (RKCCVECPPCP), SEQ ID No. 22 (CKSCDKTHTCPCP), SEQ ID No. 23 (PCSCDKTHTCPCP), SEQ ID No. 24 (PKCCDKTHTCPCP), SEQ ID No. 25 (PKSCCKTHTCPCP), SEQ ID No. 26 (PKSCDCTHTCPCP), SEQ ID No. 27 (PKSCDKCHTCPCP), SEQ ID No. 28 (PKSCDKTCTCPCP), SEQ ID No. 29 (PKSCDKTHCCPCP), SEQ ID No. 30 (PKSCDKTHTCCPCP), SEQ ID No. 31 (PKSCDKTHTCPCCP), SEQ ID No. 32 (PKSCDKTHTCPCPCC), SEQ ID No. 33 (PSCDKTHTCPCP), SEQ ID No. 34 (PKSCDTHTCPCP), SEQ ID No. 35 (PKSCDKTHCPCP), SEQ ID No. 36

(KCDKTHTCPPCP), SEQ ID No. 37 (PSCKTHTCPPCP), SEQ ID No. 38 (PKSCDTHCPPCP), SEQ ID No. 39 (PKSCTHTCPPCP), SEQ ID No. 40 (PKSCDKTTCPGP), SEQ ID No. 41 (PKSCDKTHCPPC), SEQ ID No. 42 (PKSCDCHTCPPCP), SEQ ID No. 43 (PKSCDCTHCPPCP), SEQ ID No. 44 (PCSCKHTCPPCP), SEQ ID No. 45 (PSCCTHTCPPCP), SEQ ID No. 46 (PSCDKHCCPPCP), SEQ ID No. 47 (PKSTHTCPPCP), SEQ ID No. 48 (PKSCTCPPCP) ან SEQ ID No. 49 (PKSCDKCVECPCP).

უპირატესი განხორციელების ნიმუშში აღნიშნული მონოკლონური ანტისეეული არის ადამიანის ანტისეეული, უფრო უპირატესია IgG1 ანტისეეული.

გამოგონება ასევე ეხება იზოლირებულ ნუკლეინმჴავას, რომლითაც როგორც ადრე იყო აღწერილი, კოდირებულია მონოკლონური ანტისეეული, ე.ო. რომელიც შეიცავს სახსრული უბნის ამინომჴავების თანამიმდევრობას, არჩეულს ჯგუფიდან, რომელშიც შედის: SEQ ID No. 1 (PRDCGCKPCICT), SEQ ID No. 2 (PKSCGCKPCICT), SEQ ID No. 3 (PKSCGCKPCICP), SEQ ID No. 4 (PRDCGCKPCPPCP), SEQ ID No. 5 (PRDCGCHTCPPCP), SEQ ID No. 6 (PKSCDCHCPCP), SEQ ID No. 7 (RKCCVECPCP), SEQ ID No. 22 (CKSCDKTHTCPPCP), SEQ ID No. 23 (PCSCDKTHTCPPCP), SEQ ID No. 24 (PKCCDKTHTCPPCP), SEQ ID No. 25 (PKSCCCKTHTCPPCP), SEQ ID No. 26 (PKSCDCTHTCPPCP), SEQ ID No. 27 (PKSCDKCHTCPPCP), SEQ ID No. 28 (PKSCDKTCTCPCP), SEQ ID No. 29 (PKSCDKTHCCPPCP), SEQ ID No. 30 (PKSCDKTHTCCPCP), SEQ ID No. 31 (PKSCDKTHTCPCCP), SEQ ID No. 32 (PKSCDKTHTCPPCC), SEQ ID No. 33 (PSCDKTHTCPPCP), SEQ ID No. 34 (PKSCDTHTCPPCP), SEQ ID No. 35 (PKSCDKTHCPPCP), SEQ ID No. 36 (KCDKTHTCPPCP), SEQ ID No. 37 (PSCKTHTCPPCP), SEQ ID No. 38 (PKSCDTHCPPCP), SEQ ID No. 39 (PKSCTHTCPPCP), SEQ ID No. 40 (PKSCDKTTCPGP), SEQ ID No. 41 (PKSCDKTHCPPC), SEQ ID No. 42 (PKSCDCHTCPPCP), SEQ ID No. 43 (PKSCDCTHCPPCP), SEQ ID No. 44 (PCSCKHTCPPCP), SEQ ID No. 45 (PSCCTHTCPPCP), SEQ ID No. 46 (PSCDKHCCPPCP), SEQ ID No. 47 (PKSTHTCPPCP), SEQ ID No. 48 (PKSCTCPPCP) ან SEQ ID No. 49 (PKSCDKCVECPCP).

კიდევ ერთი სხვა ასპექტის თანახმად, მოცემული გამოგონება ეხება იზოლირებულ ნუკლეინმჟავას, რომელიც განსხვავდება იმით, რომ შერჩეულია მომდევნო ნუკლეიინმჟავებიდან:

a) ნუკლეიინმჟავა, ძნმ ან რნმ, რომლითაც კოდირებულია სელოვნური სახსრული უბანი მოცემული გამოგონების მიხედვით, მათი შესაბამისი რნმ ნუკლეიინმჟავა ან კომპლემენტარული თანამიმდევრობა;

b) იზოლირებული ნუკლეიინმჟავების თანამიმდევრობა, რომელიც შეიცავს ნუკლეიინთანამიმდევრობას შერჩეულს ჯგუფიდან, რომელშიც შედის SEQ ID No. 15-დან SEQ ID No. 21-მდე, SEQ ID No. 50-დან SEQ ID No. 77-მდე, მათი შესაბამისი რნმ ნუკლეიინმჟავა და კომპლემენტარული თანამიმდევრობა; და

c) სულ მცირე, 18 ნუკლეოტიდიანი ნუკლეიინმჟავა, რომელსაც გააჩნია ჰიბრიდიზაციის უნარი უმკაცრეს პირობებში, სულ მცირე, ერთ მაინც თანამიმდევრობასთან თანამიმდევრობებიდან SEQ ID No. 15-დან 21-მდე და 50-დან 77-მდე.

უპირატესად, გამოგონებაში შედის იზოლირებული ნუკლეიინმჟავა, რომელიც შეიცავს ნუკლეიინთანამიმდევრობას, შერჩეულს ჯგუფიდან, რომელშიც შედის SEQ ID No. 15-დან SEQ ID No. 21-მდე და SEQ ID No. 50-დან SEQ ID No. 77-მდე.

გამოგონების ნაწილს ასევე წარმოადგენს ექსპრესიის ვექტორი ან ტრანსფორმირებული მასპინძელი უჯრედი, რომელიც შეიცავს ადრე ალტერილ იზოლირებულ ნუკლეიინმჟავას და უფრო ზუსტად, იზოლირებულ ნუკლეიინმჟავას, რომელიც შეიცავს ნუკლეიინთანამიმდევრობას, შერჩეულს ჯგუფიდან, რომელშიც შედის SEQ ID No. 15-დან SEQ ID No. 21-მდე, SEQ ID No. 50-დან SEQ ID No. 77-მდე, მათი შესაბამისი რნმ ნუკლეიინმჟავა და კომპლემენტარული თანამიმდევრობა.

ნუკლეიინმჟავა, ნუკლეინ ან ნუკლეიინმჟავების თანამიმდევრობა, პოლინუკლეოტიდი, ოლიგონუკლეოტიდი, პოლინუკლეოტიდების თანამიმდევრობა, ნუკლეოტიდების თანამიმდევრობა, ეს არის ტერმინები, რომლებიც დამოუკიდებლად არის გამოყენებული მოცემულ გამოგონებაში, გამიზნულია ნუკლეოტიდების ზუსტი კავშირის მითითებისათვის, რომელიც მოდიფიცირებულია ან არამოდიფიცირებულია და ნუკლეიინმჟავას ფრაგმენტის ან უბნის განსაზღვრის საშუალებას იძლევა, რომელიც შეიცავს ან არ შეიცავს არაბუნებრივ ნუკლეოტიდებს და შეუძლია რომ შეესაბამებოდეს

ზუსტად როგორც ორსპირალიან  $d_{nm}$ -ს, ერთსპირალიან  $d_{nm}$ -ს, ისე აღნიშნული  $d_{nm}$ -ების ტრანსკრიფციის პროცესში მათ დაუკავშირდება.

გასაგები უნდა იყოს აგრეთვე, რომ მოცემული გამოგონების ინტერესის სფეროში არ შედის ნუკლეოტიდების თანამიმდევრობები მათ ბუნებრივ ქრომოსომულ გარემოში ანუ, ასე ვთქვათ, მათ ბუნებრივ მდგომარეობაში. გამოგონება ეხება თანამიმდევრობებს, რომლებიც იზოლირებულ და/ან გასუფთავებულ იქნა, ანუ, ასე ვთქვათ, არჩეულ იქნა პირდაპირ ან არაპირდაპირ, მაგალითად, ასლის გადადების საშუალებით და მათი გარემო, სულ მცირე, ნაწილობრივ მაინც არის მოდიფიცირებული. აქ აღსანიშნავია აგრეთვე იზოლირებული ნუკლეინმჟავები, მიღებული გენეტიკური რეკომბინაციით, მაგალითად, მასპინძელი უჯრედის საშუალებით ან ქიმიური სინთეზით მიღებული ნუკლეინმჟავები.

უმკაცრეს პირობებში პიბრიდიზაცია ნიშნავს, რომ ტემპერატურული პირობები და იონური ძალის პირობები ისეა შერჩეული, რომ კომპლემენტარულ  $d_{nm}$ -ს ორ ფრაგმენტს შორის პიბრიდიზაციის საშუალებას იძლევა. ილუსტრაციის მიზნით ზემოაღწერილი პოლინუკლეოტიდური ფრაგმენტების განსაზღვრისათვის საჭირო პიბრიდიზაციის ეტაპის უმკაცრესი პირობები უპირატესად არის შემდეგი:

$d_{nm}-d_{nm}$  ან  $d_{nm}-x_{nm}$  პიბრიდიზაცია ხორციელდება ორ ეტაპად: (1) წინასწარი პიბრიდიზაცია  $42^{\circ}\text{C}$  ტემპერატურის პირობებში 3 საათის განმავლობაში ფოსფატის ბუფერში ( $20 \text{ mM}$ ლი,  $\text{pH } 7.5$ ), რომელიც შეიცავს  $5 \times$  SSC ( $1 \times$  SSC შეესაბამება  $0.15 \text{ M}$ ლი  $\text{NaCl} + 0.015 \text{ M}$ ლი ნატრიუმციტრატის ხსნარს),  $50\%$  ფორმამიდს,  $7\%$  ნატრიუმდოდეცილულფატს (SDS),  $10 \times$  Denhardt's, დექსტრანსულფატის  $5\%$  და ორაგულის სპერმის  $d_{nm}$   $1\%$ ; (2) რეალური პიბრიდიზაცია მიმდინარეობს  $20$  საათის განმავლობაში, ტემპერატურაზე, რომელიც დამოკიდებულია ზონდის ზომაზე (მაგ.:  $42^{\circ}\text{C}$  ზონდის ზომისათვის  $> 100$  ნუკლეოტიდზე), რასაც მოსდევს ორი გარეცხვა  $20$  წუთის განმავლობაში  $20^{\circ}\text{C}$  ტემპერატურაზე  $2 \times$  SSC +  $2\%$  SDS-ში,  $1$  გარეცხვა  $20$  წუთის განმავლობაში  $0.1 \times$  SSC +  $0.1\%$  SDS-ში. ბოლო გარეცხვა სრულდება  $0.1 \times$  SSC +  $0.1\%$  SDS-ში  $30$  წუთის განმავლობაში  $60^{\circ}\text{C}$  ტემპერატურაზე ზონდის ზომისათვის  $> 100$  ნუკლეოტიდზე. განსაზღვრული ზომის პოლინუკლეოტიდისათვის ზემოთ აღწერილი პიბრიდიზაციის უმაღლესი

სიმპაცრის პირობები დარგის სპეციალისტების მიერ შეიძლება მორგებულ იქნეს უფრო დიდი ან უფრო მცირე ზომის ოლიგონუკლეოტიდებზე Sambrook et al. (1989, Molecular cloning: a laboratory manual. 2<sup>nd</sup> Ed. Cold Spring Harbor) სახელმძღვანელოს ინსტრუქციების თანახმად.

გამოგონება ასევე ეხება ვექტორს, რომელიც შეიცავს გამოგონებით მოცემულ ნუკლეინმჟავას.

გამოგონება განსაკუთრებით მიმართულია კლონირებაზე და/ან ექსპრესიის ვექტორებზე, რომლებიც შეიცავს ნუკლეოტიდების თანამიმდევრობას გამოგონების მიხედვით.

გამოგონებით მოცემული ვექტორები უპირატესად შეიცავს ისეთ ელემენტებს, რომლებიც ტრანსლირებული ნუკლეოტიდური თანამიმდევრობების ექსპრესიის და/ან სეკრეციის საშუალებას იძლევა განსაზღვრულ მასპინძელ უჯრედში. ამიტომ, ვექტორი უნდა შეიცავდეს პრომოტორს, ტრანსლაციის ინიციაციისა და დამთავრების სიგნალს და ასევე ტრანსკრიფციის რეგულირების შესაფერის უბნებს. მას უნდა ჰქონდეს მასპინძელ უჯრედში სტაბილურად ყოფნის უნარი და, არასავალდებულოდ, შეიძლება გააჩნდეს ცალკე სიგნალები, რომლებიც განსაზღვრავს ტრანსლირებული პროტეინის სეკრეციას. ამ სხვადასხვა ელემენტს ირჩევს და ოპტიმიზირებას ახდენს დარგის სპეციალისტი გამომდინარე გამოყენებული მასპინძელი უჯრედიდან. ამ მიზნით, გამოგონებით მოცემული ნუკლეოტიდების თანამიმდევრობები შეიძლება შეტანილ იქნეს ავტონომიურ რეპლიკაციის ვექტორებში შერჩეულ მასპინძელში ან შეიძლება იყოს შერჩეული მასპინძელი უჯრედის განუყოფელი ვექტორები.

ასეთი ვექტორების დამზადება ხდება დარგის სპეციალისტების მიერ ჩვეულებრივ გამოსაყენებელი მეთოდების დახმარებით და შედეგად მიღებული კლონები შეიძლება შეყვანილ იქნეს შესაფერის მასპინძელში სტანდარტული ხერხებით, როგორიცაა ლიპოფექცია, ელექტროფორეზი, თერმული შოკი ან ქიმიური მეთოდები.

გამოგონებით მოცემული ვექტორები არის, მაგალითად, პლაზმიდური ან ვირუსული წარმოშობის ვექტორები. ისინი გამოსადეგია მასპინძელი უჯრედის ტრანსფორმაციისათვის, რათა კლონირებულ ან ექსპრესირებულ იქნეს გამოგონებით მოცემული ნუკლეოტიდების თანამიმდევრობები.

გამოგონებაში ასევე შედის ტრანსფორმირებული მასპინძელი უჯრედები ან მასპინძელი უჯრედები, რომლებიც შეიცავს გამოგონებით მოცემულ ვაქტორს.

მასპინძელი უჯრედი შერჩეულია პროკარიოტული ან ეუკარიოტული სისტემებიდან, მაგალითად, ბაქტერიული უჯრედებიდან, ასევე საფუარის ან ცხოველური უჯრედებიდან, კერძოდ ძუძუმწოვრების უჯრედებიდან. ასევე შესაძლებელია მწერებისა და მცენარეების უჯრედების გამოყენება.

გამოგონების სხვა მახასიათებლები და უპირატესობები ჩანს დანარჩენი აღწერილობიდან მაგალითებზე და ფიგურებზე დაყრდნობით, სადაც:

ფიგურებზე 1A და 1B ნაჩვენებია თაგვის და შესაბამისი ქიმერული ანტი-c-Met Mab-ების სერიების, რომლებიც წარმოებულია როგორც ადამიანის IgG1/კაპა იზოტიპი, გავლენა c-Met რეცეპტორის ფოსფორილებაზე A549 უჯრედებში.

ფიგურა 1A: აგონისტური ეფექტი, გამოთვლილი როგორც პროცენტი HGF-ით [100 ნგ/მლ] გამოწვეული c-Met ფოსფორილების მაქსიმალურ სტიმულაციასთან შედარებით.

ფიგურა 1B: ანტაგონისტური ეფექტი, გამოთვლილი როგორც HGF-ით [100 ნგ/მლ] გამოწვეული c-Met ფოსფორილების მაქსიმალური სტიმულაციის ინჰიბირების პროცენტი.

ფიგურებზე 2A და 2B ნაჩვენებია თაგვის 224G11 Mab-ის და ინჟინერიის საშუალებით მიღებული სხვადასხვა სახსრული უბნების შემცველი ქიმერული 224G11 Mab-ების გავლენის შედარება C-Met რეცეპტორის ფოსფორილებაზე A549 უჯრედებში.

ფიგურა 2A: აგონისტური ეფექტი, გამოთვლილი როგორც პროცენტი HGF-ით [100 ნგ/მლ] გამოწვეული c-Met ფოსფორილების მაქსიმალურ სტიმულაციასთან შედარებით.

ფიგურა 2B: ანტაგონისტური ეფექტი, გამოთვლილი როგორც HGF-ით [100 ნგ/მლ] გამოწვეული c-Met ფოსფორილების მაქსიმალური სტიმულაციის ინჰიბირების პროცენტი.

ფიგურებზე 3A და 3B, 4 და 5 ნაჩვენებია c-Met დიმერიზაციისა და აქტივაციის BRET მოდელები.

ფიგურებზე 6A და 6B ნაჩვენებია ქიმერული და ჰუმანიზებული 224G11 ფორმების მიერ c-Met-ის ამოცნობა.

ფიგურებზე 7A, 7B და 7C ნაჩვენებია თაგვის და ქიმერული ანტისხეულების გავლენა HGF-ით ინდუცირებულ NCI-H441 უჯრედების პროლიფერაციაზე *in vitro*. NCI-H441 უჯრედები დათესილ იქნა შრატისგან თავისუფალ მკვებავ გარემოში. დათესვიდან 24 საათის შემდეგ დამატებულ იქნა: (ფიგ.7A) m11E1 და [11E1]chim-ქიმერული, (ფიგ.7B) m227H1 და [227H1]chim-ქიმერული, ან (ფიგ.7C) m224G11 და [224G11]chim-ქიმერული HGF-ის თანაობის ან თანაობის გარეშე. ისრები მიუთითებს მხოლოდ უჯრედებდათესილ ფოსოებს HGF-ის თანაობის გარეშე ↙ ან თანაობისას ↘. თაგვის IgG1 (mIgG1) შეტანილ იქნა როგორც იზოტიპის კონტროლი.

ფიგურაზე 8 ნაჩვენებია თაგვისა და ქიმერული 224G11 Mab-ების შედარება *in vivo* NCI-H441-ის ქსენოტრანსპლანტაციურ მოდელზე.

ფიგურებზე 9A და 9B ნაჩვენებია თაგვის 224G11 Mab-ის და ამ ანტისხეულის სხვადასხვა ქიმერული და ჰუმანიზებული ვერსიების გავლენა NCI-H441 უჯრედების HGF-ით ინდუცირებულ პროლიფერაციაზე *in vitro*. NCI-H441 უჯრედები დათესილ იქნა შრატისგან თავისუფალ მკვებავ გარემოში. დათესვიდან 24 საათის შემდეგ დამატებულ იქნა სატესტო ანტისხეულები HGF-ის თანაობის გარეშე ან თანაობისას. ჩამონათვალში (ფიგ.9A) ნაჩვენებია თაგვის m224G11, ქიმერული IgG1 [224G11]chim, ჰუმანიზებული IgG1 [224G11] [Hz1], [224G11] [Hz2], [224G11] [Hz3] ვერსიები. ჩამონათვალში (ფიგ.9B) მოცემულია თაგვის m224G11 და ქიმერული IgG1-ის სხვადასხვა ფორმები ([224G11]chim, [224G11] [MH chim], [224G11] [MUP9H chim], [224G11] [MMCH chim], [224G11] [TH7 chim]). ისრები მიუთითებს მხოლოდ უჯრედებდათესილ ფოსოებს HGF-ის თანაობის გარეშე ↙ ან თანაობისას ↘. თაგვის IgG1 შეტანილ იქნა როგორც უარყოფითი კონტროლი აგონისტური აქტიურობისათვის. M5D5 გამოყენებული იყო როგორც დოზა-დამოკიდებული სრული აგონისტ-კონტროლი.

ფიგურაზე 10 ნაჩვენებია თაგვის 224G11 Mab-ის და ამ ანტისხეულის სხვადასხვა ქიმერული და ჰუმანიზებული ვერსიების გავლენა NCI-H441 უჯრედების HGF-ით ინდუცირებული პროლიფერაციაზე *in vitro*. NCI-H441 უჯრედები დათესილ იქნა შრატისგან თავისუფალ მკვებავ გარემოში.

დათესვიდან 24 საათის შემდეგ დამატებულ იქნა სატესტო ანტისეულები HGF-ის თანაობის გარეშე ან თანაობისას. მოცემულია თაგვის m224G11, [224G11]chim, [224G11] [TH7 chim] IgG1-ის ქიმიკული ფორმები და [224G11] [TH7 Hz1], [224G11] [TH7 Hz3]. ისრები მიუთითებს მხოლოდ უჯრედებდათესილ ფოსოებს HGF-ის თანაობის გარეშე ↗ ან თანაობისას ↓. თაგვის IgG1 შეტანილ იქნა როგორც უარყოფითი კონტროლი აგონისტური აქტივობისათვის. M5D5 გამოყენებული იყო როგორც დოზა-დამოკიდებული სრული აგონისტ-კონტროლი.

ფიგურებზე 11A-11B და 12A-12B ნაჩვენებია ანტი-c-Met Mab-ების სერიების, რომლებსაც გააჩნიათ ინჟინერიის საშუალებით მიღებული გამოგონებით მოცემული სხვადასხვა სახსრული უბნები, გავლენა C-Met რეცეპტორის ფოსფორილებაზე A549 უჯრედებში. ფიგურა 11A და 11B: აგონისტური ეფექტი, გამოთვლილი როგორც პროცენტი HGF-ით [100 ნგ/მლ] გამოწვეული c-Met ფოსფორილების მაქსიმალურ სტიმულაციასთან შედარებით. ფიგურა 12A და 12B: ანტაგონისტური ეფექტი, გამოთვლილი როგორც HGF-ით [100 ნგ/მლ] გამოწვეული c-Met ფოსფორილების მაქსიმალური სტიმულაციის ინკიბირების პროცენტი.

ფიგურებზე 13A და 13B, ნაჩვენებია c-Met დიმერიზაციისა და აქტივაციის BRET მოდელები.

ფიგურაზე 14A ნაჩვენებია აგონისტური ეფექტი, გამოთვლილი როგორც პროცენტი HGF-ით [100 ნგ/მლ] გამოწვეული c-Met ფოსფორილების მაქსიმალურ სტიმულაციასთან შედარებით.

ფიგურაზე 14B ნაჩვენებია ანტაგონისტური ეფექტი, გამოთვლილი როგორც HGF-ით [100 ნგ/მლ] გამოწვეული c-Met ფოსფორილების მაქსიმალური სტიმულაციის ინკიბირების პროცენტი.

ფიგურაზე 15 ნაჩვენებია c-Met დიმერიზაციისა და აქტივაციის BRET მოდელები.

ფიგურა 16: Mab 214B2-ის სხვადასხვა ფორმების PC3 უჯრედების ადჰეზიაზე ზეგავლენის მიკროსკოპული ანალიზი.

ფიგურა 17: Mab 214B2-ის სხვადასხვა ფორმების PC3 უჯრედების ადჰეზიაზე ზეგავლენის ანალიზი ATP-ანალიზის გამოყენებით. თითოეულ ფოსოში ადჰეზიორებული უჯრედები განსაზღვრული იყო PC3 სტანდარტული

მრუდების გამოყენებით, 0-დან 200 000-მდე უჯრედი/ფოსოზე. შედეგები შემდეგნაირად არის წარმოდგენილი: დაუმუშავებელი უჯრედები მიღებულია ეტალონად (100%), ხოლო დამუშავებული უჯრედები – როგორც ეტალონურის პროცენტი.

### **მაგალითი 1: ქიმერული Mab-ების კონსტრუირება და c-Met რეცეპტორის ფოსფორილების სტატუსის ფუნქციური შეფასება**

თაგვის რამოდენიმე Mab, რომლების სამიზნე იყო პროტოტიპული ტიროზინ კინაზას რეცეპტორი (c-Met რეცეპტორი), რეფორმირებულ იქნა ქიმერულ Mab-ებად, რომლებიც ატარებდა თაგვის ვარიაბელურ დომენებს და ადამიანის მუდმივ დომენებს. მათი შიგა აქტივობა გაანალიზებული იყო ფუნქციურ ანალიზზე დაყრდნობით, რომელიც აკონტროლებდა ლიგანდ (HGF)-დამოკიდებულ c-Met რეცეპტორის ფოსფორილებას.

თაგვის ვარიაბელური დომენის თანამიმდევრობების (VH, VL) PCR-კლონირების შემდეგ ქიმერული Mab-ები კონსტრუირებული იყო თაგვის VH ან VL თანამიმდევრობების მატარებელი *{NheI-BclI}* რესტრიქციის ფრაგმენტის ლიგირებისას pCEP4 ვექტორში (Invitrogen, US), რომელიც ატარებდა IgG1 იმუნოგლობულინის ადამიანის მსუბუქი ჯაჭვის Cკაპა ან ადამიანის მძიმე ჯაჭვის [CH1-სახსარი-CH2-CH3] მუდმივი დომენის მთლიან მაკოდირებელ თანამიმდევრობას. კლონირების ყველა ეტაპი შესრულებული იყო ჩვეულებრივი მოლეკულური ბიოლოგიის ტექნიკის მიხედვით, რომელიც აღწერილია ლაბორატორიულ სახელმძღვანელოში (Sambrook and Russel, 2001) ან მომწოდებლის ინსტრუქციების მიხედვით. თითოეული გენეტიკური ნაგებობა სრულად იყო შემოწმებული ნუკლეოტიდების თანამიმდევრობის განსაზღვრის საშუალებით Big Dye terminator cycle კომპლექტით (Applied Biosystems, US) და ანალიზირებული 3100 Genetic Analyzer-ის გამოყენებით (Applied Biosystems, US). შესაბამისი ქიმერული Mab-ების წარმოება სრულდებოდა სუსპენზია-ადაპტირებულ HEK293 EBNA უჯრედების გამოყენებით (Invitrogen, US), რომლებიც გაზრდილი იყო შრატისგან თავისუფალ მკვებავ გარემოში Excell 293 (SAFC Biosciences), რომელშიც ჩამატებული იყო 6 მმოლი გლუტამინი. დროებითი ტრანსფერია განხორციელებული იყო ხაზოვანი 25 კდალტონი პოლიეთილენიმინის (PEI)

(Polyscience) გამოყენებით. კულტივაციის პროცესის მონიტორინგი ხდებოდა უჯრედების სიცოცხლისუნარიანობისა და Mab წარმოების საფუძველზე. Mab-ები გასუფთავებულ იქნა ჩვეულებრივი ქრომატოგრაფიის მეთოდის გამოყენებით პროტეინ A ფისზე (GE Healthcare, US).

Mab-ების ყველა განსხვავებული ფორმა წარმოებული იყო ფუნქციური ანალიზისათვის შესაფერის დონეზე. წარმოების დონე ტიპიურად რეგულირდება სუფთა Mab-ის 15 და 30 მგ/ლ შორის.

ფუნქციური ანალიზი სრულდებოდა ადამიანის ფილტვის კიბოს უჯრედებზე. c-Met რეცეპტორის ფოსფორილების სტატუსის მონიტორინგი მიმდინარეობდა უჯრედების ლიზატზე სპეციფიკური ჩამჭერი ELISA ანალიზის გამოყენებით. თხის ანტი-c-Met Mab (R&D, ref AF276) იყო გამოყენებული ჩამჭერ ანტისხეულად, ხოლო დეტექტირების ანტისხეული შეესაბამებოდა ანტი-ფოსფო-c-Met Mab-ს (Biosource ref KHO0281). ლუმინესცენციის ანალიზი რეგისტრირდებოდა Mithras LB920 მრავალტიპიანი პეტრის თასის რეგისტრატორის მეშვეობით (Berthold).

თაგვის სამივე Mab 11E1, 224G11 და 227H1 ამჟღავნებდა შესადარ შიგა აქტივობას c-Met რეცეპტორის ფოსფორილებაზე: თითქმის არავითარი საკუთარი აგონისტური აქტივობა (HGF ეფექტის 5%-ზე ნაკლები, ფიგურა 1A) და HGF-ით (100 ნგ/მლ) ინდუცირებული c-Met რეცეპტორის ფოსფორილების ძლიერი ინკიბირება (HGF ეფექტის 70%-ზე მეტი ინკიბირება, ფიგურა 1B). გასაოცარია, მაგრამ თაგვის IgG1/კაპადან ადამიანის IgG1/კაპაზე გადართვისათვის Mab-ის მხოლოდ მუდმივი დომენის მოდიფიცირებით აღნიშნულ იქნა შედეგად მიღებული ქიმირული Mab-ების შიგა აქტივობის სრული მოდიფიკაცია (ფიგურები 1A-1B). მართლაც, აღინიშნებოდა ანტაგონისტური ეფექტურობის მნიშვნელოვან კლებასთან (c224G11-თვის HGF ეფექტის მხოლოდ ნარჩენი 60%, ფიგურა 1B) ასოცირებული მძლავრი აგონიზმი (c11E1-თვის HGF ეფექტის 20% აღწევს, ფიგურა 1A). ეს ეფექტი არ არის დამოკიდებული ანტისხეულის ვარიაბელურ დომენზე, რაღაც მსგავსი მოვლენა აღინიშნებოდა სამივე გამოკვლეული Mab-სთვის (11E1, 224G11 და 227H1 მონოკლონური ანტისხეულები სეკრეტირებული იყო Collection Nationale de Cultures Microorganismes (CNCM) – მიკროორგანიზმების კულტურების ეროვნულ კოლექციაში (Institut Pasteur, Paris, France) ნომრებით CNCM I-3724

(შექსაბამება 11E1-ს), I-3731 (შექსაბამება 224G11-ს) და I-3732 (შექსაბამება 227H1-ს), დეპონირებული ჰიბრიდომას საშუალებით (იხილეთ პატენტის განაცხადი გამოქვეყნებული ნომრით WO 2009/007427).

### **მაგალითი 2: ინჟინირებული სახსრული უბნის გერსიების დიზაინი, კლონირება და წარმოება**

ზემოთ აღწერილი დაკვირვებების საფუძველზე, გამოთქმულ იქნა ჰიბრიდული, რომ თაგვის IgG1-ის ადამიანის IgG1 Mab-ში რეფორმირებისას აღნიშნული ფარმაკოლოგიური პროფილის გაუარესება განპირობებული იყო ადამიანის IgG1 დომენით.

ერთის მხრივ, ლიტერატურიდან ცნობილია, რომ c-Met რეცეპტორის აქტივაცია ასოცირებულია მის დიმერიზაციასთან, და რომ c-Met რეცეპტორის დიმერიზაციის ინკიბირებამ შეიძლება მოახდინოს c-Met რეცეპტორის ფოსფორილებისა და ქვემოთქვენ სიგნალიზაციის ინკიბირება.

მეორეს მხრივ, Mab-ები არსით ორვალენტიანი მოლეკულებია თავიანთი თანდაყოლილი სტრუქტურიდან გამომდინარე და, ამრიგად, ისინი შეიძლება მოქმედებდენ როგორც c-Met რეცეპტორის დიმერიზაციის მაინდუცირებლები.

ამიტომ, გამოთქმულ იქნა ჰიბრიდული Mab-ების კონფორმაციული დრეკადობის, როგორიცაა ბრუნვა, მოდუნვა ან ქნევა (იხილეთ Roux et al., 1997) შეზღუდვის საშუალებით შესაძლებელი იქნებოდა საწყისი თაგვის Mab-ების ჩვენთვის საინტერესო შიგა აქტივობების აღდგენა (მძლავრი ანტაგონიზმის და სუსტი აგონიზმის). ეს ჰიბრიდული იყო თაგვისა და ადამიანის IgG1 სახსრული უბნების (მოიხსენიება ასევე, როგორც IgG1 H-უბანი) შესაბამისი თანამიმდევრობების ანალიზით.

თაგვის IgG1 H-უბანი	PRDCGCKPCICT	(SEQ ID No.1)
---------------------	--------------	---------------

ადამიანის IgG1 H-უბანი	PKSCDKTHTCPPCP	(SEQ ID No.11)
------------------------	----------------	----------------

ადამიანის IgG2 H-უბანი	RKCCVECPPCP	(SEQ ID No.7)
------------------------	-------------	---------------

ამ განლაგებით ნაჩვენებია, რომ თაგვის IgG1 H-უბანი უფრო მოკლეა და შეიცავს ერთ დამატებით დისულფიდურ ხიდს (Cys) ადამიანის IgG1 H-უბანთან შედარებით. ასევე ჩანს, რომ ადამიანის IgG2 H-უბანი წააგავს თაგვის IgG1 H-უბანს, როგორც სიგრძით (11AA), ისე დისულფიდური ხიდების რიცხვით (4).

ამიტომ, გამოთქმულ იქნა მოსაზრება, რომ ადამიანის IgG1 H-უბანის სიხისტის გაზრდა შესაძლებელი იქნებოდა მასტაბილიზირებელი მუტაციების, როგორიცაა Cys ნაშთების შეყვანა, და/ან ამ ცალკე სეგმენტის დამოკლების საშუალებით. H-უბანის სიხისტის ეს სავარაუდო გაზრდა შეიძლება ასოცირებულ იქნეს ინჟინერით მიღებული ადამიანის IgG1 Mab-ის გაუმჯობესებულ ფუნქციურ თვისებებთან.

გენური ინჟინერით მიღებული პირველი 7 გერსიის სერიები დაპროექტებულ იქნა (ცხრილი 2) ქიმერული H-უბნების შექმნით ადამიანისა და თაგვის ანტისხეულების თანამიმდევრობებს შორის N-ტერმინალური ან C-ტერმინალური სახსრული ნაწილების გაცვლის შედეგად. შესრულებულ იქნა აგრეთვე IgG2 ეკვივალენტის კონსტრუქცია.

## ცხრილი 2

WT-IgG2	WT-IgG1		გარიანტები					
	Hu-IgG1	Mu-IgG1	MH-IgG1	MMCH-IgG1	MMH-IgG1	MUP9H-IgG1	MUC7H-IgG1	TH7CΔ6,9-IgG1
-	P	P	P	P	P	P	P	P
R	K	R	R	K	K	R	R	K
K	S	D	D	S	S	D	D	S
C	C	C	C	C	C	C	C	C
-	D	G	G	G	G	G	G	D
-	K	-	-	-	-	-	-	-
C	T	C	C	C	C	C	C	C
V	H	K	K	K	K	K	H	H
E	T	P	P	P	P	P	T	-
C	C	C	C	C	C	C	C	C
P	P	I	I	I	I	P	P	P
P	P	-	-	-	-	P	P	P
C	C	C	C	C	C	C	C	C
P	P	T	T	T	P	P	P	P

დაპროექტებულ და კონსტრუირებულ იქნა H-უბანში 28 მუტანტის დამატებითი სერია იმისათვის, რომ შეფასებული ყოფილიყო H-უბანში ერთი დამატებითი ცისტეინის ნაშთის შეტანის ან, სულ მცირე, ერთი მაინც ამინომჟავას დელეციის, ან ერთდროულად ერთი ცისტეინის დამატებისა და, სულ მცირე, ერთი მაინც ამინომჟავას დელეციის ერთობლივი ზეგავლენა.

სახსრული უბნის მუტანტების ეს ახალი სერია აღწერილია ცხრილში 3.

## ცხრილი 3

	#1	#2	#3	#4	#5	#6	#7	#8	#9	#10	#11	#12	#13	#14
<b>C1</b>	C	K	S	C	D	K	T	H	T	C	P	P	C	P
<b>C2</b>	P	C	S	C	D	K	T	H	T	C	P	P	C	P
<b>C3</b>	P	K	C	C	D	K	T	H	T	C	P	P	C	P
<b>C5</b>	P	K	S	C	C	K	T	H	T	C	P	P	C	P
<b>C6</b>	P	K	S	C	D	C	T	H	T	C	P	P	C	P
<b>C7</b>	P	K	S	C	D	K	C	H	T	C	P	P	C	P
<b>C8</b>	P	K	S	C	D	K	T	C	T	C	P	P	C	P
<b>C9</b>	P	K	S	C	D	K	T	H	C	C	P	P	C	P
<b>C11</b>	P	K	S	C	D	K	T	H	T	C	C	P	C	P
<b>C12</b>	P	K	S	C	D	K	T	H	T	C	P	C	C	P
<b>C14</b>	P	K	S	C	D	K	T	H	T	C	P	P	C	C
$\Delta 2$	P	-	S	C	D	K	T	H	T	C	P	P	C	P
$\Delta 6$	P	K	S	C	D	-	T	H	T	C	P	P	C	P
$\Delta 9$	P	K	S	C	D	K	T	H	-	C	P	P	C	P
$\Delta 1-3$	-	K	-	C	D	K	T	H	T	C	P	P	C	P
$\Delta 2-5$	P	-	S	C	-	K	T	H	T	C	P	P	C	P
$\Delta 6-9$	P	K	S	C	D	-	T	H	-	C	P	P	C	P
$\Delta 5-6$	P	K	S	C	-	-	T	H	T	C	P	P	C	P
$\Delta 8-11$	P	K	S	C	D	K	T	-	T	C	-	P	C	P
$\Delta 9-14$	P	K	S	C	D	K	T	H	-	C	P	P	C	-
$C7\Delta 6$	P	K	S	C	D	-	C	H	T	C	P	P	C	P
$C6\Delta 9$	P	K	S	C	D	C	T	H	-	C	P	P	C	P
$C2\Delta 5$ -7	P	C	S	C	-	K	-	H	T	C	P	P	C	P
$C5\Delta 2$ -6	P	-	S	C	C	-	T	H	T	C	P	P	C	P
$C9\Delta 2$ -7	P	-	S	C	D	K	-	H	C	C	P	P	C	P
$\Delta 4-5-$ <b>6</b>	P	K	S	-	-	-	T	H	T	C	P	P	C	P
$\Delta 5-6-$ <b>7-8</b>	P	K	S	C	-	-	-	-	T	C	P	P	C	P
<b>IgG1/ IgG2</b>	P	K	S	C	D	K	C	V	E	C	P	P	C	P

სახსრული უბნის ინჟინერიის ნიმუშად არჩეული იყო თაგვის ანტი-c-Met Mab-ის, რომელსაც 224G11 ეწოდება, ვარიაბელური დომენი (მძიმე და მსუბუქი ჯაჭვები).

თაგვის ანტისხეულის ეს თანამიმდევრობები ჯერ შერწყმულ იქნა ადამიანის ანტისხეულის მუდმივ დომენებთან [Ckappa] მსუბუქი ჯაჭვისათვის და [CH1-სახსარი-CH2-CH3] ადამიანის IgG1 მძიმე ჯაჭვისათვის. სახსრული უბნის მოდიფიკაცია შესრულებული იყო {Nhel-Bcl1} რესტრიქციის

ფრაგმენტის შეცვლით სასურველი მოდიფიკაციის მატარებელი გვივალენტური წილით, ამასთან ყოველი შესაბამისი {Nhel-Bcl1} ფრაგმენტი სინთეზირებული იყო გენების გლობალური სინთეზის საშუალებით (Genecust, LU). სახსრული უბნის ყველა ახალი მუტანტი კონსტრუირებული იყო იგივე საფუძველზე.

კლონირების ყველა ეტაპი სრულდებოდა ჩვეულებრივი მოლეკულურ ბიოლოგიური ტექნიკის მიხედვით, როგორც აღწერილია ლაბორატორიულ სახელმძღვანელოში (Sambrook and Russel, 2001) ან მომწოდებლის ინსტრუქციების მიხედვით. ყოველი გენუტიკური კონსტრუქცია სრულად იყო შემოწმებული ნუკლეოტიდების თანამიმდევრობების განსაზღვრის საშუალებით Big Dye ტერმინატორებით (Applied Biosystems, US) და ანალიზირებული 3100 Genetic Analyzer-ის გამოყენებით (Applied Biosystems, US).

სუსპენზია-ადაპტირებული HEK293 EBNA უჯრედები (InVitrogen, US) ჩვეულებრივ იქნა გაზრდილი 250 მლ-იან კოლბებში 50 მლ შრატისაგან თავისუფალ გარემოში ExCELL 293 (SAFC Biosciences), რომელშიც დამატებული იყო 6 მმოლი გლუტამინი ორბიტალურ შეიკერზე (110 ციკლი წუთში (rpm) ბრუნვის სიჩქარე). ტრანზიტული ტრანსფექცია შესრულებული იყო  $2.10^6$  უჯრედი/მლ ხაზოვანი 25 კდალტონი პოლიეთილენიმინის (PEI) გამოყენებით (Polysciences), რომელიც დამზადებული იყო წყალში საბოლოო კონცენტრაციით 1 მგ/მლ და პლაზმიდის dnm-ის გამოყენებით (საბოლოო კონცენტრაცია 1.25 მგ/მლ, მძიმე ჯაჭვის მსუბუქ ჯაჭვთან პლაზმიდის შეფარდებისათვის 1:1). ტრანსფექციიდან 4 საათის შემდეგ კულტურა განზავებულ იქნა ახალი მკვებავი გარემოს ერთი მოცულობით, რათა მიღებული ყოფილიყო უჯრედების საბოლოო სიმკვრივე  $10^6$  უჯრედი/მლ. კულტივაციის პროცესის მონიტორინგი მიმდინარეობდა უჯრედების სიცოცხლისუნარიანობისა და Mab-ის წარმოების საფუძველზე. ჩვეულებრივ, კულტურები ინახებოდა 4-დან 5 დღემდე. Mab-ები სუფთავდებოდა ჩვეულებრივი ქრომატოგრაფიული მეთოდის გამოყენებით Protein A ფისზე (Ge Healthcare, US).

Mab-ების ყველა სხვადასხვა ფორმა იწარმოებოდა ფუნქციური შეფასებისათვის შესაფერის დონეზე. გასუფთავებული Mab-ების წარმოების დონეები ჩვეულებრივ არის 15-დან 30 მგ/ლ-მდე ფარგლებში.

### **მაგალითი 3: ინჟინერიით მიღებული Mab-ების შეფასება ფოსფო-c-Met-სპეციფიკურ ELISA ანალიზში**

A549 უჯრედები დათესილ იქნა 12 მრავალფოსოიან (MW) თასში ზრდის სრულ მკვებავ გარემოში [F12K+10% FCS]. HGF-ით [100 ნგ/მლ] სტიმულაციამდე 16 საათით ადრე უჯრედები აშიმშილეს და ლიგანდით სტიმულაციამდე 15 წუთით ადრე მათ დაემატა თითოეული სატესტო Mab 30 მგ/მლ საბოლოო კონცენტრაციით. დამატებულ იქნა ყინულით გაცივებული ლიზისის ბუფერი HGF-ის დამატებიდან 15 წუთის შემდეგ, რათა შეეჩერებინათ ფოსფორილების რეაქცია. უჯრედები აფხევილ იქნა მექანიკურად და უჯრედების ლიზატი მოგროვებულ იქნა ცენტრიფუგირების საშუალებით 13000 ციკლი წუთში (rpm) ბრუნვის სიჩქარით 10 წუთში და  $4^{\circ}\text{C}$  ტემპერატურის პირობებში და იგი შეესაბამებოდა სუპერნატანტის ფაზას. პროტეინის შემცველობა გამოთვლილ იქნა BCA კომპლექტის (Pierce) გამოყენებით და გამოყენებამდე გააჩერეს  $-20^{\circ}\text{C}$  ტემპერატურაზე. c-Met-ის ფოსფორილების სტატუსი დადგენილ იქნა ELISA-ს საშუალებით. თხის ანტი-c-Met Mab (R&D, ref AF276) იყო გამოყენებული ჩამჭერ ანტისხეულად (დამის განმავლობაში გადაფარვა  $4^{\circ}\text{C}$ -ზე) და TBS-BSA-5%-იანი ბუფერით გაჯერების საფეხურის შემდეგ (1 საათი თთახის ტემპერატურაზე (RT)), დამატებულ იქნა 25 მგგ პროტეინის ლიზატებისა გადაფარულ 96MW თასის ყოველ ფოსიში. თთახის ტემპერატურაზე (RT) 90 წუთის განმავლობაში ინკუბიის შემდეგ, თასები გაირეცხა თოხჯერ და დამატებულ იქნა დეტექტირების ანტისხეული (ანტი-ფოსფო-c-Met Mab, მიმართული ფოსფორილებული Tyr ნაშთების წინააღმდეგ პოზიციებზე 1230, 1234 და 1235). დამატებითი 1 საათიანი ინკუბაციისა და 4 გარეცხვის შემდეგ, დამატებულ იქნა ანტი-ბოცვერის ანტისხეული შეუდლებული HRP-თან (Biosource), 1 საათის განმავლობაში RT-ზე, ხოლო ლუმინესცენციის დეტექტირება ხორციელდებოდა Luminol-ის დამატების საშუალებით. ლუმინესცენციის ანალიზები რეგისტრირდებოდა Mitras LB920 მრავალტიპიან თასების რეგისტრატორზე (Berthold).

c-Met რეცეპტორის ფოსფორილების ცდაში კონსტრუირებულ და გაანალიზებულ იქნა მძიმე ჯაჭვის სახსრული დომენის ინჟინერით მიღებული ვერსიების სერიები. როგორც ფიგურაზე 2A არის ნაჩვენები, 224G11[IgG1-Chim]-თან შედარებით აღინიშნებოდა hIgG1/კაპა იზოტიპთან ასოცირებული აგონისტური ეფექტის მნიშვნელოვანი შემცირება ორივე IgG2-დაფუძნებულ კონსტრუქციისათვის და ინჟინერით მიღებული ზოგიერთი კონსტრუქციისათვის [MH, MUP9H და TH7, ფიგ.2A]. ყველაზე სუსტი და შესადარი აგონისტური აქტიურობა აღინიშნა 224G11[MH-IgG1]-ს, რომელიც შეიცავს თაგვის IgG1-ის სრულ სახსრულ უბანს და 224G11[TH7]-ს, რომელიც შეიცავს გენური ინჟინერით მიღებული ადამიანის IgG1-ის უმეტეს სახსრულ უბანს. მიღებულ იქნა აგრეთვე ანტაგონისტური ეფექტურობის თანმდევი ზრდა [ფიგ.2B]. ამრიგად, ორივე, IgG2-დაფუძნებული და ინჟინერით მიღებული hIgG1/კაპა-დაფუძნებული TH7 მუტანტი, ასოცირებული თაგვის 224G11 ვარიაბელურ დომენთან, ამჟღავნებს ფუნქციურ აქტივობას, რომელიც თითქმის მსგავსია თაგვის 224G11 Mab-ის ფუნქციური აქტივობისა. თუმცა 224G11[MMCH-IgG1-chim]-ის 224G11[IgG1-chim]-თან აგონისტურ/ანტაგონისტური აქტივობების შედარებამ აჩვენა, რომ გაზრდილი ანტაგონისტური აქტივობის მიღება შესაძლებელი იქნებოდა ანტისხეულის ინჟინერით, დამოუკიდებლად ამ ანტისხეულის დამახასიათებელი აგონისტური თვისებებისგან.

მძიმე ჯაჭვის სახსრული დომენის ინჟინერით მიღებული ვერსიების მეორე სერია კონსტრუირებულ და გაანალიზირებულ იქნა c-Met რეცეპტორის ფოსფორილების ცდაში. როგორც ფიგ.11A-დან ჩანს, ამინომჟავას ჩანაცვლება მძიმე ჯაჭვის სახსრულ დომენში ცისტეინის ნაშთების შეტანით, ახდენს ანტისხეულების აგონისტური ეფექტის მოდიფიცირებას. მართლაც, ერთის მხრივ, ზოგიერთი მუტანტი ვერსია ამჟღავნებს უფრო სუსტ აგონისტურ ეფექტს, ვიდრე c224G11, როგორც მაგალითად, c224G11[C2], c224G11[C3], c224G11[C5], c224G11[C6] ან c224G11[C7], მაშინ როცა სხვები ავლენენ გაზრდილ აგონისტურ ეფექტს, მაგალითად, c224G11[C11], c224G11[C12] და c224G11[C14]. გარდა ამისა, ამინომჟავების დელეციაც მძიმე ჯაჭვის სახსრულ უბანში, დამოუკიდებლად იმისგან ასოცირებულია იგი თუ არა ამინომჟავას ჩანაცვლებასთან, ასევე ახდენს ანტისხეულების აგონისტური თვისებების მოდიფიცირებას [ფიგ.11B]. მაგალითად, c224G11[Δ1-3], c224G11[Δ4-5-6],

c224G11[Δ5-6-7-8], c224G11[C7Δ6], c224G11[C6Δ9], c224G11[C2Δ5-7], c224G11[C5Δ2-6] ან c224G11[C9Δ2-7]-მა აჩვენეს უფრო სუსტი აგონისტური ეფექტი, ვიდრე c224G11-მა, ხოლო c224G11[Δ8-11]-მა აჩვენა უფრო ძლიერი აგონისტური ეფექტი. ისევე, როგორც c224G11[TH7] შემთხვევაში, ყველა ახალი ვერსია, რომელიც ამჟღავნებს უფრო სუსტ აგონისტურ ეფექტს, აჩვენებს ანტაგონისტური ეფექტურობის თანმდევ ზრდას [ფიგურები 12A და 12B], მაშინ როცა უფრო ძლიერი აგონისტური ეფექტის მქონე ანტისხეულებს გააჩნიათ უფრო სუსტი ანტაგონისტური ეფექტურობა.

მოცემულ განაცხადში კუთხური ფრჩხილების გამოყენება არ არის აუცილებელი და, მაგალითისათვის, აღნიშვნა [224G11][IgG2chim] უნდა ჩაითვალოს 224G11IgG2chim-ის იდენტურად. ასევე, იმის მითითებისათვის რომ ანტისხეული არის თაგვის ანტისხეული, შეიძლება დანატებულ იქნეს სიტყვა “თაგვის” ან ასო m; იმის მითითებისათვის, რომ ანტისხეული არის ქიმერული ანტისხეული შეიძლება დამატებულ იქნეს chim ან ასო c; და იმის მითითებისათვის, რომ ანტისხეული არის პუმანიზებული ანტისხეული, შეიძლება დამატებულ იქნეს გამოსახულება hum ან ასო h. მაგალითისათვის, ქიმერული ანტისხეული 224G1IgG2 შეიძლება აღნიშნული იყოს როგორც c224G11IgG2, c224G11[IgG2], c[224G11]IgG2, c[224G11][IgG2], 224G11IgG2chim, 224G11[IgG2chim], [224G11]IgG2chim ან [224G11][IgG2chim].

სიმბოლო Δ აღნიშნავს დელეციას.

#### **გაგალითი 4: BRET ანალიზი**

ექსპერიმენტების პირველ კომპლექტში კონტროლირდებოდა, რომ შეუსაბამო თაგვის IgG1, ადამიანის IgG1 და ადამიანის IgG2-ს არავითარი გავლენა არ ჰქონდა HGF-ით ინდუცირებულ BRET სიგნალზე ორივე BRET მოდელში (ფიგ.3). ეს Mab-ები შემდგომ გამოყენებული იყო როგორც კონტროლი.

შემდეგ შეფასებულ იქნა თაგვის 224G11 Mab ([224G11]chim), თაგვის 11E1 Mab ([11E1]chim) და თაგვის 227H1 Mab ([227H1]chim) IgG1-ის ქიმერული ფორმების გავლენა c-Met-ის დიმერიზაციასა და აქტივაციაზე BRET მოდელში.

მაშინ როცა, თაგვის 224G11 Mab ახდენს HGF-ით ინდუცირებული BRET სიგნალის 59% ინპიბირებას c-Met დიმერიზაციის მოდელში, [224G11]chim Mab

აინპიბირებს მხოლოდ 29% (ფიგ.4). [224G11]chim ანტისხეული ასევე ნაკლებად ეფექტურია HGF-ით ინდუცირებულ c-Met აქტივაციაში, ვინაიდან [224G11]chim და m224G11 ანტისხეულები ახდენენ HGF ინდუცირებული BRET სიგნალის ინპიბირებას 34.5% და 56.4% (ფიგ.5). გარდა ამისა, ცალკე მხოლოდ m224G11-ს არაგითარი გავლენა არ ჰქონდა c-Met აქტივაციაზე, მაშინ როცა, [224G11]chim-მა გამოამუდავნა ნაწილობრივი აგონისტური ეფექტი c-Met აქტივაციაზე, რაც შეესაბამებოდა 32.9% HGF-ით ინდუცირებული სიგნალისა. [224G11]chim-ის ეს ნაწილობრივი აგონისტური ეფექტი ასევე გამოჩნდა c-Met დიმერიზაციის BRET მოდელზე, რადგან [224G11]chim მარტო ინდუცირებდა BRET სიგნალის ზრდას, რაც შეესაბამებოდა HGF-ით ინდუცირებული სიგნალის 46.6% შედარებით 21.3%-თან m224G11-თვის.

მძიმე ჯაჭვის სახსრული დომენის გენური ინჟინერიით მიღებული ვერსიების მეორე სერიის აგონისტური ეფექტურობა შეფასებულ იქნა c-Met აქტივაციის BRET მოდელში (ფიგურები 13A და 13B). c224G11-ის საპირისპიროდ, რომელსაც გააჩნდა ნაწილობრივი აგონისტური ეფექტი c-Met აქტივაციაზე, 224G11 ანტისხეულის სახსარის სხვადასხვა მუტაციის ქიმერულ ფორმებს, რომლებიც შეიცავდა ამინომჟავას ჩანაცვლებას, ამინომჟავას დელეციას, ან ორივეს, არ გააჩნდა მნიშვნელოვანი გავლენა cMet აქტივაციაზე, ესენია: c224G11[C2], c224G11[C3], c224G11[C5], c224G11[C6], c224G11[C7], c224G11[Δ1-3], c224G11[Δ4-5-6], c224G11[Δ5-6-7-8], c224G11[C7Δ6], c224G11[C6Δ9], c224G11[C2Δ5-7], c224G11[C5Δ2-6] ან c224G11[C9Δ2-7]. საპირისპიროდ, სახსარის მუტაციით მიღებულმა სხვა ქიმერულმა ფორმებმა აჩვენეს გაზრდილი აგონისტური ეფექტი, ესენია: c224G11[Δ6], c224G11[C11], c224G11[C12] და c224G11[C14].

#### **მაგალითი 5: c-Met-ის ამოცნობა ქიმერული და ჰუმანიზებული 224G11 ფორმების მიერ**

რეკომბინანტულ c-Met-ზე სხვადასხვა ქიმერული და ჰუმანიზებული ფორმების ბმის უნარის განსაზღვრის მიზნით ჩატარებულ იქნა პირდაპირი ELISA. ცდის მოკლე აღწერილობა შემდეგია: რეკომბინანტული დიმერული c-Met, მიღებული R&D Systems-დან, 1.25 მკგ/მლ, დაფარულ იქნა 96 ფოსოიან Immunlon II თასებზე. დამის განმავლობაში ინკუბაციის შემდეგ 4°C

ტემპერატურის პირობებში, ფოსოები გაჯერებულ იქნა 0.5% ჟელატინი/PBS ხსნარით. ამის შემდეგ სატესტო ანტისხეულების ორჯერადად განზავებული ხსნარების დამატებამდე, თასები ინკუბირებულ იქნა 1 საათის განმავლობაში 37°C ტემპერატურის პირობებში. თაგვის ანტისხეულის დეტექტირებისათვის თხის ანტი-თაგვი IgG HRP-ს დამატებამდე და ქიმიური და ჰუმანიზებული ანტისხეულის ამოცნობის მიზნით თხის ანტი-ადამიანი Kappa მსუბუქი ჯაჭვის HRP-ს დამატებამდე თასები ინკუბირებულ იქნა დამატებითი ერთი საათის განმავლობაში. შემდეგ თასები ინკუბირებულ იქნა ერთი საათის განმავლობაში, რის შემდეგაც დამატებულ იქნა პეროქსიდაზას სუბსტრატი TMB Uptima 5 წუთის განმავლობაში 1 მოლი H<sub>2</sub>SO<sub>4</sub>-ით ნეიტრალიზაციამდე. შედეგები მოცემულია ფიგურებზე 6A და 6B, რომლებიდანაც ჩანს, რომ ყველა ტესტირებული ფორმა შესაძარია c-Met ამოცნობისათვის.

#### **მაგალითი 6: თაგვისა და ქიმიური ანტისხეულების გავლენა HGF-ინდუცირებული NCI-H441 უჯრედების პროლიფერაციაზე *in vitro***

NCI-H441 უჯრედები ATCC-დან ჩვეულებრივ იქნა კულტივირებული RPMI 1640 მკებავ გარემოში (Invitrogen Corporation, Scotland, UK), 10% FCS-ში (Invitrogen Corporation), 1% L-გლუტამინში (Invitrogen Corporation). პროლიფერაციის ცდებისათვის გამოყენებამდე 3 დღით ადრე უჯრედები დაყოფილ იქნა ისე, რომ დათესვის წინ ისინი იმყოფებოდნენ მთლიანი ზრდის ფაზაში. NCI-H441 უჯრედები დათესილ იქნა 96 ფოსოიან, ქსოვილის კულტივირებისათვის განკუთვნილ თასებში სიმკვრივით 3.75x10<sup>4</sup> უჯრედი/ფოსოზე, 200 მკლ უშრატო გარემოში (RPMI 1640 მკებავი გარემო პლუს 1% L-გლუტამინი). დათესვიდან 24 საათის შემდეგ, სატესტო ანტისხეულები დამატებულ იქნა NCI-H441 უჯრედებზე და ინკუბირებულ იქნა 37°C ტემპერატურის პირობებში, 30 წუთის განმავლობაში მანამ, სანამ დამატებული იქნებოდა HGF საბოლოო კონცენტრაციით 400 ნგ/მლ (5 ნმოლი) დამატებითი 142 საათის განმავლობაში. თითოეული ანტისხეულისათვის ტესტირებული დოზების დიაპაზონი იყო 10-დან 0.0097 მკგ/მლ-მდე (საბოლოო კონცენტრაცია ყოველ ფოსოში). ამ ექსპერიმენტში თაგვის IgG1 Mab დამატებულ იქნა როგორც თაგვის იზოტიპის კონტროლი, ხოლო სატესტო ანტისხეულები იყო: m224G11, m11E1, m227H1 და მათი ადამიანის IgG1-ის

ქიმიური ფორმები, შესაბამისად აღნიშნული როგორც [224G11]chim, [11E1]chim და [227H1]chim. შეტანილ იქნა აგრეთვე მხოლოდ უჯრედებდათესილი ფოსფები -/+ HGF. შემდეგ უჯრედები 0.25 მიკროკიური ( $\mu\text{Ci}$ )  $[^3\text{H}]$ თიმიდინთან (Amersham Biosciences AB, Uppsala, Sweden) ერთად ინჯდრეოდა 7 საათისა და 30 წუთის განმავლობაში.  $[^3\text{H}]$ თიმიდინის რაოდენობა, რომელიც ჩართულ იქნა ტრიქლორმარმეაგა-უხსნად  $\text{dpm}\cdot\text{ში}$ , დათვლილ იქნა თხევადი სცინტილაციის გამოთვლის საშუალებით. შედეგები გამოსახულ იქნა როგორც არატრანსფორმირებული ციკლი წუთში (cpm) მონაცემები, რათა უკეთესად იქნეს შეფასებული პოტენციალური საკუთარი აგონისტური აქტივობა, რომელიც შეიძლება ახასიათებდეს ანტი-c-Met Mab-ებს, როდესაც ისინი ცალკე ემატება სიმსივნის უჯრედებს.

როგორც მოსალოდნელი იყო, ფიგურებზე 7A, 7B და 7C გამოსახული შედეგები გვიჩვენებს, რომ თაგვის ანტისხეულები კიბოს უჯრედებზე მარტო, ნებისმიერი სატესტო დოზით დამატებისას, არ ამჟღავნებს აგონისტურ ეფექტს. HGF-ინდუცირებულ პროლიფერაციაზე მნიშვნელოვან ზეგავლენას არ ჰქონდა ადგილი იზოტიპის კონტროლის მხრიდან, ამ ექსპერიმენტში ამ იზოტიპის კონტროლისათვის აღნიშნულ მაღალ ციკლი წუთში (cpm) ვარიაციებთან მიმართებაში. mIgG1 იზოტიპის კონტროლის Mab-თან ან მხოლოდ უჯრედებთან შედარებით, ცალკე დამატებისას არც თაგვის m224G11, m11E1 ან m227H1 ანტისხეულები ამჟღავნებდენ რაიმე აგონისტურ ეფექტს. დოზაზე დამოკიდებულმა ანტი-პროლიფერაციის აქტივობამ მიაღწია 78%, 80% ან 80% შესაბამისად m224G11, m11E1 ან m227H1 Mab-ებისთვის (ინპიბირების % გამოთვლა:  $100 \cdot [(cpm \text{ უჯრედები} + \text{Mab სატესტო-საშუალო cpm ფონის mIgG1}) \times 100 / (\text{საშუალო cpm უჯრედები} + \text{HGF-საშუალო cpm მარტო უჯრედები})]$ ). გასაოცარია, მაგრამ ამ სამი Mab-ის ქიმიურ ფორმას აღნიშნება მნიშვნელოვანი, დოზაზე დამოკიდებული აგონისტური ეფექტის ინდუცირება ცალკე დამატებისას, ზრდის სტიმულაციით, რომელიც [11E1]chim და [227H1]chim-თვის ახლოს არის HGF-ით გამოწვეულ ზრდის სტიმულაციასთან. ამ 2 ანტისხეულისათვის, რომლებიც აჩვენებს განსაკუთრებით მაღალ საკუთარ აგონისტურ აქტივობას, ანტაგონისტური ეფექტი მნიშვნელოვნად შემცირებული იყო, აღინიშნებოდა 53% და 21% მაინპიბირებელი ეფექტი შედარებით 80%-თან, რომელსაც ადგილი ჰქონდა

ორივე მათი თაგვის ფორმისათვის. აგონისტური ეფექტი, რომელიც აღინიშნებოდა ქიმერულ [224G11]chim-თვის ასევე დოზადამოკიდებულია, მაგრამ უფრო დაბალი, ვიდრე [11E1]chim და [227H1]chim-თვის აღნიშნული ეფექტი. თუმცა ამ აგონისტურ ეფექტს გავლენა პქონდა HGF-ინდუცირებულ პროლიფერაციის *in vitro* ინკიბირებაზე, რომელმაც თაგვის m224H1-ის 78%-დან წაინაცვლა 50%-კენ მისი ქიმერული ფორმისათვის. იმის განსასაზღვრავად არის თუ არა ასეთი “უფრო დაბალი” *in vitro* საკუთარი აგონისტური აქტივობა თავსებადი უცვლელ *in vivo* ეფექტთან, ორივე m224G11 და [224G11]chim წარმოებულ იქნა *in vivo* ტესტირებისათვის. წინა კვლევების მსგავსად, 30 მკგ/თაგვი დოზამ აჩვენა მნიშვნელოვანი აქტივობა და ეს დოზა იქნა არჩეული *in vivo* შეფასებისათვის.

#### **მაგალითი 7: NCI-H441 ქსენოტრანსპლანტაციის მოდელზე თაგვისა და ქიმერული 224G11 Mab-ების *in vivo* შედარება**

NCI-H441 მიღებულ იქნა ფილტვის პაპილარული ადენოკარცინომადან, მას აღენიშნებოდა c-Met-ის მაღალი დონეები და c-Met RTK-ს არსებითი ფოსფორილება.

NCI-H441 ქსენოტრანსპლანტაციურ მოდელზე ანტისხეულების *in vivo* ეფექტის შეფასებისათვის რვა კვირის ასაკის ექვსი თაგვი მოთავსებულ იქნა სტერილური ფილტრით გადაფარულ გალიებში, რომლებიც სტერილურ პირობებში იმყოფებოდა და მანიპულირება მიმდინარეობდა ფრანგული და ევროპული ინსტრუქციების მიხედვით. თაგვებს კანქვეშ გაუკეთდათ  $9 \times 10^6$  უჯრედის ინგენია. უჯრედების იმპლანტაციიდან 6 დღის შემდეგ სიმსივნეები გაზომვადი იყო (დაახლოებით 100 მმ<sup>3</sup>), ცხოველები დაიყო შესადარი ზომის სიმსივნეების მქონე 6 თაგვისაგან შედგენილ ჯგუფებად და მათი მკურნალობა დაიწყო 60 მკგ/თაგვი დარტყმითი დოზით და შემდეგ კვირაში ორჯერ კეთდებოდა ყოველი სატესტო ანტისხეულის 1 მგ/დოზა. თაგვებში ხდებოდა ქსენოტრანსპლანტაციის ზრდის დაპვირვება. სიმსივნის მოცულობა გამოითვლებოდა ფორმულით:  $\pi(P_i)/6X_{\text{სიგრძე}} X_{\text{სიგანე}} X_{\text{სიმაღლე}}$ . ფიგურაზე 8 გამოსახული შედეგები გვიჩვენებს, რომ თაგვის Mab, რომელსაც არ აღენიშნებოდა აგონისტური აქტივობა, როგორც მოსალოდნელი იყო, *in vivo* იქცეოდა როგორც ძლიერი ანტაგონისტი დაბალი სატესტო დოზის

შემთხვევაშიც. თაგვის Mab-თან დაკავშირებით აღნიშნულის საპირისპიროდ, ქიმერული Mab ამჟღავნებდა ძლიერ ტრანზიტულ *in vivo* აქტივობას და სიმსივნე სრულიად არ დაექვემდებარა მკურნალობას D20-ით უჯრედების ინექციის შემდეგ. ამ ექსპერიმენტით ნათლად არის ნაჩვენები, რომ *in vitro* აგონისტური უფექტის ზრდა, რაც იწვევს ანტაგონისტური აქტივობის შემცირებას, ასევე სამართლიანია ანტაგონისტური აქტივობის *in vivo* მნიშვნელოვანი დანაკარგის თვალსაზრისით.

**მაგალითი 8: NCI-H441 უჯრედების HGF-ინდუცირებულ პროლიფერაციაზე თაგვის 224G11 Mab-ის და ამ ანტისხეულის ქიმერული და ჰუმანიზებული სხვადასხვა ვერსიების *in vitro* ეფექტი**

NCI-H441 უჯრედები ATCC-დან ჩვეულებრივ იქნა კულტივირებული RPMI 1640 მკვებავ გარემოში (Invitrogen Corporation, Scotland, UK), 10% FCS-ში (Invitrogen Corporation), 1% L-გლუტამინში (Invitrogen Corporation). პროლიფერაციის ცდებისათვის გამოყენებამდე 3 დღით ადრე უჯრედები დაყოფილ იქნა ისე, რომ დათესვის წინ ისინი იმყოფებოდნენ მთლიანი ზრდის ფაზაში. NCI-H441 უჯრედები დათესილ იქნა 96 ფოსოიან, ქსოვილის კულტივირებისათვის განკუთვნილ თასებში სიმკვრივით  $3.75 \times 10^4$  უჯრედი/დრმულზე 200 მკლ უშრატო გარემოში (RPMI 1640 მკვებავი გარემო პლუს 1% L-გლუტამინი). დათესვიდან 24 საათის შემდეგ, სატესტო ანტისხეულები დამატებულ იქნა NCI-H441 უჯრედებზე და ინკუბირებულ იქნა  $37^\circ\text{C}$  ტემპერატურის პირობებში 30 წუთის განმავლობაში მანამ, სანამ დამატებული იქნებოდა HGF საბოლოო კონცენტრაციით 400 ნგ/მლ (5 ნმოლი) დამატებითი 142 საათის განმავლობაში. თითოეული ანტისხეულისათვის ტესტირებული დოზების დიაპაზონი იყო 10-დან 0.0097 მკგ/მლ-მდე (საბოლოო კონცენტრაცია ყოველ ფოსოში). ამ ექსპერიმეტში თაგვის IgG1 Mab დამატებულ იქნა როგორც თაგვის იზოტიპის კონტროლი და როგორც აგონისტური უარყოფითი კონტროლი. სატესტო ანტისხეულები იყო: i) m224G11, ii) მისი ადამიანის IgG1-ის ქიმერული ფორმები, რომლებიც შესაბამისად აღნიშნულია, როგორც [224G11]chim, [224G11][MHchim], [224G11][MUP9Hchim], [224G11][MMCHchim], [224G11][TH7chim] და iii) მისი ჰუმანიზებული ფორმები, რომლებიც აღნიშნულია, როგორც [224H1][Hz1],

[224H1][Hz2], [224H1][Hz3]. შეტანილ იქნა აგრეთვე მხოლოდ უჯრედებდათესილი ფოსოები -/+ HGF. 5D5 მთლიანი ანტისეეული Genentech-იდან, რომელიც კომერციულად არის ხელმისაწვდომი ATTC-ში როგორც პიბრიდომას უჯრედების ხაზი, შეტანილ იქნა როგორც სრული აგონისტური დადებითი კონტროლი და შემდგომში აღინიშნება როგორც m5D5. შემდეგ უჯრედები 0.25 მიკროკიური ( $\mu$ Ci) [ $^3$ H]თიმიდინთან (Amersham Biosciences AB, Uppsala, Sweden) ერთად ინჯდრეოდა 7 საათისა და 30 წუთის განმავლობაში. [ $^3$ H]თიმიდინის რაოდენობა, რომელიც ჩართულ იქნა ტრიქლორმარმუავაუხსნად  $\text{dpm}$ -ში, დათვლილ იქნა თხევადი სცინტილაციის გამოთვლის საშუალებით. შედეგები გამოსახულ იქნა, როგორც არატრანსფორმირებული ციკლი წუთში (cpm) მონაცემები, რათა უკეთესად ყოფილიყო შეფასებული პოტენციალური საკუთარი აგონისტური აქტივობა, რომელიც შეიძლება ახასიათებდეს ანტი-c-Met Mab-ებს, როდესაც ისინი ცალკე ემატება სიმსივნის უჯრედებს.

ფიგურაზე 9A ასახულმა შედეგებმა აჩვენა, რომ როგორც მოსალოდნელი იყო, არც იზოტიპის კონტროლს და არც m224G11-ს არ გამოუმუდავნებია რაიმე აგონისტური აქტივობა NCI-H441 პროლიფერაციაზე. იზოტიპის კონტროლს HGF-ინდუცირებულ უჯრედების პროლიფერაციაზე არავითარი გავლენა არ ჰქონია, მაგრამ m224G11-ს აღმოაჩნდა 66% ინჰიბირების უნარი 10 მკგ/მლ საბოლოო კონცენტრაციით დამატებისას. m5D5-მა, რომელიც აგონისტ-კონტროლად იყო გამოყენებული, აჩვენა, როგორც მოსალოდნელი იყო, სრულად დოზაზე დამოკიდებული აგონისტური ეფექტი უჯრედებზე ცალკე დამატებისას. როგორც უკვე დაკვირვებული იყო, [224G11]chim Mab ამჟღავნებს მნიშვნელოვან დოზადამოკიდებულ აგონისტურ ეფექტს და შემცირებულ ინჰიბიტორულ აქტივობას: 19% ნაცვლად თაგვის ფორმის 66%-ისა. ცალკე დამატებისას სამი IgG1 ჰუმანიზებული Mab ამჟღავნებდა დოზადამოკიდებულ აგონისტურ ეფექტს m224G11 ფორმასთან შედარებით. [224G11][Hz1], [224G11][Hz2], [224G11][Hz3]-ს აღენიშნებათ შესადარი ანტაგონისტური აქტივობა, რომელიც დაახლოებით 46, 30 და 35% ტოლია. აქტივობის ეს სიდიდეები მნიშვნელოვნად ნაკლებია ვიდრე m224G11-თვის მიღებული აქტივობა. ფიგურაზე 9B გამოსახულია სხვადასხვა IgG1 ქიმერული ფორმების ტესტირების შედეგები. [224G11]chim ფორმასთან

შედარებით, რომელსაც NCI-H441 უჯრედებზე ცალკე დამატებისას აღენიშნება დოზადამოკიდებული აგონისტური ეფექტი, [224G11][MH chim], [224G11][MUP9H chim], [224G11][MMCH chim], [224G11][TH7 chim] ფორმებს არ აღმოაჩნდათ მნიშვნელოვანი აგონისტური ეფექტი. მათი ანტაგონისტური აქტივობა მეტი აღმოჩნდა, ვიდრე m224G11 Mab-ის ანტაგონისტური აქტივობა (57%), და ინჰიბირების სიდიდე იყო 79, 78, 84 და 93% შესაბამისად [224G11][MH chim], [224G11][MUP9H chim], [224G11][MMCH chim], [224G11][TH7 chim]-თვის.

#### **მაგალითი 9: 224G11 Mab-ის სხვადასხვა IgG1 ქიმერული და პუმანიზებული ფორმის *in vitro* ეფექტი**

NCI-H441 უჯრედები ATCC-დან ჩვეულებრივ იქნა კულტივირებული RPMI 1640 მკვებავ გარემოში (Invitrogen Corporation, Scotland, UK), 10% FCS-ში (Invitrogen Corporation), 1% L-გლუტამინში (Invitrogen Corporation). პროლიფერაციის ცდებისათვის გამოყენებამდე 3 დღით ადრე უჯრედები დაყოფილ იქნა ისე, რომ დათესვის წინ ისინი იმყოფებოდა მთლიანი ზრდის ფაზაში. NCI-H441 უჯრედები დათესილ იქნა 96 ფოსოიან, ქსოვილის კულტივირებისათვის განკუთვნილ თასებში სიმკვრივით  $3.75 \times 10^4$  უჯრედი/ფოსოზე 200 მკლ უშრატო გარემოში (RPMI 1640 მკვებავი გარემო პლუს 1% L-გლუტამინი). დათესვიდან 24 საათის შემდეგ, სატესტო ანტისხეულები დამატებულ იქნა NCI-H441 უჯრედებზე და ინკუბირებულ იქნა  $37^\circ\text{C}$  ტემპერატურის პირობებში 30 წუთის განმავლობაში მანამ, სანამ დამატებული იქნებოდა HGF საბოლოო კონცენტრაციით 400 ნგ/მლ (5 ნმოლი) დამატებითი 142 საათის განმავლობაში. თითოეული ანტისხეულისათვის ტესტირებულული დოზების დიაპაზონი იყო 10-დან 0.0097 მკგ/მლ-მდე (საბოლოო კონცენტრაცია ყოველ ლრმულში). ამ ექსპერიმენტში თაგვის IgG1 Mab დამატებულ იქნა როგორც ფონის უარყოფითი კონტროლი აგონისტური აქტივობისათვის. სატესტო ანტისხეულები იყო: i) m224G11, ii) მისი ადამიანის IgG1-ის ქიმერული ფორმები, რომლებიც შესაბამისად აღნიშნულია, როგორც [224G11]chim, [224G11][TH7chim] iii) მისი პუმანიზებული IgG1 ფორმები, რომლებიც აღნიშნულია, როგორც [224G11][TH7 Hz1], [224G11][TH7 Hz3]. შეტანილ იქნა აგრეთვე მხოლოდ უჯრედებდათესილი ფოსოები -/+ HGF. 5D5

მთლიანი ანტისეული Genentech-დან, რომელიც კომერციულად არის ხელმისაწვდომი ATTC-ში როგორც პიბრიდომას უჯრედების ხაზი, შეტანილ იქნა როგორც სრული აგონისტური დადებითი კონტროლი და შემდგომში აღინიშნება როგორც m5D5. შემდეგ უჯრედები 0.25 მიკროკიური ( $\mu\text{Ci}$ ) [ $^3\text{H}$ ]თიმიდინთან (Amersham Biosciences AB, Uppsala, Sweden) ერთად ინჯლრეოდა 7 საათისა და 30 წუთის განმავლობაში. [ $^3\text{H}$ ]თიმიდინის რაოდენობა, რომელიც ჩართულ იქნა ტრიქლორმარმუავა-უხსნად  $\text{dpm}$ -ში, დათვლილ იქნა თხევალი სცინტილაციის გამოთვლის საშუალებით. შედეგები გამოსახულ იქნა, როგორც არატრანსფორმირებული ციკლი წუთში (cpm) მონაცემები, იმისათვის, რომ უკეთესად ყოფილიყო შეფასებული პოტენციალური საკუთარი აგონისტური აქტივობა, რომელიც შეიძლება ახასიათებდეს ანტი-*c-Met* Mab-ებს, როდესაც ისინი ცალკე ემატება სიმსივნის უჯრედებს.

ფიგურაზე 10 ნაჩვენებია, რომ m224G11 Mab ამჟღავნებს ჩვეულებრივ ინჰიბიტორულ ეფექტს (74% ინჰიბირება). ქიმერული IgG1 ფორმას [224G11]chim, როგორც მოსალოდნელი იყო, გააჩნია დოზადამოკიდებული საკუთარი აგონისტური ეფექტი და თაგვის ფორმასთან შედარებით უფრო დაბალი ანტაგონისტური ეფექტი: 33% შედარებით 74% ინჰიბირებასთან. ამ ექსპერიმენტში [224G11][TH7 chim]-ს გააჩნდა ძლიერ სუსტი აგონისტური აქტივობა. გარდა ამისა, მან გამოამჟღავნა მაღალი ინჰიბიტორული ეფექტი (81%), რომელიც ახლოს არის თაგვის Mab-ის აღნიშნულ ეფექტთან. ორ ჰუმანიზებულ ფორმას არ აღენიშნებოდა არავითარი აგონისტური ეფექტი და ანტაგონისტური ეფექტი ახლოს იყო თაგვის Mab-თვის ან [224G11][TH7 chim]-თვის მიღებულ ანტაგონისტურ ეფექტთან და იგი ტოლი იყო 67 და 76% ინჰიბირებისა [224G11][Hz1] და [224G11][Hz3]-თვის შესაბამისად.

#### **მაგალითი 10: იზოტიპის გადართვა ინჟინერიით მიღებული [TH7] სახსრული უბნისათვის**

[TH7] სახსრული უბნის თანამიმდევრობით, რომელიც შეესაბამება PKSCDCHCPCP-ს, ინდუცირებული ფარმაკოლოგიური თვისებების მოდულაციის შეფასების მიზნით, იმუნოგლობულინის იზოტიპის ძირითად ჯაჭვში, ადამიანის IgG1-ის გამოკლებით, ზემოაღწერილი [TH7] თანამიმდევრობა გენეტიკურად გადატანილ იქნა ადამიანის IgG2 და IgG4-ის ძირითად ჯაჭვებში. სახსრული უბნის მოდიფიკაცია განხორციელებულ იქნა

{NheII-Bcll} რესტრიქციის ფრაგმენტის შეცვლით [TH7] მოდიფიციის მატარებელი ეკვივალენტური ნაწილით. {NheI-Bcll} ფრაგმენტი სინთეზირებული იყო გლობალური გენური სინთეზის საშუალებით (Genecust, LU). კლონირების ეტაპები შესრულებულ იქნა ჩვეულებრივი მოლეკულურ-ბიოლოგიური ტექნიკის გამოყენებით, რომელიც აღწერილია ლაბორატორიულ სახელმძღვანელოში (Sambrook and Russel, 2001) ან მომწოდებლის ინსტრუქციების მიხედვით. თითოეული გენეტიკური კონსტრუქცია სრულად შემოწმებული იყო ნუკლეოტიდების თანამიმდევრობის განსაზღვრით Big Dye terminator cycle sequencing კომპლექტის (Applied Biosystems) გამოყენებით და ანალიზირებულ იქნა 3100 Genetic Analyzer-ის გამოყენებით (Applied Biosystems, US). შედეგად მიღებული თანამიმდევრობები აღნიშნულია SEQ ID No; 78, 79, 80 და 81, ადამიანის IgG2 და IgG4 TH7-ინჟინირებული იზოტიპების შესაბამისი ამინომჟავებისა და ნუკლეოტიდების თანამიმდევრობებისთვის (მხოლოდ მძიმე ჯაჭვი, მსუბუქი ჯაჭვი c224G11/human Ckappa-ს იდენტური იყო, რომელიც გამოიყენებოდა ყველა დანარჩენი IgG1-დაფუძნებულ კონსტრუქციებისათვის). ეს ახალი კონსტრუქციები გამოყენებულ იქნა ქიმერულ 224G11 ანტი-c-Met Mab-ში, როგორც აღწერილი იყო ზემოთ, მაგალითში 2.

გენური ინჟინერით მიღებული შესაბამისი ანტისხეულების c224G11[IgG2TH7] და c224G11[IgG4TH7] წარმოება მიმდინარეობდა ზემოაღწერილის მიხედვით, ტრანზიტული ექსპრესიის საშუალებით სუსპენზია-ადაპტირებულ HEK293 EBNA უჯრედებში.

**მაგალითი 11: ინჟინერით მიღებული Mab-ების c224G11[IgG2TH7] და c224G11[IgG4TH7] შეფასება ფოსფო-c-Met-სპეციფიკურ ELISA ანალიზში და BRET ანალიზში**

TH7 სახსარი ასევე შეტანილ იქნა IgG2 და IgG4 ქიმერულ 224G11 Mab-ებში და ტესტირებულ იქნა c-Met რეცეპტორის ფოსფორილების ანალიზის საშუალებით. როგორც 14A და 14B ნახაზებიდან ჩანს, c224G11[IgG2TH7] და c224G11[IgG4TH7] ცალცალკე იწვევს სუსტ აგონისტურ ეფექტს, რომელიც მნიშვნელოვნად უფრო სუსტია, ვიდრე c224G11 Mab-ის აგონისტური ეფექტი, და ამჟღავნებს 224G11 Mab-ის თაგვის ფორმის (m224G11) შესადარ ანტიაგონისტურ ეფექტს. ეს შედეგი დადასტურებული იყო c-Met აქტივაციის

BRET მოდელით (ფიგ.15), სადაც c224G11[IgG2TH7] და c224G11[IgG4TH7]-მა აჩვენა აგრეთვე უფრო სუსტი აგონისტური ეფექტი, ვიდრე c224G11 Mab-მა.

ამრიგად, TH7 სახსარის მუტაცია შეტანილი IgG2 ან IgG4 Mab ფორმატში იძლევა c224G11[TH7]-ის მსგავს თვისებებიან ფუნქციურ ანტისხეულებს.

### **მაგალითი 12 უჯრედების ადჰეზიის ანალიზი**

PC3 პროსტატის კიბოს უჯრედები აშრევებულ იქნა თასიდან ტრიპსინით, გარეცხილ იქნა 3-ჯერ უშრატო F12k გარემოთი და რესუსპენდირებულ იქნა იმავე გარემოში. უჯრედები (100.000 უჯრედი/ფოსო) დათესილ იქნა 96-ფოსოიან Laminin 1-ით (1 მკგ/მლ) გადაფარულ თასებში. ერთდროულად დამატებულ იქნა ანტი-CD151 Mab-ის მომდევნო ფორმები, საბოლოო კონცენტრაციით 10 მკგ/მლ: თაგვის IgG1 Mab m214B2, c214B2-ად წოდებული, არამოდიფიცირებული ქიმერული IgG1 ანტისხეულის ფორმა და ქიმერული IgG1 ანტისხეულის ფორმა TH7 მოდიფიკაციით, რომელსაც ეწოდება cTH7-214B2.

CD151 არის მემბრანული პროტეინი, რომელიც ეკუთვნის ტეტრასპანინების ოჯახს, ხოლო ანტი-CD151 Mab 214B2 წარმოებულია პიბრიდომას საშუალებით, რომელიც რეგისტრირებულია I-3919, CNCM-ში 2008 წლის 21 თებერვალს და აღწერილია გამოქვეყნებულ პატენტის განაცხადში WO 2009/136070.

თაგვისა და ადამიანის IgG1 ანტისხეულები გამოყენებული იყო როგორც იზოტიპის კონტროლის ანტისხეულები. საბოლოო პირობები შემდეგი იყო: 100000 უჯრედი/ფოსოზე და ანტისხეულების 10 მკგ/მლ. 37°C ტემპერატურის პირობებში ერთი საათის განმავლობაში ინკუბაციის შემდეგ, თასები სწრაფად იქნა გამოღებული და გარეცხილი ორჯერ უშრატო F12k გარემოში. ანალიზამდე 100 მკლ უშრატო F12k გარემო განაწილებულ იქნა თითოეულ ფოსოში. უჯრედების ადჰეზიაზე ანტისხეულების გავლენის შეფასების მიზნით, ფოსოები გადაღებულ იქნა ფაზა-კონტრასტულ მიკროსკოპში (ფიგ.16). ადჰეზიორებული უჯრედების რიცხვი განსაზღვრულ იქნა ATP ანალიზის საშუალებით (ფიგ.17).

თაგვის 214B2 და ქიმერულ TH7-214B2 ანტისხეულებს გააჩნიათ უჯრედი-უჯრედთან ურთიერთქმედების მოდიფიცირების (ფიგ16) და

ეპივალენტურად PC3 უჯრედების ადპეზიის გაზრდის უნარი (ფიგ.17). ამავე დროს, არავითარი გავლენა არ აღინიშნებოდა არამოდიფიცირებული ქიმერული ფორმისა 214B2 (c214B2), რომელიც შესადარია ადამიანის IgG1 იზოტიპის კონტროლის ანტისხეულის.

## **gamogonebis formul a**

1. ხერხი სპეციფიკურ სამიზნე მოლეკულის წინააღმდეგ მიმართული IgG1 მონოკლონური ანტისხეულის ან მისი ორვალენტიანი ფუნქციური ფრაგმენტის ან წარმოებულის ანტაგონისტური აქტივობის გაუმჯობესებისათვის, ამასთან აღნიშნულ ანტისხეულს გააჩნია სამიზნე მოლეკულის ერთი ან მეტი ბიოლოგიური აქტივობის ინპიპირების უნარი, სადაც ხერხი ითვალისწინებს აღნიშნული IgG1 ანტისხეულის სახსრული უბნის რეკონფიგურაციის ეტაპს, ამასთან სახსრული უბანი შეიცავს ნაშთებს H1-H14 და რეკონფიგურაციის ეტაპში გათვალისწინებულია სახსრული უბნის ამინომჟავური თანამიმდევრობის მოდიფიკაცია, სადაც აღნიშნული მონოკლონური ანტისხეული IgG1 ან მისი ორვალენტიანი ფუნქციური ფრაგმენტი ან წარმოებული შეიცავს სახსრული უბნის მოდიფიცირებულ ამინომჟავურ თანამიმდევრობას, შერჩეულს ჯგუფიდან: SEQ ID No. 2-6, SEQ ID No. 22-26, SEQ ID No. 28, SEQ ID No. 29, SEQ ID No. 33-39 და SEQ ID No. 41-49.

2. ხერხი, მ. 1 მიხედვით, სადაც აღნიშნული მონოკლონური ანტისხეული არის ორვალენტიანი ანტისხეული.

3. ხერხი, მ. 1 ან 2 მიხედვით, სადაც აღნიშნული მონოკლონური ანტისხეული არის ქუმანიზებული ანტისხეული.

4. ხერხი, მ. 1 ან 2 მიხედვით, სადაც აღნიშნული მონოკლონური ანტისხეული არის ჰუმანიზებული ანტისხეული.

5. ხერხი, მ. 1-4 ნებისმიერმის მიხედვით, სადაც აღნიშნული სამიზნე მოლეკულა არის ტრანსმემბრანული რეცეპტორი.

6. ხერხი, მ.5-ის მიხედვით, სადაც აღნიშნული ტრანსმემბრანული რეცეპტორი შერჩეულია ჯგუფიდან, რომელიც შედგება ტიროზინ კინაზას რეცეპტორებიდან, ტეტრასპანინიდან და GPCR-ებიდან.

7. სპეციფიკური სამიზნე მოლექულის წინააღმდეგ მიმართული ანტაგონისტური მონოკლონური IgG1 ანტისხეულის, ან მისი ორვალენტიანი ფუნქციური ფრაგმენტის ან წარმოებულის სკრინინგის ხერხი, ამასთან აღნიშნულ ანტისხეულს გააჩნია სამიზნე მოლექულის ერთი ან მეტი ბიოლოგიური აქტივობის ინპიბირების უნარი, სადაც აღნიშნული ხერხი ითვალისწინებს ეტაპებს:

(a) საწყისი ანტისხეულის არჩევას, რომელსაც გააჩნია აღნიშნული სამიზნე მოლექულის ერთი ან მეტი ბიოლოგიური აქტივობის ინპიბირების საწყისი დონე,

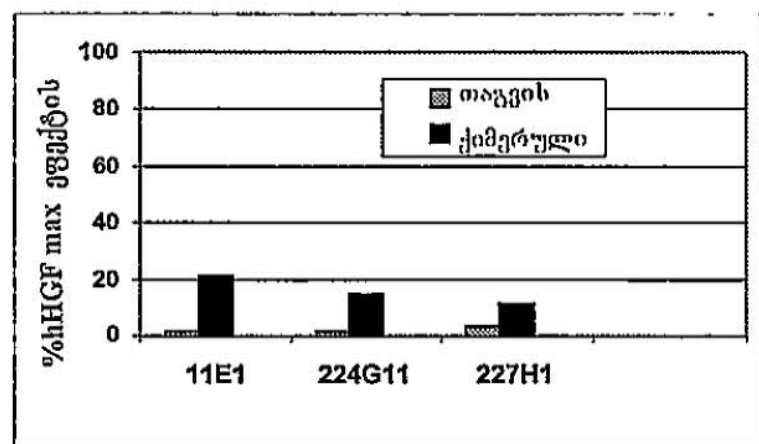
(b) აღნიშნული საწყისი ანტისხეულის სახსრული უბნის ამინომჟავური თანამიმდევრობის მოდიფიცირებას, სადაც აღნიშნული ხერხი შეიცავს სახსრული უბნის რეკონფიგურაციის ეტაპს, რომელიც ითვალისწინებს აღნიშნული სახსრული უბნის ამინომჟავური თანამიმდევრობის მოდიფიკაციას, სულ მცირე, ერთი ამონომჟავას დელეციით, დამატებით ან ჩანაცვლებით,

(c) ეტაპზე (b) მოდიფიცირებული ანტისხეულის მიერ აღნიშნული სამიზნე მოლექულის ერთი ან მეტი ბიოლოგიური აქტივობის ინპიბირების უნარის შეფასებას, და

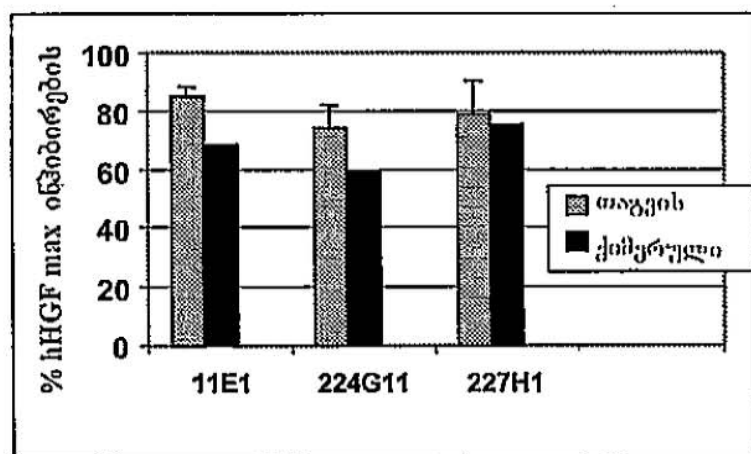
(d) ეტაპზე (c) გამოვლენილი დადებითი შედეგის მქონე იმ ანტისხეულის არჩევას, რომელსაც გააჩნია აღნიშნული სამიზნე მოლექულის საწყის დონეზე ერთი ან მეტი ბიოლოგიური აქტივობის ინპიბირების უფრო მაღალი დონე.

8. იზოლირებული ნუკლეინმჟავა, რომლითაც კოდირებულია მოდიფიცირებული მონოკლონური ანტისხეული მუხლების 1-7 მიხედვით.

9. იზოლირებული ნუკლეიინმჟავა, მ.8 მიხედვით, სადაც აღნიშნული ნუკლეიინმჟავა შეიცავს ნუკლეოტიდურ თანამიმდევრობას, შერჩეულს ჯგუფიდან: SEQ ID No. 16-20, SEQ ID No. 50-54, SEQ ID No. 56, SEQ ID No. 57, SEQ ID No. 61-67 და SEQ ID No. 69-77.

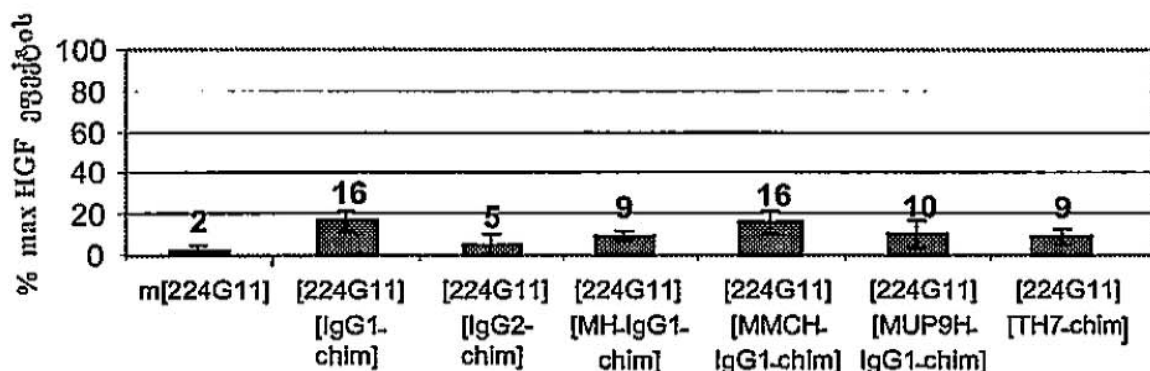


ფიგურა 1A

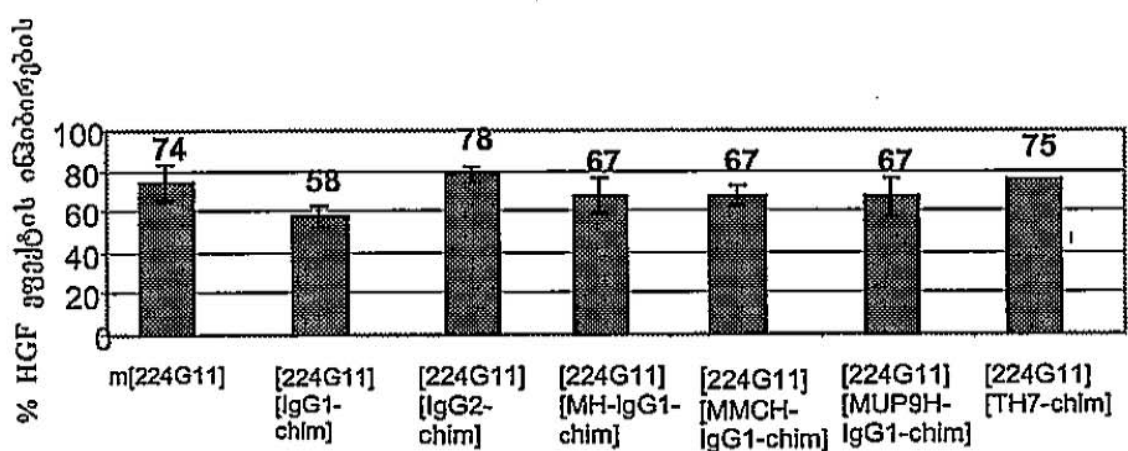


ფიგურა 1B

2/15

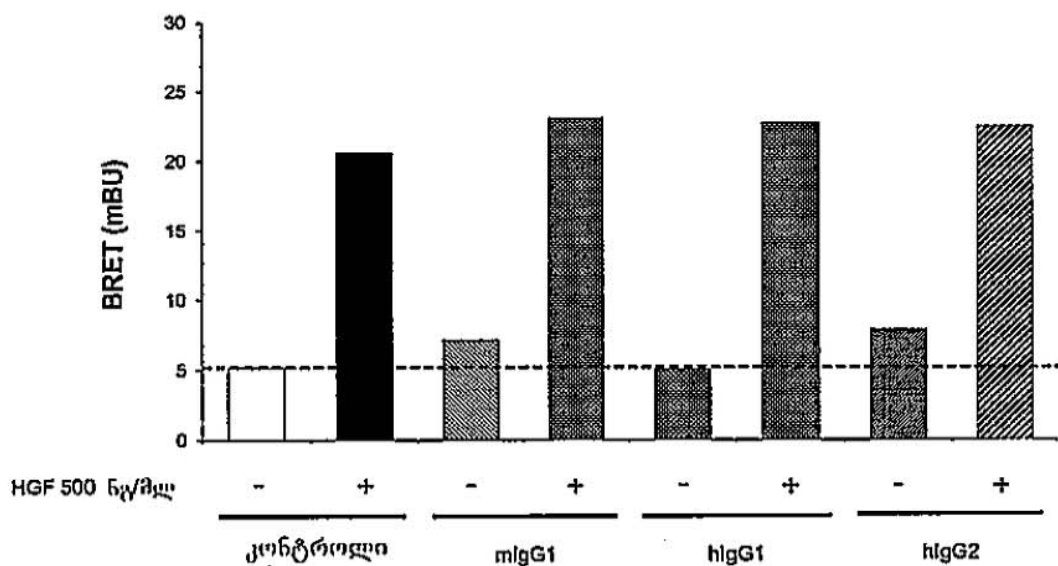


ფიგურა 2A

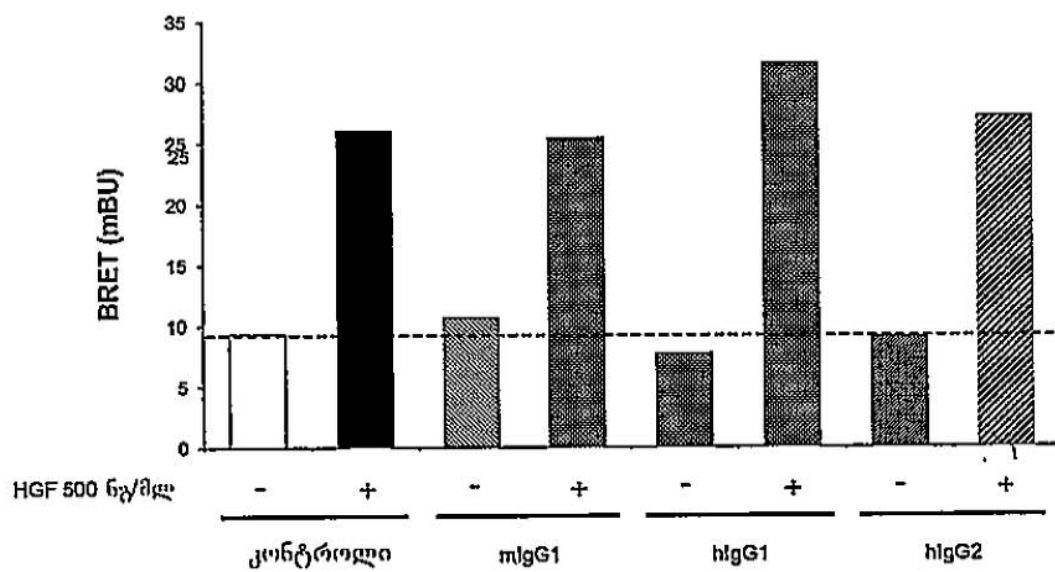


ფიგურა 2B

3/15

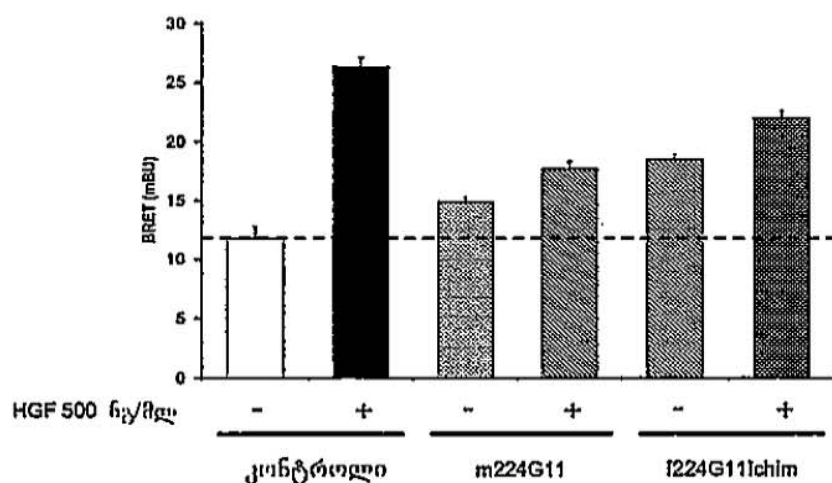


ଓঠুৰা 3A

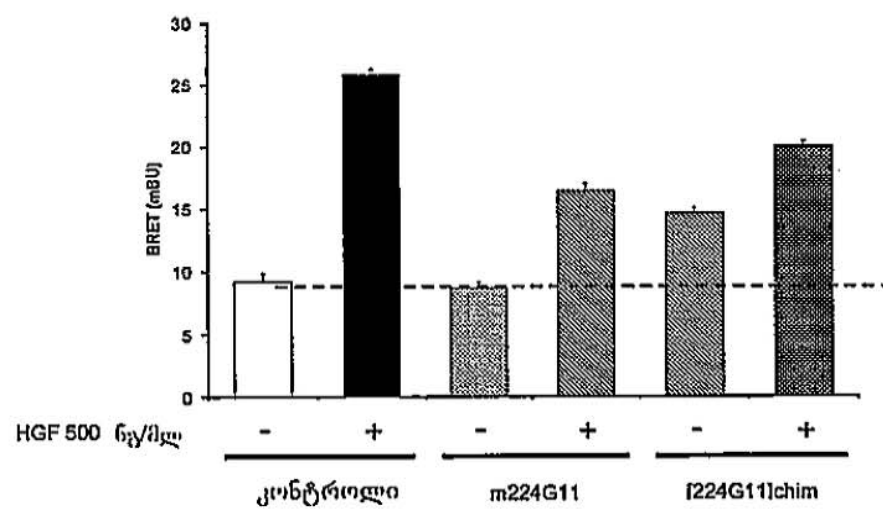


ଓঠুৰা 3B

4/15

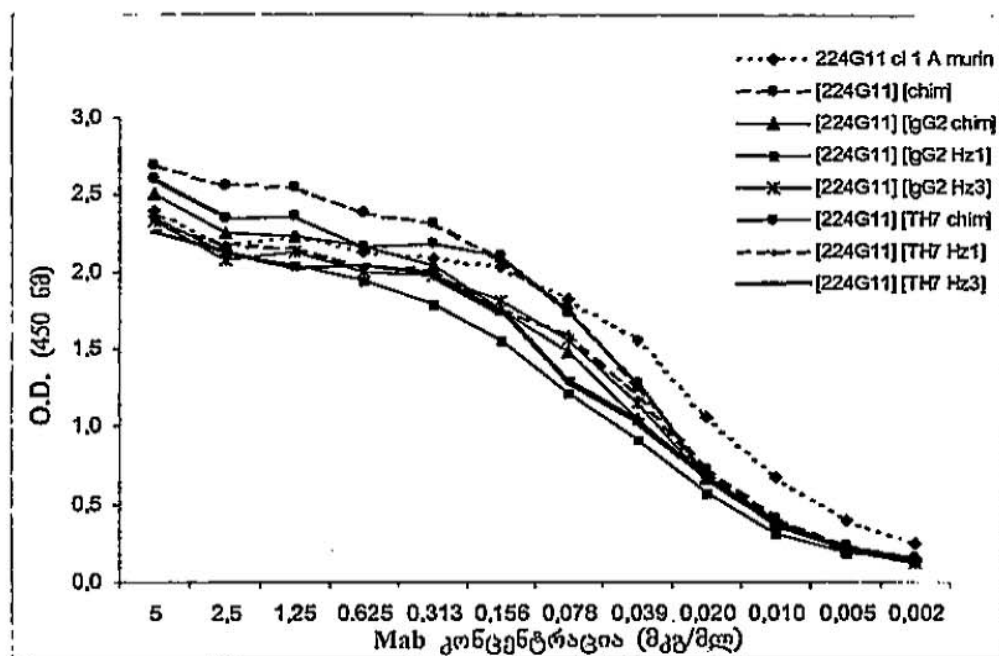


চিত্র 4

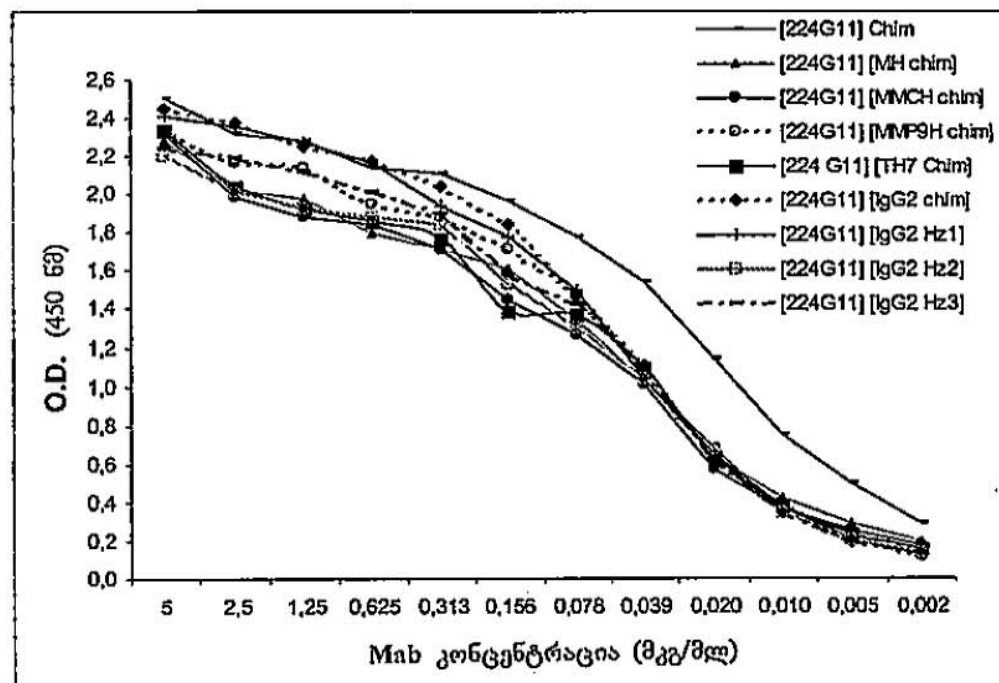


চিত্র 5

5/15

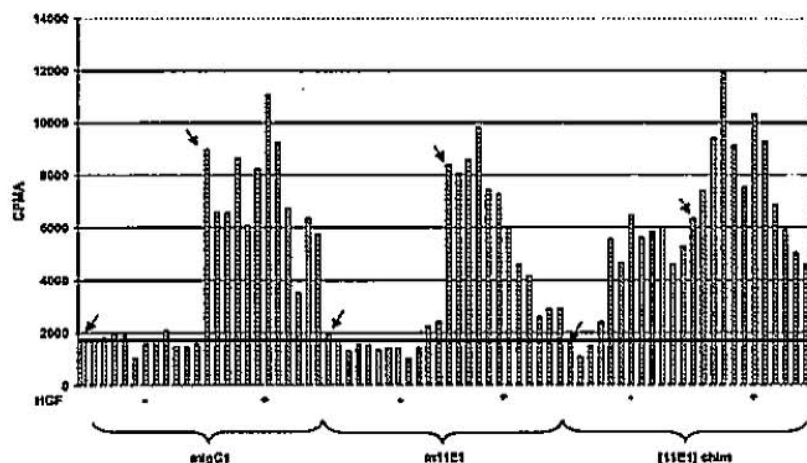


ფიგურა 6A

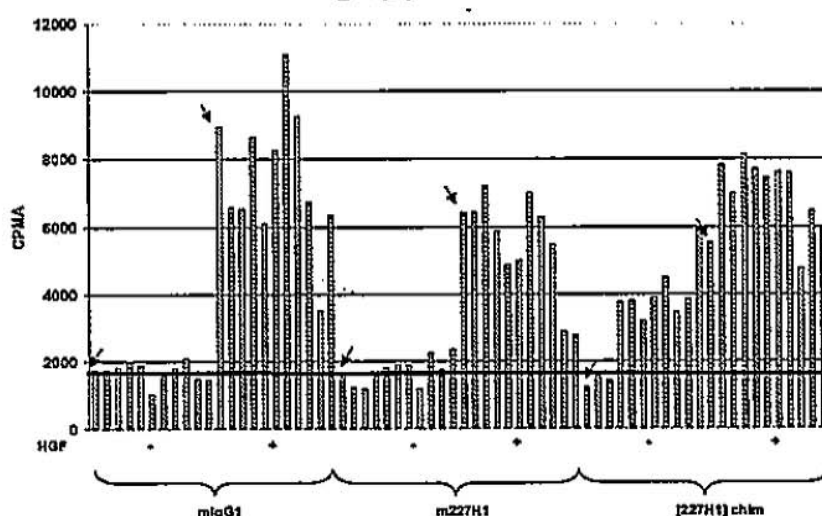


ფიგურა 6B

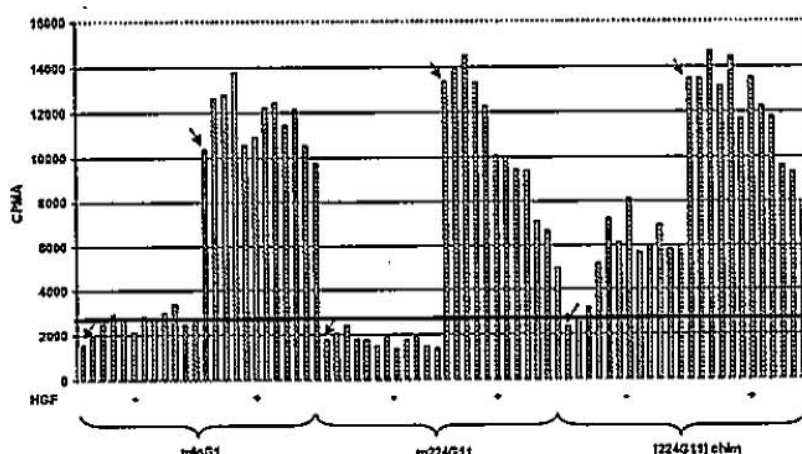
6/15



ფიგურა 7A

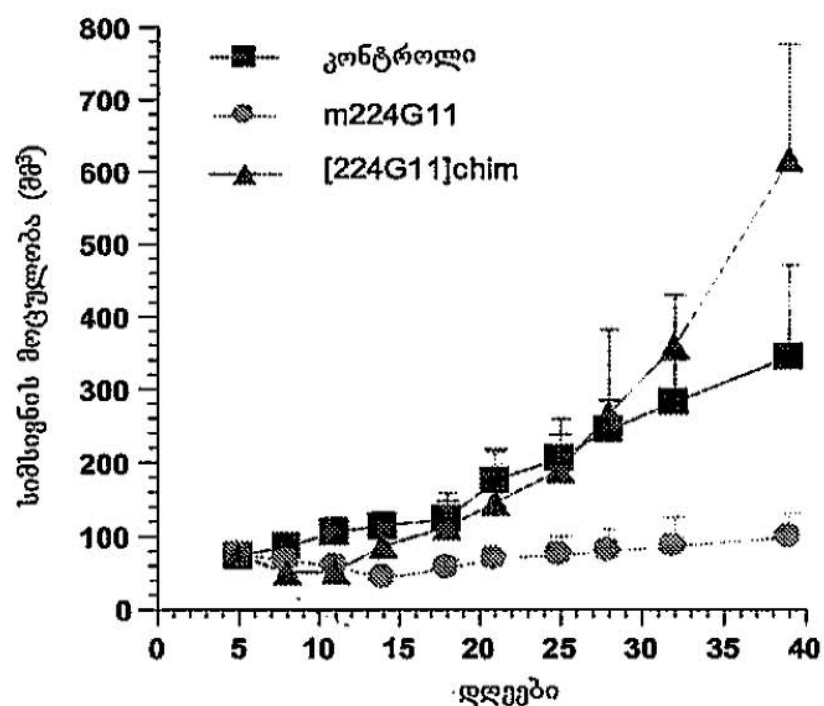


ფიგურა 7B



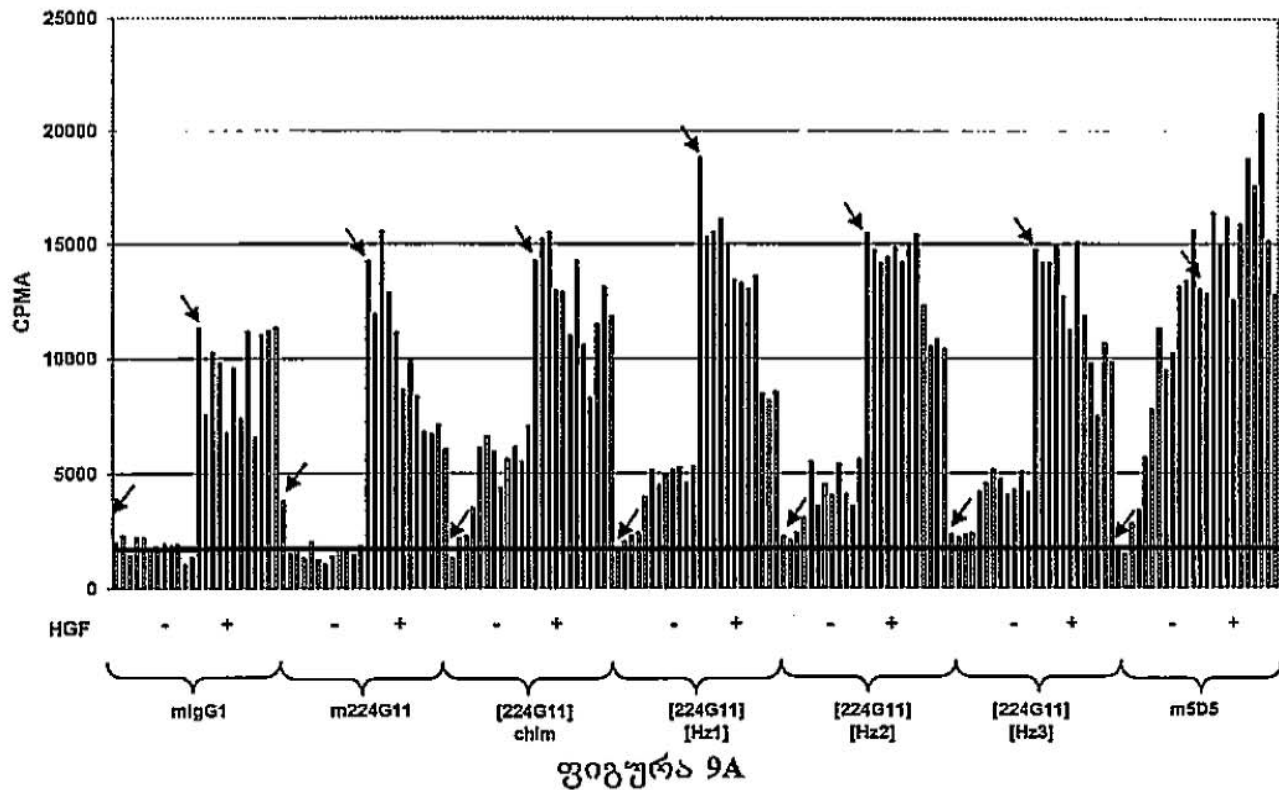
ფიგურა 7C

7/15

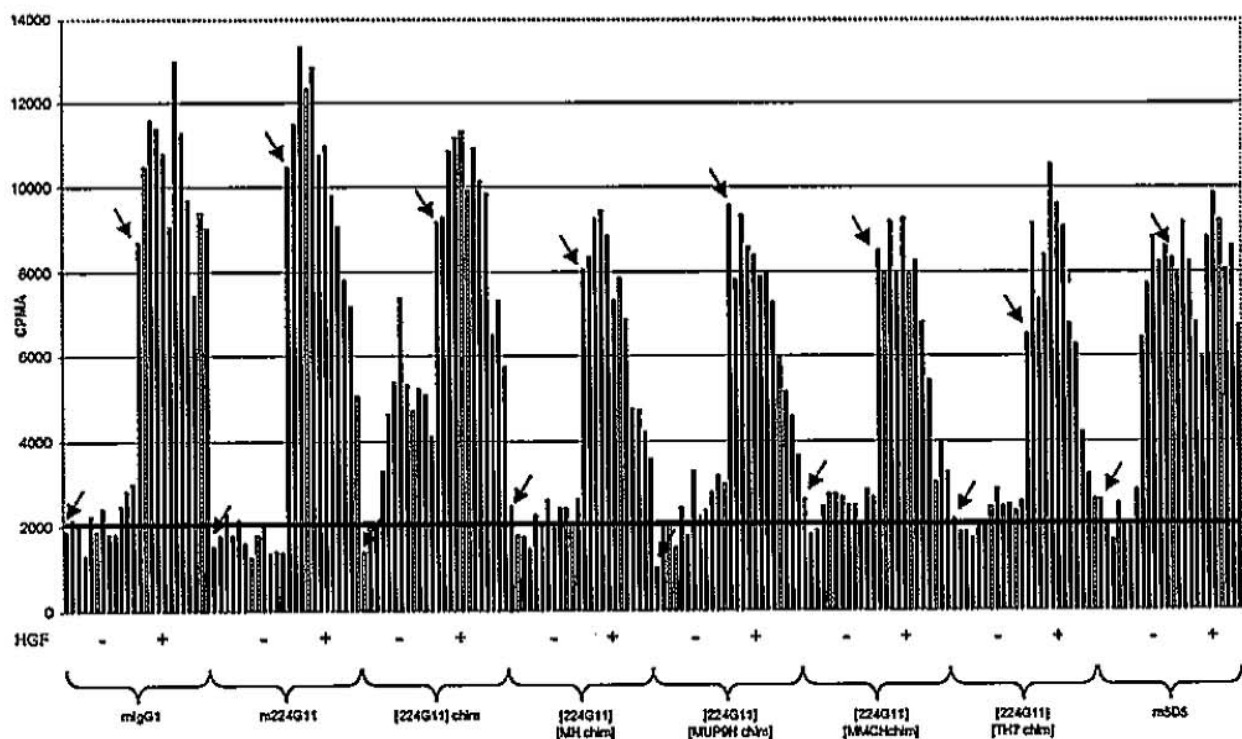


ფიგურა 8

8/15

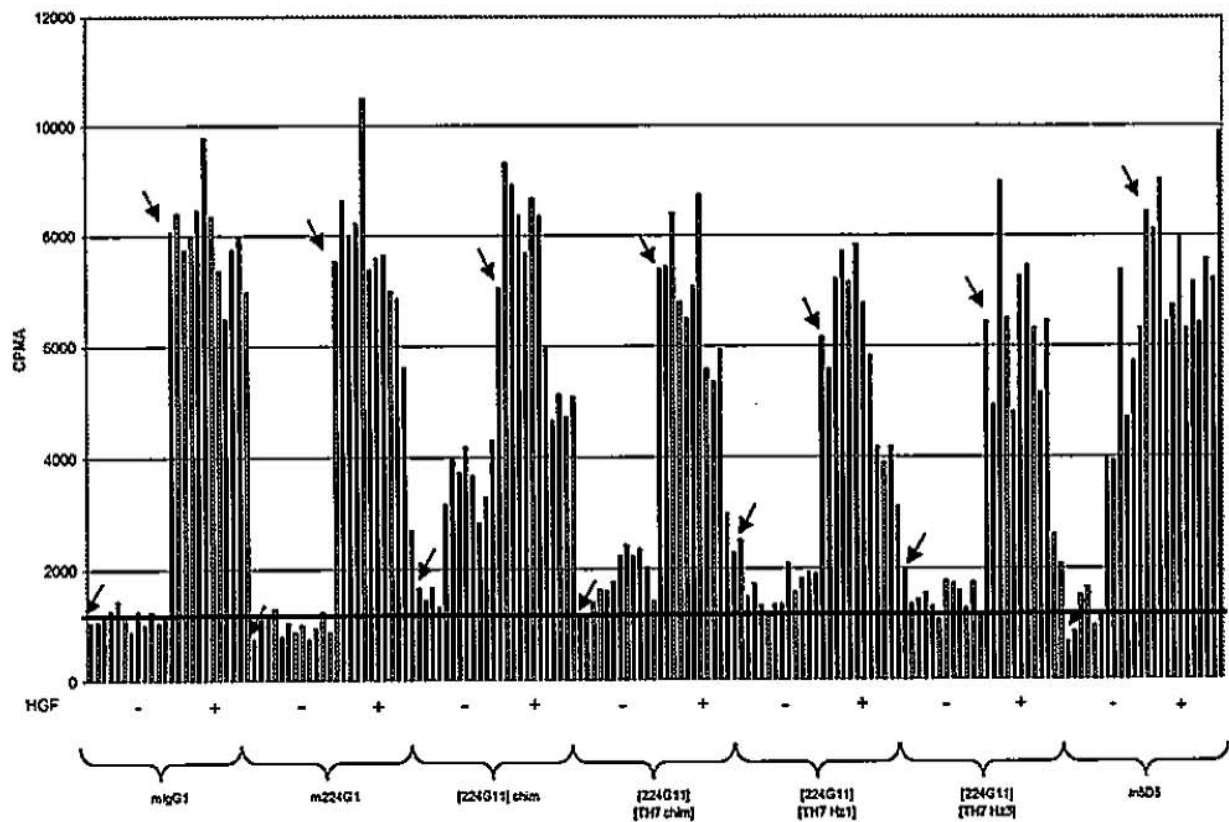


ওয়োগ্যুরা 9A



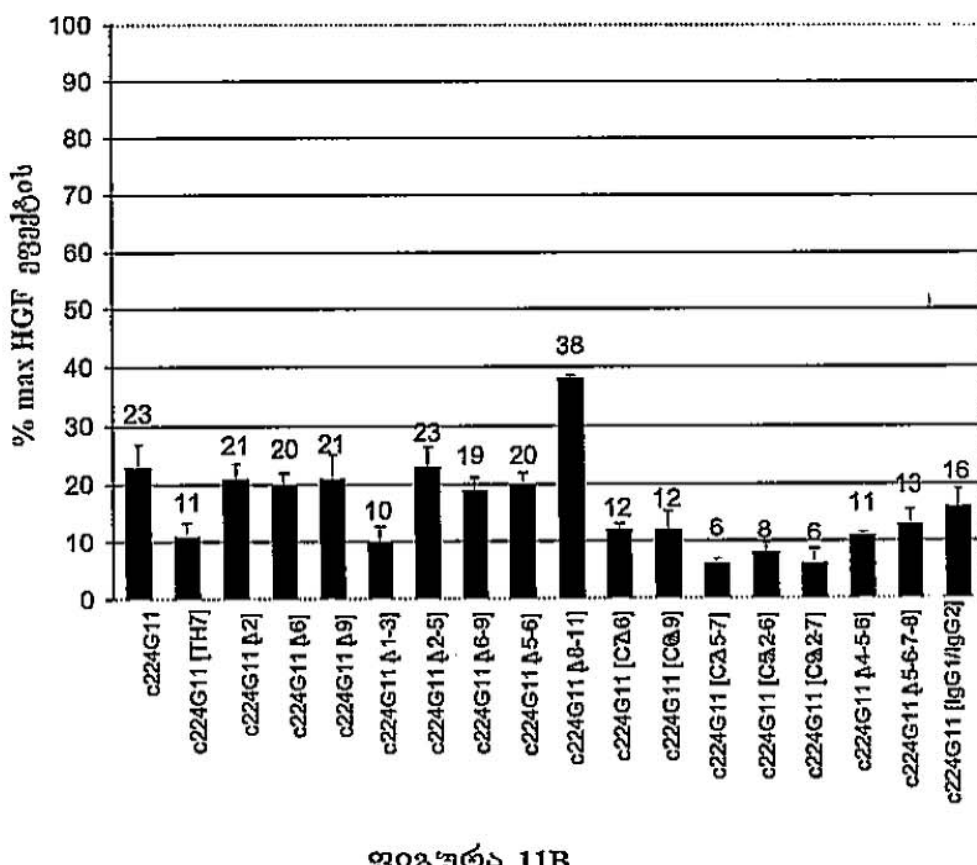
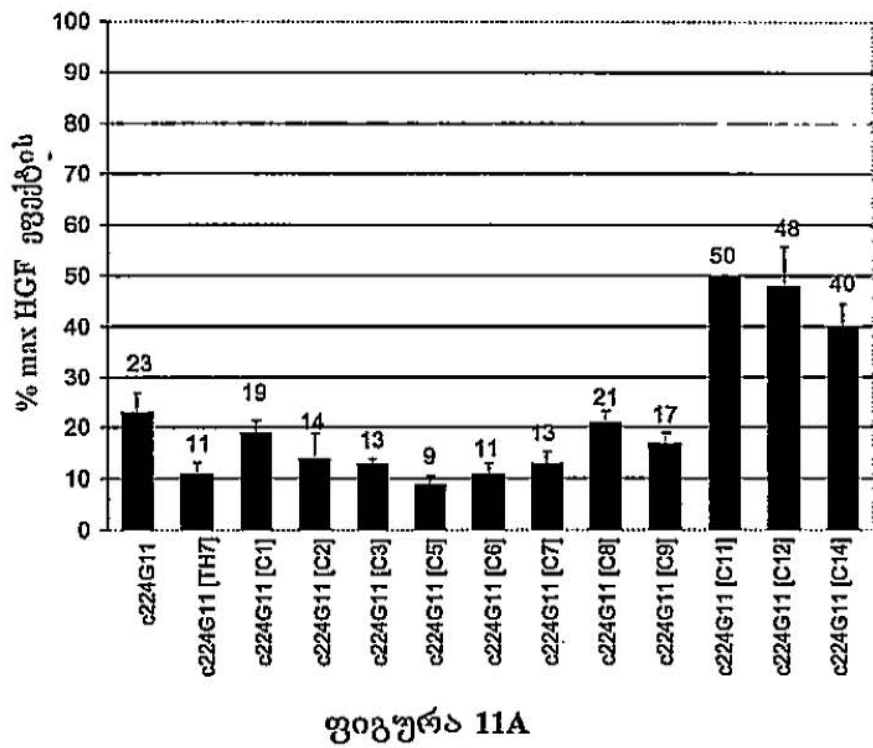
ওয়োগ্যুরা 9B

9/15

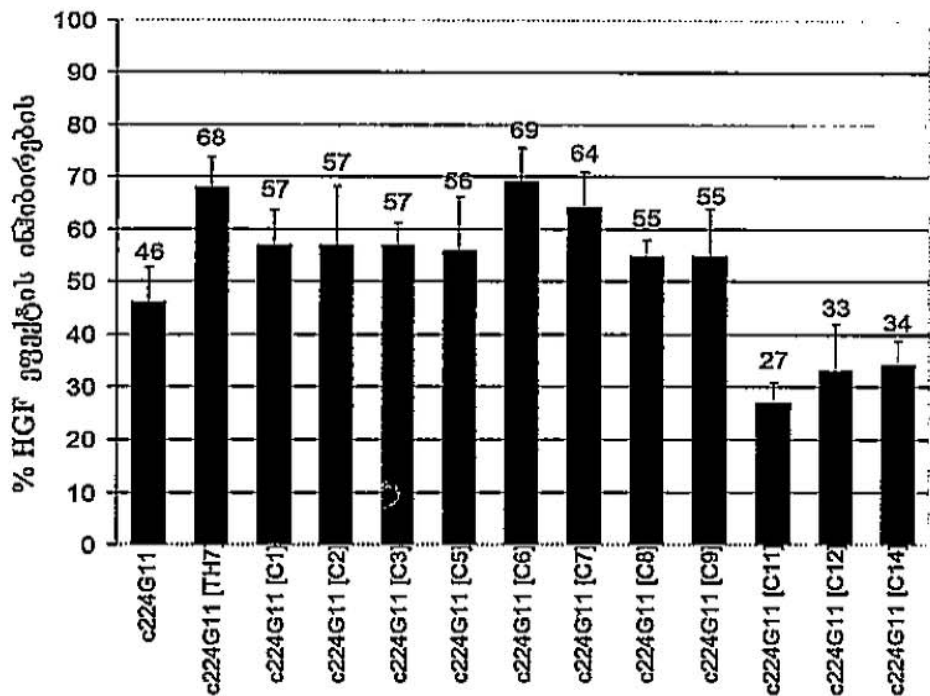


ფიგურა 10

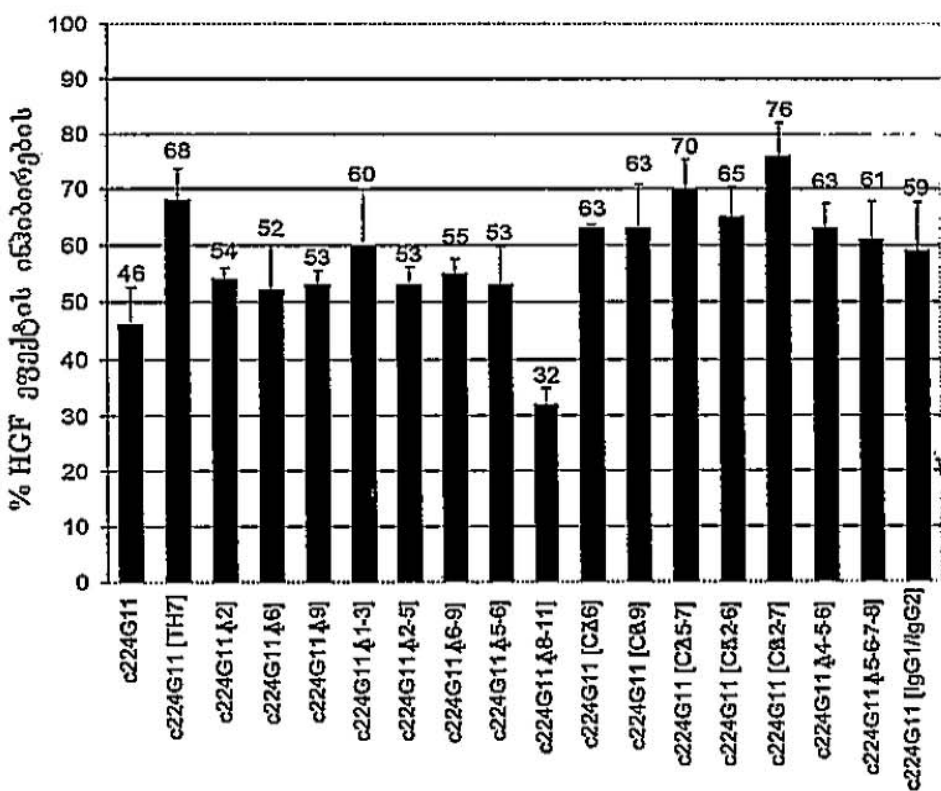
10/15



11/15

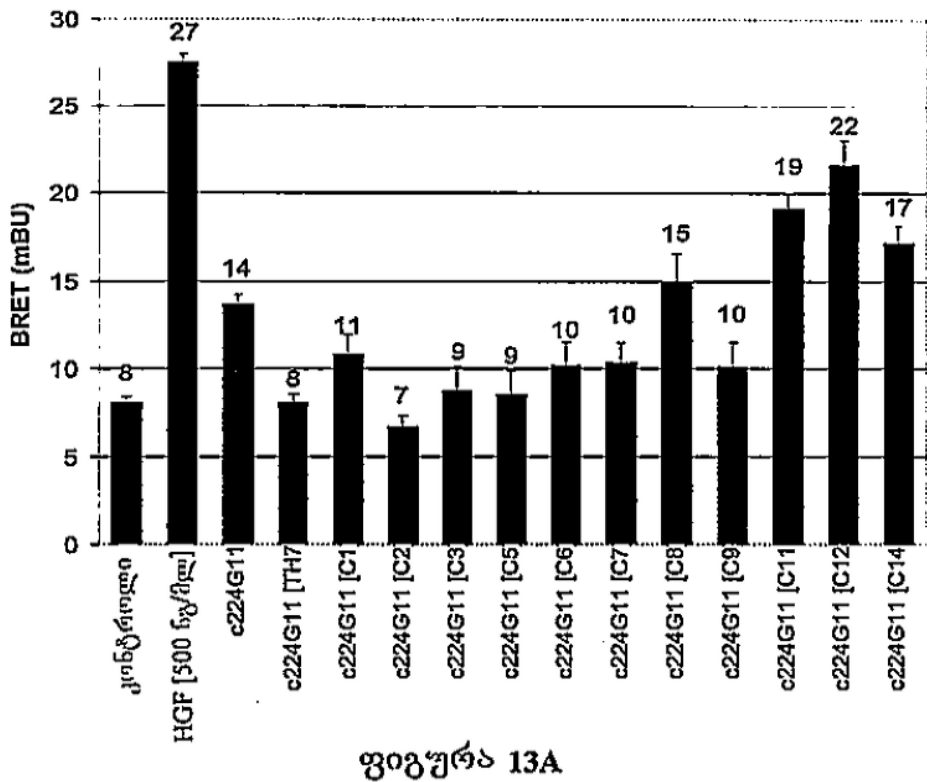


づ08づ12A

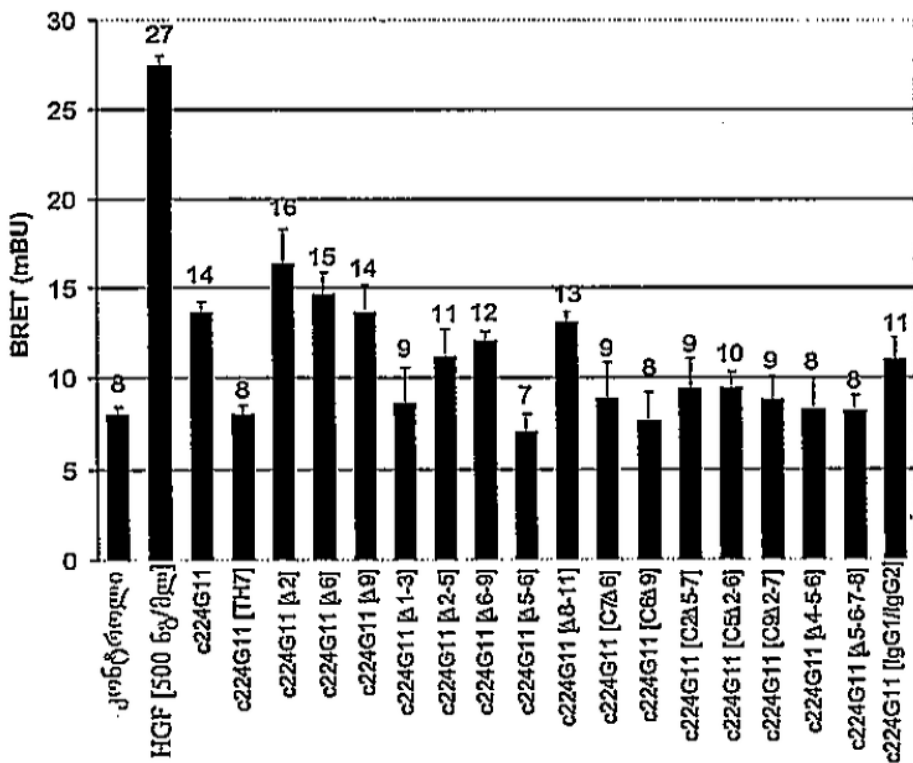


づ08づ12B

12/15

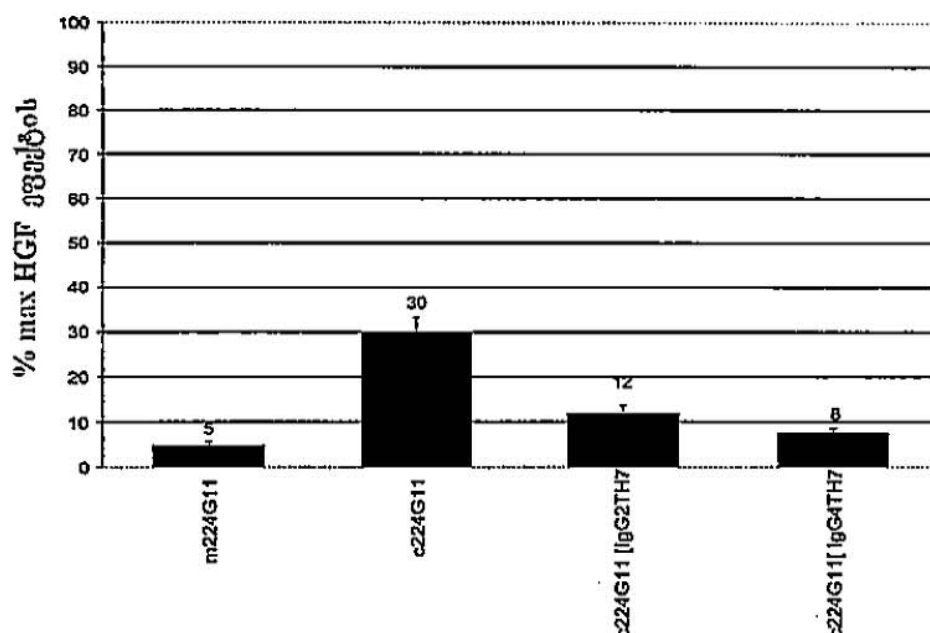


জোগপুরা 13A

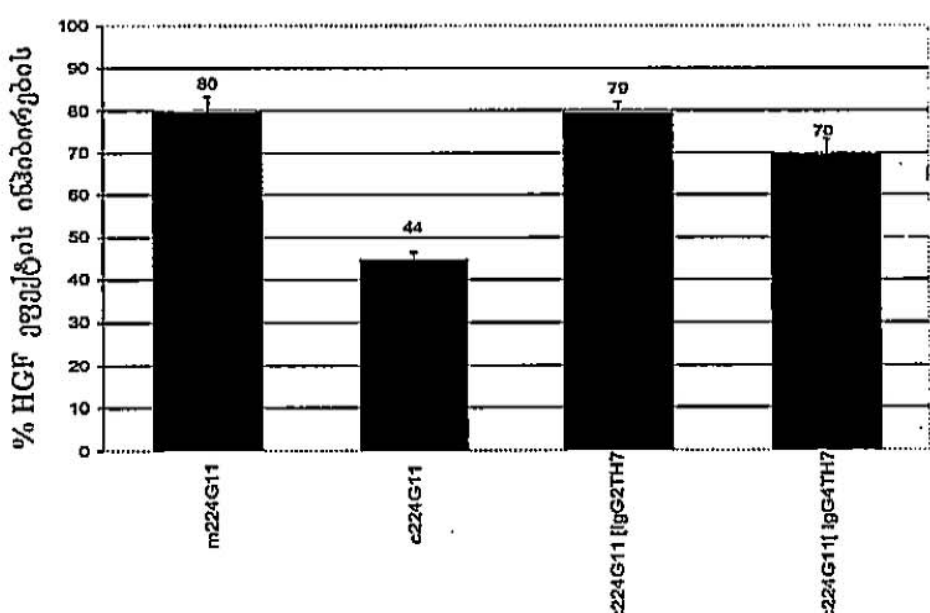


জোগপুরা 13B

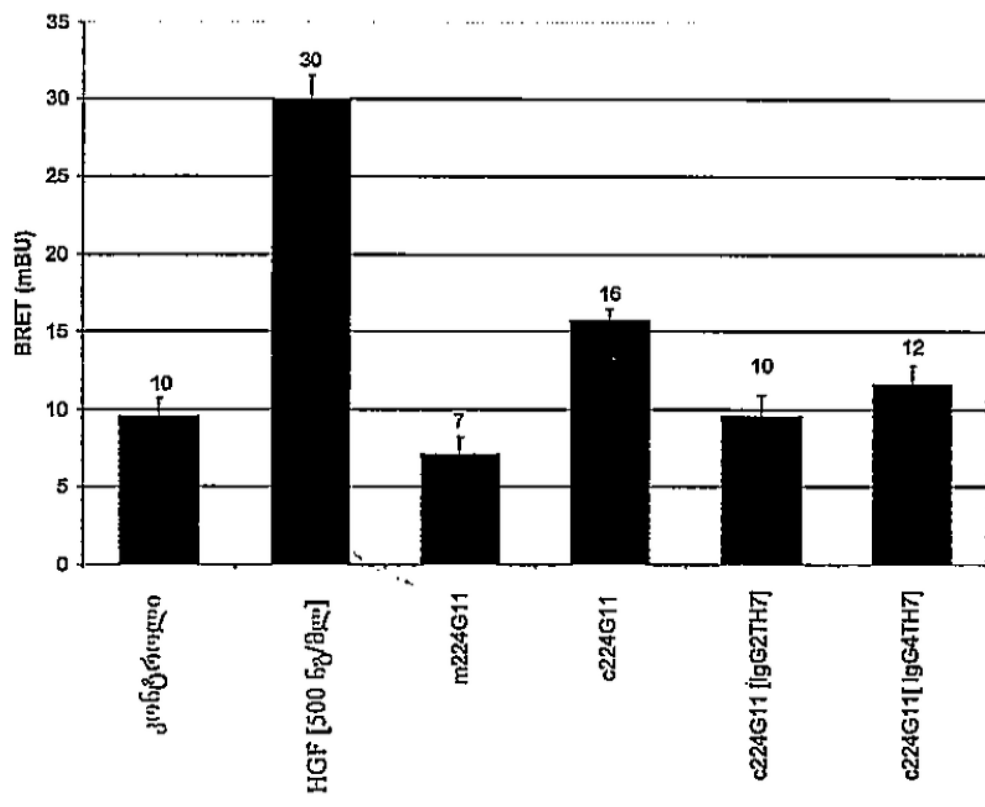
13/15



ფიგურა 14A

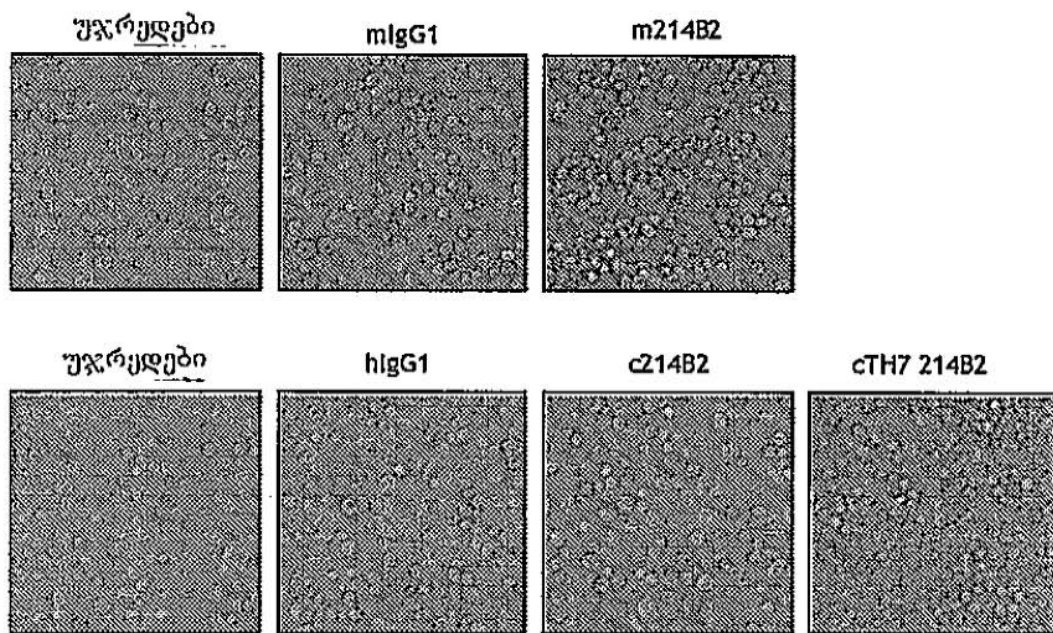
ფიგურა 14B  
66

14/15

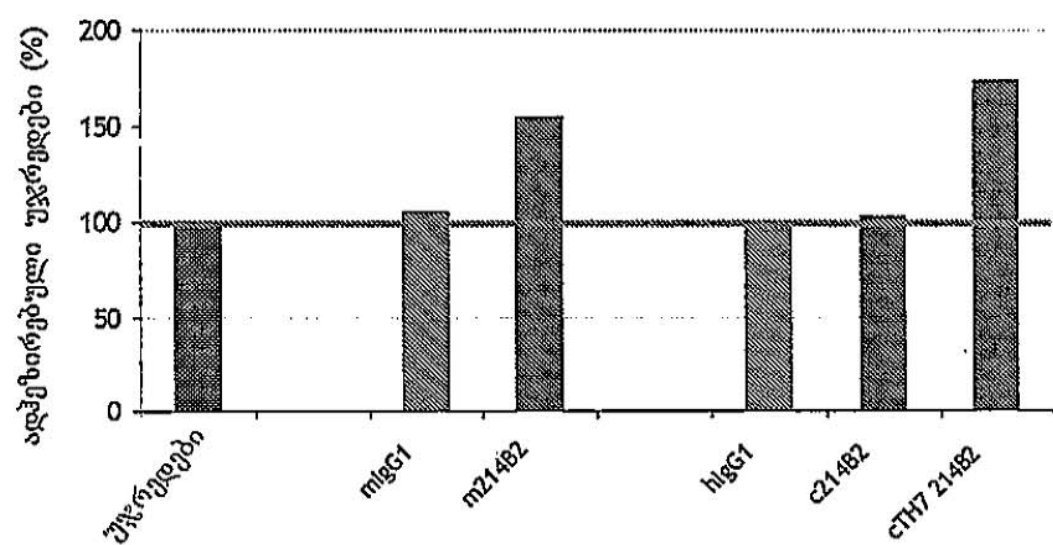


ಬ್ರಹ್ಮಾ 15

15/15



ფიგურა 16



ფიგურა 17

საქათბირდებულისა ჩამონატვალი

<110> პირ ჭაბუ გილიაშვილი

<120> მოწყელონიური ანტისხეულის ანტიგონისტური აქტივობის  
მოდელის სტრუქტურის ხერხი

<130> D27128

<140> PCT EP2009/066205

<141> 2009-12-02

<150> IB2008/055664

<151> 2008-12-02

<150> US 61/184406

<151> 2009-06-05

<160> 81

<170> PatentIn ვერსია 3.3

<210> 1

<211> 12

<212> PRT

<213> ხელოვნური

<220>

<223> ხელოვნური მოდიფიცირებული სახსრული უბანი

<400> 1

Pro Arg Asp Cys Gly Cys Lys Pro Cys Ile Cys Thr  
1 5 10

<210> 2

<211> 12

<212> PRT

<213> ხელოვნური

<220>

<223> ხელოვნური მოდიფიცირებული სახსრული უბანი

<400> 2

Pro Lys Ser Cys Gly Cys Lys Pro Cys Ile Cys Thr  
1 5 10

<210> 3

<211> 12

<212> PRT

<213> ხელოვნური

<220>

<223> ხელოვნური მოდიფიცირებული სახსრული უბანი

<400> 3

Pro Lys Ser Cys Gly Cys Lys Pro Cys Ile Cys Pro

1 5 10

<210> 4  
<211> 13  
<212> PRT  
<213> artificial

<220>  
<223> artificial modified hinge region

<400> 4

Pro Arg Asp Cys Gly Cys Lys Pro Cys Pro Pro Cys Pro  
1 5 10

<210> 5  
<211> 13  
<212> PRT  
<213> artificial

<220>  
<223> artificial modified hinge region

<400> 5

Pro Arg Asp Cys Gly Cys His Thr Cys Pro Pro Cys Pro  
1 5 10

<210> 6  
<211> 12  
<212> PRT  
<213> artificial

<220>  
<223> artificial modified hinge region

<400> 6

Pro Lys Ser Cys Asp Cys His Cys Pro Pro Cys Pro  
1 5 10

<210> 7  
<211> 11  
<212> PRT  
<213> homo sapiens

<400> 7

Arg Lys Cys Cys Val Glu Cys Pro Pro Cys Pro  
1 5 10

<210> 8  
<211> 18  
<212> PRT  
<213> homo sapiens

<400> 8

Pro Ser Thr Pro Pro Thr Pro Ser Pro Ser Thr Pro Pro Thr Pro Ser  
1 5 10 15

Pro Ser

<210> 9  
<211> 5  
<212> PRT  
<213> homo sapiens

<400> 9

Pro Pro Pro Pro Pro  
1 5

<210> 10  
<211> 56  
<212> PRT  
<213> homo sapiens

<400> 10

Ser Pro Lys Ala Gln Ala Ser Ser Val Pro Thr Ala Gln Pro Gln Ala  
1 5 10 15

Glu Gly Ser Leu Ala Lys Ala Thr Thr Ala Pro Ala Thr Thr Arg Asn  
20 25 30

Thr Arg Gly Gly Glu Glu Lys Lys Lys Glu Lys Glu Glu Gln  
35 40 45

Glu Glu Arg Glu Thr Lys Thr Pro  
50 55

<210> 11  
<211> 14  
<212> PRT  
<213> homo sapiens

<400> 11

Pro Lys Ser Cys Asp Lys Thr His Thr Cys Pro Pro Cys Pro  
1 5 10

<210> 12  
<211> 63  
<212> PRT  
<213> homo sapiens

<400> 12

Leu Lys Thr Pro Leu Phe Thr Gly Asp Thr Thr His Thr Cys Pro Arg  
 1                   5                   10                   15

Cys Pro Glu Pro Lys Ser Cys Asp Thr Pro Pro Pro Cys Pro Arg Cys  
 20               25               30

Pro Glu Pro Lys Ser Cys Asp Thr Pro Pro Pro Cys Pro Arg Cys Pro  
 35               40               45

Glu Pro Lys Ser Cys Asp Thr Pro Pro Pro Cys Pro Arg Cys Pro  
 50               55               60

<210> 13  
<211> 11  
<212> PRT  
<213> homo sapiens

<400> 13

Ser Lys Tyr Gly Pro Pro Cys Pro Ser Cys Pro  
 1               5               10

<210> 14  
<211> 12  
<212> PRT  
<213> mus musculus

<400> 14

Pro Arg Asp Cys Gly Cys Lys Pro Cys Ile Cys Thr  
 1               5               10

<210> 15  
<211> 36  
<212> DNA  
<213> artificial sequence

<220>  
<223> artificial modified hinge region

<400> 15  
ccccgggact gtgggtgcaa gccttgcatt tgtacc

36

<210> 16  
<211> 36  
<212> DNA  
<213> artificial sequence

<220>  
<223> artificial modified hinge region

<400> 16  
cccaagagct gtgggtgcaa gccttgcatt tgtacc

36

<210> 17		
<211> 36		
<212> DNA		
<213> artificial sequence		
<220>		
<223> artificial modified hinge region		
<400> 17		
ccaaagagct gcggctgcaa gccttgtatc tgtccc		36
<210> 18		
<211> 39		
<212> DNA		
<213> artificial sequence		
<220>		
<223> artificial modified hinge region		
<400> 18		
ccacgggact gtggctgcaa gccctgcctt ccgtgtcca		39
<210> 19		
<211> 39		
<212> DNA		
<213> artificial sequence		
<220>		
<223> artificial modified hinge region		
<400> 19		
cccagagact gtgggtgtca cacctgcctt ctttgtcct		39
<210> 20		
<211> 36		
<212> DNA		
<213> artificial sequence		
<220>		
<223> artificial modified hinge region		
<400> 20		
ccccaaaagct gcgattgcca ctgtcctcca tgtcca		36
<210> 21		
<211> 33		
<212> DNA		
<213> homo sapiens		
<400> 21		
aggaagtgcgt gtgtggaggta ccccccgtgc cca		33
<210> 22		
<211> 14		

<212> PRT  
<213> artificial

<220>  
<223> artificial modified hinge region

<400> 22

Cys Lys Ser Cys Asp Lys Thr His Thr Cys Pro Pro Cys Pro  
1 5 10

<210> 23  
<211> 14  
<212> PRT  
<213> artificial

<220>  
<223> artificial modified hinge region

<400> 23

Pro Cys Ser Cys Asp Lys Thr His Thr Cys Pro Pro Cys Pro  
1 5 10

<210> 24  
<211> 14  
<212> PRT  
<213> artificial

<220>  
<223> artificial modified hinge region

<400> 24

Pro Lys Cys Cys Asp Lys Thr His Thr Cys Pro Pro Cys Pro  
1 5 10

<210> 25  
<211> 14  
<212> PRT  
<213> artificial

<220>  
<223> artificial modified hinge region

<400> 25

Pro Lys Ser Cys Cys Lys Thr His Thr Cys Pro Pro Cys Pro  
1 5 10

<210> 26  
<211> 14  
<212> PRT  
<213> artificial

<220>  
<223> artificial modified hinge region

<400> 26

Pro Lys Ser Cys Asp Cys Thr His Thr Cys Pro Pro Cys Pro  
1 5 10

<210> 27

<211> 14

<212> PRT

<213> artificial

<220>

<223> artificial modified hinge region

<400> 27

Pro Lys Ser Cys Asp Lys Cys His Thr Cys Pro Pro Cys Pro  
1 5 10

<210> 28

<211> 14

<212> PRT

<213> artificial

<220>

<223> artificial modified hinge region

<400> 28

Pro Lys Ser Cys Asp Lys Thr Cys Thr Cys Pro Pro Cys Pro  
1 5 10

<210> 29

<211> 14

<212> PRT

<213> artificial

<220>

<223> artificial modified hinge region

<400> 29

Pro Lys Ser Cys Asp Lys Thr His Cys Cys Pro Pro Cys Pro  
1 5 10

<210> 30

<211> 14

<212> PRT

<213> artificial

<220>

<223> artificial modified hinge region

<400> 30

Pro Lys Ser Cys Asp Lys Thr His Thr Cys Cys Pro Cys Pro  
1 5 10

<210> 31  
<211> 14  
<212> PRT  
<213> artificial

<220>  
<223> artificial modified hinge region

<400> 31

Pro Lys Ser Cys Asp Lys Thr His Thr Cys Pro Cys Cys Pro  
1 5 10

<210> 32  
<211> 14  
<212> PRT  
<213> artificial

<220>  
<223> artificial modified hinge region

<400> 32

Pro Lys Ser Cys Asp Lys Thr His Thr Cys Pro Pro Cys Cys  
1 5 10

<210> 33  
<211> 13  
<212> PRT  
<213> artificial

<220>  
<223> artificial modified hinge region

<400> 33

Pro Ser Cys Asp Lys Thr His Thr Cys Pro Pro Cys Pro  
1 5 10

<210> 34  
<211> 13  
<212> PRT  
<213> artificial

<220>  
<223> artificial modified hinge region

<400> 34

Pro Lys Ser Cys Asp Thr His Thr Cys Pro Pro Cys Pro  
1 5 10

<210> 35  
<211> 13  
<212> PRT

<213> artificial

<220>

<223> artificial modified hinge region

<400> 35

Pro Lys Ser Cys Asp Lys Thr His Cys Pro Pro Cys Pro  
1               5                           10

<210> 36

<211> 12

<212> PRT

<213> artificial

<220>

<223> artificial modified hinge region

<400> 36

Lys Cys Asp Lys Thr His Thr Cys Pro Pro Cys Pro  
1               5                           10

<210> 37

<211> 12

<212> PRT

<213> artificial

<220>

<223> artificial modified hinge region

<400> 37

Pro Ser Cys Lys Thr His Thr Cys Pro Pro Cys Pro  
1               5                           10

<210> 38

<211> 12

<212> PRT

<213> artificial

<220>

<223> artificial modified hinge region

<400> 38

Pro Lys Ser Cys Asp Thr His Cys Pro Pro Cys Pro  
1               5                           10

<210> 39

<211> 12

<212> PRT

<213> artificial

<220>

<223> artificial modified hinge region

<400> 39

Pro Lys Ser Cys Thr His Thr Cys Pro Pro Cys Pro  
1 5 10

<210> 40

<211> 12

<212> PRT

<213> artificial

<220>

<223> artificial modified hinge region

<400> 40

Pro Lys Ser Cys Asp Lys Thr Thr Cys Pro Cys Pro  
1 5 10

<210> 41

<211> 12

<212> PRT

<213> artificial

<220>

<223> artificial modified hinge region

<400> 41

Pro Lys Ser Cys Asp Lys Thr His Cys Pro Pro Cys  
1 5 10

<210> 42

<211> 13

<212> PRT

<213> artificial

<220>

<223> artificial modified hinge region

<400> 42

Pro Lys Ser Cys Asp Cys His Thr Cys Pro Pro Cys Pro  
1 5 10

<210> 43

<211> 13

<212> PRT

<213> artificial

<220>

<223> artificial modified hinge region

<400> 43

Pro Lys Ser Cys Asp Cys Thr His Cys Pro Pro Cys Pro  
1 5 10

<210> 44  
<211> 12  
<212> PRT  
<213> artificial

<220>  
<223> artificial modified hinge region

<400> 44

Pro Cys Ser Cys Lys His Thr Cys Pro Pro Cys Pro  
1 5 10

<210> 45  
<211> 12  
<212> PRT  
<213> artificial

<220>  
<223> artificial modified hinge region

<400> 45

Pro Ser Cys Cys Thr His Thr Cys Pro Pro Cys Pro  
1 5 10

<210> 46  
<211> 12  
<212> PRT  
<213> artificial

<220>  
<223> artificial modified hinge region

<400> 46

Pro Ser Cys Asp Lys His Cys Cys Pro Pro Cys Pro  
1 5 10

<210> 47  
<211> 11  
<212> PRT  
<213> artificial

<220>  
<223> artificial modified hinge region

<400> 47

Pro Lys Ser Thr His Thr Cys Pro Pro Cys Pro  
1 5 10

<210> 48  
<211> 10  
<212> PRT  
<213> artificial

<220>  
<223> artificial modified hinge region

<400> 48

Pro Lys Ser Cys Thr Cys Pro Pro Cys Pro  
1 5 10

<210> 49  
<211> 14  
<212> PRT  
<213> artificial

<220>  
<223> artificial modified hinge region

<400> 49

Pro Lys Ser Cys Asp Lys Cys Val Glu Cys Pro Pro Cys Pro  
1 5 10

<210> 50  
<211> 42  
<212> DNA  
<213> artificial

<220>  
<223> artificial modified hinge region

<400> 50  
tgcaagagct gcgacaagac ccacacctgt ccccccgtgcc ct

42

<210> 51  
<211> 42  
<212> DNA  
<213> artificial

<220>  
<223> artificial modified hinge region

<400> 51  
ccctgcagct gcgacaagac ccacacctgt ccccccgtgcc ct

42

<210> 52  
<211> 42  
<212> DNA  
<213> artificial

<220>  
<223> artificial modified hinge region

<400> 52  
cccaagtgcgt gcgacaagac ccacacctgt ccccccgtgcc ct

42

<210> 53

<211> 42  
<212> DNA  
<213> artificial

<220>  
<223> artificial modified hinge region

<400> 53  
cctaagagct gttgcaagac ccacacctgt cccccctgcc ct 42

<210> 54  
<211> 42  
<212> DNA  
<213> artificial

<220>  
<223> artificial modified hinge region

<400> 54  
cccaagagct gcgactgcac ccacacctgt cccccctgcc ct 42

<210> 55  
<211> 42  
<212> DNA  
<213> artificial

<220>  
<223> artificial modified hinge region

<400> 55  
cccaagagct gcgacaagtg ccacacctgt cccccctgcc ct 42

<210> 56  
<211> 42  
<212> DNA  
<213> artificial

<220>  
<223> artificial modified hinge region

<400> 56  
cccaagagct gcgacaagac ctgtacacctgt cccccctgcc ct 42

<210> 57  
<211> 42  
<212> DNA  
<213> artificial

<220>  
<223> artificial modified hinge region

<400> 57  
cccaagagct gcgacaagac ccactgctgt cccccctgcc ct 42

<210> 58  
<211> 42

<212> DNA  
<213> artificial  
  
<220>  
<223> artificial modified hinge region  
  
<400> 58  
cccaagagct gcgacaagac ccacacctgt tgccccctgcc ct 42  
  
<210> 59  
<211> 42  
<212> DNA  
<213> artificial  
  
<220>  
<223> artificial modified hinge region  
  
<400> 59  
cccaagagct gcgacaagac ccacacctgt ccctgctgcc ct 42  
  
<210> 60  
<211> 42  
<212> DNA  
<213> artificial  
  
<220>  
<223> artificial modified hinge region  
  
<400> 60  
cccaagagct gcgacaagac ccacacctgt ccccccttgc gc 42  
  
<210> 61  
<211> 39  
<212> DNA  
<213> artificial  
  
<220>  
<223> artificial modified hinge region  
  
<400> 61  
cccagctgcg acaagaccca cacctgtccc ccctgcct 39  
  
<210> 62  
<211> 39  
<212> DNA  
<213> artificial  
  
<220>  
<223> artificial modified hinge region  
  
<400> 62  
cccaagagct gggacaccca cacctgtccc ccctgcct 39  
  
<210> 63  
<211> 39  
<212> DNA

<213> artificial  
  
<220>  
<223> artificial modified hinge region  
  
<400> 63  
cccaagagct gcgacaagac ccactgcccc ccctgcacct 39  
  
<210> 64  
<211> 36  
<212> DNA  
<213> artificial  
  
<220>  
<223> artificial modified hinge region  
  
<400> 64  
aagtgcgaca agacccacac ctgtcccccc tgccct 36  
  
<210> 65  
<211> 36  
<212> DNA  
<213> artificial  
  
<220>  
<223> artificial modified hinge region  
  
<400> 65  
cccagctgca agacccacac ctgtcccccc tgccct 36  
  
<210> 66  
<211> 36  
<212> DNA  
<213> artificial  
  
<220>  
<223> artificial modified hinge region  
  
<400> 66  
cccaagagct gcgacaccca ctgccccccc tgccct 36  
  
<210> 67  
<211> 36  
<212> DNA  
<213> artificial  
  
<220>  
<223> artificial modified hinge region  
  
<400> 67  
cccaagagct gcacccacac ctgtcccccc tgccct 36  
  
<210> 68  
<211> 36  
<212> DNA  
<213> artificial

<220>  
<223> artificial modified hinge region

<400> 68  
cccaagagct gcgacaagac cacctgtccc tgccat 36

<210> 69  
<211> 36  
<212> DNA  
<213> artificial

<220>  
<223> artificial modified hinge region

<400> 69  
cccaagagct gcgacaagac ccactgcccc ccctgc 36

<210> 70  
<211> 39  
<212> DNA  
<213> artificial

<220>  
<223> artificial modified hinge region

<400> 70  
cccaagagct gcgactgcca cacctgtccc ccctgcct 39

<210> 71  
<211> 39  
<212> DNA  
<213> artificial

<220>  
<223> artificial modified hinge region

<400> 71  
cccaagagct gcgactgcac ccactgcccc ccctgcct 39

<210> 72  
<211> 36  
<212> DNA  
<213> artificial

<220>  
<223> artificial modified hinge region

<400> 72  
ccctgcagct gcaaggcacac ctgtcccccc tgccct 36

<210> 73  
<211> 36  
<212> DNA  
<213> artificial

<220>  
<223> artificial modified hinge region

<400> 73  
cctagctgct gcacccacac ctgtcccccc tgccct 36

<210> 74  
<211> 36  
<212> DNA  
<213> artificial

<220>  
<223> artificial modified hinge region

<400> 74  
cccagctgcg acaaggactg ctgcccccc tgccct 36

<210> 75  
<211> 33  
<212> DNA  
<213> artificial

<220>  
<223> artificial modified hinge region

<400> 75  
cccaagagca cccacacctg tcccccttgt cct 33

<210> 76  
<211> 30  
<212> DNA  
<213> artificial

<220>  
<223> artificial modified hinge region

<400> 76  
cccaagagct gcacctgtcc cccttgtcct 30

<210> 77  
<211> 42  
<212> DNA  
<213> artificial

<220>  
<223> artificial modified hinge region

<400> 77  
cccaagagct gcgataagtgc cgtggagtgc cccccttgtc ct 42

<210> 78  
<211> 445  
<212> PRT  
<213> Artificial

<220>

<223> artificial modified hinge region

<400> 78

Glu Val Gln Leu Gln Gln Ser Gly Pro Glu Leu Val Lys Pro Gly Ala  
1 5 10 15

Ser Val Lys Ile Ser Cys Lys Thr Ser Gly Tyr Ile Phe Thr Ala Tyr  
20 25 30

Thr Met His Trp Val Arg Gln Ser Leu Gly Glu Ser Leu Asp Trp Ile  
35 40 45

Gly Gly Ile Lys Pro Asn Asn Gly Leu Ala Asn Tyr Asn Gln Lys Phe  
50 55 60

Lys Gly Lys Ala Thr Leu Thr Val Asp Lys Ser Ser Ser Thr Ala Tyr  
65 70 75 80

Met Asp Leu Arg Ser Leu Thr Ser Glu Asp Ser Ala Val Tyr Tyr Cys  
85 90 95

Ala Arg Ser Glu Ile Thr Thr Glu Phe Asp Tyr Trp Gly Gln Gly Thr  
100 105 110

Ala Leu Thr Val Ser Ser Ala Ser Thr Lys Gly Pro Ser Val Phe Pro  
115 120 125

Leu Ala Pro Cys Ser Arg Ser Thr Ser Glu Ser Thr Ala Ala Leu Gly  
130 135 140

Cys Leu Val Lys Asp Tyr Phe Pro Glu Pro Val Thr Val Ser Trp Asn  
145 150 155 160

Ser Gly Ala Leu Thr Ser Gly Val His Thr Phe Pro Ala Val Leu Gln  
165 170 175

Ser Ser Gly Leu Tyr Ser Leu Ser Ser Val Val Thr Val Pro Ser Ser  
180 185 190

Asn Phe Gly Thr Gln Thr Tyr Thr Cys Asn Val Asp His Lys Pro Ser  
195 200 205

Asn Thr Lys Val Asp Lys Thr Val Glu Pro Lys Ser Cys Asp Cys His  
210 215 220

Cys Pro Pro Cys Pro Ala Pro Pro Val Ala Gly Pro Ser Val Phe Leu

225                    230                    235                    240

Phe Pro Pro Lys Pro Lys Asp Thr Leu Met Ile Ser Arg Thr Pro Glu  
245                    250                    255

Val Thr Cys Val Val Val Asp Val Ser His Glu Asp Pro Glu Val Gln  
260                    265                    270

Phe Asn Trp Tyr Val Asp Gly Val Glu Val His Asn Ala Lys Thr Lys  
275                    280                    285

Pro Arg Glu Glu Gln Phe Asn Ser Thr Phe Arg Val Val Ser Val Leu  
290                    295                    300

Thr Val Val His Gln Asp Trp Leu Asn Gly Lys Glu Tyr Lys Cys Lys  
305                    310                    315                    320

Val Ser Asn Lys Gly Leu Pro Ala Pro Ile Glu Lys Thr Ile Ser Lys  
325                    330                    335

Thr Lys Gly Gln Pro Arg Glu Pro Gln Val Tyr Thr Leu Pro Pro Ser  
340                    345                    350

Arg Glu Glu Met Thr Lys Asn Gln Val Ser Leu Thr Cys Leu Val Lys  
355                    360                    365

Gly Phe Tyr Pro Ser Asp Ile Ala Val Glu Trp Glu Ser Asn Gly Gln  
370                    375                    380

Pro Glu Asn Asn Tyr Lys Thr Thr Pro Pro Met Leu Asp Ser Asp Gly  
385                    390                    395                    400

Ser Phe Phe Leu Tyr Ser Lys Leu Thr Val Asp Lys Ser Arg Trp Gln  
405                    410                    415

Gln Gly Asn Val Phe Ser Cys Ser Val Met His Glu Ala Leu His Asn  
420                    425                    430

His Tyr Thr Gln Lys Ser Leu Ser Leu Ser Pro Gly Lys  
435                    440                    445

<210> 79  
<211> 446  
<212> PRT  
<213> Artificial

<220>

<223> artificial modified hinge region

<400> 79

Glu Val Gln Leu Gln Gln Ser Gly Pro Glu Leu Val Lys Pro Gly Ala  
1 5 10 15

Ser Val Lys Ile Ser Cys Lys Thr Ser Gly Tyr Ile Phe Thr Ala Tyr  
20 25 30

Thr Met His Trp Val Arg Gln Ser Leu Gly Glu Ser Leu Asp Trp Ile  
35 40 45

Gly Gly Ile Lys Pro Asn Asn Gly Leu Ala Asn Tyr Asn Gln Lys Phe  
50 55 60

Lys Gly Lys Ala Thr Leu Thr Val Asp Lys Ser Ser Ser Thr Ala Tyr  
65 70 75 80

Met Asp Leu Arg Ser Leu Thr Ser Glu Asp Ser Ala Val Tyr Tyr Cys  
85 90 95

Ala Arg Ser Glu Ile Thr Thr Glu Phe Asp Tyr Trp Gly Gln Gly Thr  
100 105 110

Ala Leu Thr Val Ser Ser Ala Ser Thr Lys Gly Pro Ser Val Phe Pro  
115 120 125

Leu Ala Pro Cys Ser Arg Ser Thr Ser Glu Ser Thr Ala Ala Leu Gly  
130 135 140

Cys Leu Val Lys Asp Tyr Phe Pro Glu Pro Val Thr Val Ser Trp Asn  
145 150 155 160

Ser Gly Ala Leu Thr Ser Gly Val His Thr Phe Pro Ala Val Leu Gln  
165 170 175

Ser Ser Gly Leu Tyr Ser Leu Ser Ser Val Val Thr Val Pro Ser Ser  
180 185 190

Ser Leu Gly Thr Lys Thr Tyr Thr Cys Asn Val Asp His Lys Pro Ser  
195 200 205

Asn Thr Lys Val Asp Lys Arg Val Glu Pro Lys Ser Cys Asp Cys His  
210 215 220

Cys Pro Pro Cys Pro Ala Pro Glu Phe Leu Gly Gly Pro Ser Val Phe

225	230	235	240	
Leu Phe Pro Pro Lys Pro Lys Asp Thr Leu Met Ile Ser Arg Thr Pro				
	245	250	255	
Glu Val Thr Cys Val Val Val Asp Val Ser Gln Glu Asp Pro Glu Val				
	260	265	270	
Gln Phe Asn Trp Tyr Val Asp Gly Val Glu Val His Asn Ala Lys Thr				
	275	280	285	
Lys Pro Arg Glu Glu Gln Phe Asn Ser Thr Tyr Arg Val Val Ser Val				
	290	295	300	
Leu Thr Val Leu His Gln Asp Trp Leu Asn Gly Lys Glu Tyr Lys Cys				
	305	310	315	320
Lys Val Ser Asn Lys Gly Leu Pro Ser Ser Ile Glu Lys Thr Ile Ser				
	325	330	335	
Lys Ala Lys Gly Gln Pro Arg Glu Pro Gln Val Tyr Thr Leu Pro Pro				
	340	345	350	
Ser Gln Glu Glu Met Thr Lys Asn Gln Val Ser Leu Thr Cys Leu Val				
	355	360	365	
Lys Gly Phe Tyr Pro Ser Asp Ile Ala Val Glu Trp Glu Ser Asn Gly				
	370	375	380	
Gln Pro Glu Asn Asn Tyr Lys Thr Thr Pro Pro Val Leu Asp Ser Asp				
	385	390	395	400
Gly Ser Phe Phe Leu Tyr Ser Arg Leu Thr Val Asp Lys Ser Arg Trp				
	405	410	415	
Gln Glu Gly Asn Val Phe Ser Cys Ser Val Met His Glu Ala Leu His				
	420	425	430	
Asn His Tyr Thr Gln Lys Ser Leu Ser Leu Ser Leu Gly Lys				
	435	440	445	

<210> 80  
<211> 1338  
<212> DNA  
<213> Artificial  
  
<220>

&lt;223&gt; artificial modified hinge region

<400> 80	
gagggtccagc tgcagcagag cgggccagaa ctggttaaac ctggcgccag cgtgaagatt	60
agctgttaaga ccagcggtt catcttaca gcatatacca tgcactgggt gaggcagagt	120
ctggggaaat ctctggactg gatcgaggt attaagccca acaatggcct ggctaactat	180
aatcaaaaat tcaaggcCAA agccacactg accgtcgata agtcctttc cacagcttac	240
atggatctga gaagcctgac atccgaggac agtgcagtgt actactgcgc ccggcttgag	300
atcactaccg agttcgacta ttggggacag ggcactgcac tgaccgtctc ctccgcccagc	360
accaaggccc caagcgtgtt cccgctagcc ccctgcagca gaagcaccag cgagagcaca	420
gccggccctgg gctgcctggt caaggactac ttccccgagc ccgtgaccgt gtcttggAAC	480
agcggagccc tgaccagcgg cgtgcacacc ttcccgccg tgctgcagAG cagcgccctg	540
tacagcctga gcagcgttgt gacagtgeccc agcagcaact tcggcacccca gacctacacc	600
tgtaacgtgg accacaagec cagcaacacc aagggtggaca agacccgtgga gcccaagagc	660
tgcgattgcc actgecccccc ttgtccctgct cctccctgtgg ccggacccag cgtgttactg	720
ttccccccaa agcccaagga caccctgatg atcagccgga ccccccgaGT gacctgcgtg	780
gtgggtggacg tgtccccacga ggaccccgag gtgcagttca attggtaCGT ggacggcgtg	840
gaggtgcaca acgccaagac caagccccgg gaggaacagt tcaacagcac cttccgggtg	900
gtgtccgtgc tgaccgttgt gcaccaggac tggctgaacg gcaaAGAGTA caagtgcAAG	960
gtctccaaca agggcctgcc tgccccatc gagaaaaACCA tcagcaagac caagggccag	1020
cctcgggagc ctcaggtgta caccctgccc cccagccggg agggAAATGAC caagaaccag	1080
gtgtccctga cctgtcttgtt gaaaggcttc taccccgacg atatcgccgt ggagtggag	1140
agcaacggcc agcccgagaa caactacaag accacccccc ccatgctgga cagcgacggc	1200
agctttttcc tgtactccaa actgaccgtg gataAGAGCC ggtggcagca gggcaacgtg	1260
ttcagctgca gcgtgatgca cgaggccctg cacaaccact acacccagaa gtccctgagc	1320
ctgagccccg gcaaATGA	1338

&lt;210&gt; 81

&lt;211&gt; 1341

&lt;212&gt; DNA

&lt;213&gt; Artificial

&lt;220&gt;

&lt;223&gt; artificial modified hinge region

&lt;400&gt; 81

gagggtccagc tgcagcagag cgggccagaa ctggttaaac ctggcgccag cgtgaagatt 60

agctgttaaga ccagcggtta catcttaca gcatatacca tgcactgggt gaggcagagt	120
ctggggaaat ctctggactg gatcgaggt attaagccca acaatggcct ggctaactat	180
aatcaaaaat tcaagggcaa agccacactg accgtcgata agtcctttc cacagcttac	240
atggatctga gaagcctgac atccgaggac agtgcagtgt actaactgcgc cccgtcttag	300
atcaactacog agttcgacta ttggggacag ggcactgcac tgaccgtctc ctccgcacg	360
accaagggcc caagcgtgtt cccgctagcc ccctgcagca gaagcaccag cgagagcaca	420
gccggccctgg gctgcctggt gaaggactac ttccccgagc ccgtgaccgt gtcttggAAC	480
agcggagccc tgaccagcgg cgtcacacc tttccagccg tgctgcagag cagcggcctg	540
tacagcctga gcagcgtgtt gacagtgcct agcagcagcc tggcaccaa gacctacacc	600
tgtaacgtgg accacaagcc cagcaacacc aaggtggaca agcgggtggA gccaagagc	660
tgcgattgcc actgcCCCCC ttgcctgCC cctgagttcc tggggggacc cagcgtgttc	720
ctgtttcccc caaagcccaa ggacaccctg atgatcagcc ggacCCCCGA agtgcacctgc	780
gtgggtgggg acgtgtccca ggaagatccc gaggtgcagt tcaactggta cgtggacggc	840
gtggaggtgc acaacgccaa gaccaagccc cgggaggaac agttcaacag cacctaccgg	900
gtgggtgtccg tgctgaccgt gctgcaccag gactggctga acggcaaaga gtacaagtgc	960
aaggtgtcca acaaggccc gcccagcagc atcgagaaaa ccatcagcaa gccaaggGC	1020
cagcctagag aaccccaggt gtacaccctg CCCCCAGGC aggaagagat gaccaagaAC	1080
caggtgtccc tgacctgtct ggtgaaaggc ttctacccca gcgatatcgc cgtggagtgg	1140
gagagcaacg gccagccoga gaacaactac aagaccaccc cccctgtgt ggacagcgc	1200
ggcagcttct tcctgtactc ccggctgacc gtggacaaga gccgggtggca ggaaggcaAC	1260
gtgttcagct gcagcgtgtat gcacgaggcc ctgcacaacc actacacccca gaagtccctg	1320
agcctgagcc tgggcaaaatg a	1341